

# Erneuerung Waldenburgerbahn Los 6.1: Haltestelle Hirschlang (exkl.) bis Haltestelle Winkelweg (inkl.)

S1

Auflageprojekt

# **Statische Berechnung**

Steg Veloroute ca. bei km 10.340 Wanderweg über die Vordere Frenke

Version 2.0 I 12. April 2019

Projektverfasser IG Lampenstein

Bauherrschaft BLT Baselland Transport AG

M. f. Per .

opa. Lilli

DRL

Phanum

Lucas Rentsch

Thomas Müller Reto Rotzler

Peter Baumann

### **Impressum**

Auftragsnummer 9670

Auftraggeber BLT Baselland Transport AG

Datum 12. April 2019

Version 2.0

Autor(en) Ari Said

Freigabe Lucas Rentsch / David Häner

Verteiler

Datei K:\9000\9670\_MTh\_BLT\_WBZU\_Los6\P500\_Projektierung\P540\_Bau\_und

 $Auflage projekt \ Statik \ Steg\_Hirschlang \ Interne\ Berichte \ SB\_Steg\_Hirschlang\_20190412.mU. docx$ 

Seitenanzahl 97

Copyright

# Inhalt

An	derun	gsverzeichnis	V
1	Allge	mein	1
	1.1	Einleitung	1
	1.2	Objektbeschreibung	1
	1.3	Bestand der vorliegenden statischen Berechnung	1
	1.4	Objektskizzen, Übersichtsplan	2
2	Baug	rund- und Tragwerksmodell	4
	2.1	Baugrundmodell	4
	2.2	Grundwasser	4
	2.3	Hinterfüllung	4
3	Baus	toffe	5
4	Einw	irkungen	5
	4.1	Ständige Einwirkungen	5
	4.1.1	Eigenlast	5
	4.1.2	Auflast	5
	4.1.3	Erddruck infolge Bodeneigenlast	5
	4.2	Veränderliche Einwirkungen	9
	4.2.1	Nicht motorisierter Verkehr	9
	4.2.2	Erddruck infolge der veränderlichen Lasten	9
	4.2.3	Temperatur	12
		Wind	14
	4.2.5	Abschrankungen	16
	4.3	Aussergewöhnliche Einwirkungen	17
	4.3.1	Erdbeben	17
	4.3.2	Verkehrslast	18
5	Vorb	emerkungen zur statischen Berechnung	19
	5.1	Allgemein, statisches System	19
	5.2	Lastkombinationen	20
	5.3	Ablesung der Schnittkräfte und Lastkombinationen	23
	5.3.1	Nachweis Gebrauchstauglichkeit	25
	5.3.2	Schwingungen	25
6	Trags	sicherheits- und Gebrauchstauglichkeitsnachweis	26
	6.1	Tragsicherheitsnachweis Brückenplatte	26

	6.1.1	Massgebende Schnittkräfte Brückenplatte	26
	6.1.2	Erforderliche Bewehrung aus dem AxisVM	28
	6.1.3	Bemessung Biegung und Querkraft	34
	6.2	Gebrauchstauglichkeitsnachweis Brückenplatte	36
	6.2.1	Begrenzung der Rissbreiten	36
	6.2.2	Rissbreiten Quasi-ständige Lastfälle	38
	6.2.3	Rissbreiten Häufiger Lastfall	43
	6.2.4	Begrenzung der Durchbiegung	48
	6.2.5	Gewählte Bewehrung für die Brückenplatte	57
	6.3	Tragsicherheitsnachweis Widerlagerwände	58
	6.3.1	Massgebende Schnittkräfte Widerlagerwände	58
	6.3.2	Erforderliche Bewehrung aus dem AxisVM	61
	6.3.3	Bemessung Biegung	63
	6.3.4	Querkraftnachweis	67
	6.3.5	Gewählte Bewehrung für die Widerlagerwände	70
	6.4	Tragsicherheitsnachweis Fundament	71
	6.4.1	Massgebende Schnittkräfte Fundament	71
	6.4.2	Bemessung Biegung	73
	6.4.3	Querkraftnachweis	74
	6.4.4	Gewählte Bewehrung für die Fundamente	76
	6.4.5	Schwingungen	76
	6.5	Bewehrungsskizzen	77
7	Geote	echnische Nachweise	80
	7.1	Aufschwimmen	80
	7.2	Grundbruch	80
	7.2.1	Nachweis im Programm DC Fundament	81
8	Anha	ng	89
	8.1	Anhang A – Ergänzung statische Berechnung – zusätzliche Auflast	89

Abbildung 1 Situation Velo- und Fussgängerweg Hirschlang bei ca. km 10.340	2
Abbildung 2 Skizze Schnitt 1-1 durch die Brückenachse. Siehe Abbildung 1	
Abbildung 3 Skizze Schnitt 2-2 senkrecht zur Brückenachse. Siehe Abbildung 1	
Abbildung 4 Ausschnitt aus Axis Modell	
Abbildung 5 Erddruck infolge Bodeneigenlast	
Abbildung 6 Lastfall Hochwasser bis UK Brückenplatte	
Abbildung 7 Vergleich Lastfall Hochwasser Lastfall GWS unter UK Bodenplatte	
Abbildung 8 Lastfall Hochwasser bis UK Brückenplatte mit Anteil Verdichtungsdruck	
Abbildung 9 Lastmodelle 1	
Abbildung 10 Einwirkung Normalspurbahnverkehr	
Abbildung 11 Bahnverkehrslasten und Schlingerkraft	
Abbildung 12 Temperaturänderung über den Querschnitt	
Abbildung 13 Lastfall "oben kalt" ist für die Bemessung der Brückenplatte massgebend	
Abbildung 14 Lastfall "oben kalt" ist für die Bemessung der Brückenplatte massgebend	
Abbildung 15 Ersatzkräfte Erdbeben	
Abbildung 16 Lastverteilung der Verkehrslast in der Platte (Plattenquerschnitt)	
Abbildung 17 Massgebende Laststellungen des Fahrzeuges von 75 kN (Achslast 37.5 kN)	
Abbildung 18 Statisches System Fussgängerbrücke	
, , ,	
Abbildung 19 Lastgruppen der Einwirkungen, Ausschnitt aus Axis	
Abbildung 20 Darstellung der Gesamteinwirkung	
Abbildung 21 Abmessungen des Bauwerkes aus Axis Modell	
Abbildung 22 Schnittkräfte, massgebend max. mxBw	
Abbildung 23 Schnittkräfte, massgebend min. mxBw	
Abbildung 24 Nachweisschnitte für die Biegung und Querkraft.	
Abbildung 25 Schnittkräfte LK1 der Brückenplatte aus Diagramm-Axis Modell	
Abbildung 26 Schnittkräfte LK2 der Brückenplatte aus Diagramm-Axis Modell	
Abbildung 27 Erf.axo-Brückenplatte aus Axis	
Abbildung 28 Erf. axu-Brückenplatte aus Axis	
Abbildung 29 Erf. ayo-Brückenplatte aus Axis	
Abbildung 30 Erf. ayu-Brückenplatte aus Axis	
Abbildung 31 Massgebende Schnittkräfte mxBw und nxBw infolge quasi-ständiger Lastfall	
Abbildung 32 mxBw und nxBw –max quasi-ständiger Lastfall	
Abbildung 33 mxBw und nxBw -max Häufiger Lastfall	
Abbildung 34 mxBw und nxBw –min Häufiger Lastfall	
Abbildung 35 Durchbiegung im ungerissenen Zustand infolge quasi-ständiger Lastfälle	
Abbildung 36 Durchbiegung im ungerissenen Zustand infolge Häufige Lastfälle	. 52
Abbildung 37 Durchbiegung im ungerissenen Zustand infolge des ständigen Anteils der	
Häufigen Lastfälle	. 53
Abbildung 38 Durchbiegung im ungerissenen Zustand infolge des veränderlichen Anteils der	
Häufigen Lastfälle	. 53
Abbildung 39 Massgebende max, mxBw+ und min, mxBw Wandwiderlager	. 58
Abbildung 40 Massgebende min,vxz und max, vxz Wandwiderlager	
Abbildung 41 Massgebende min, nxBw Wandwiderlager	. 60
Abbildung 42 Erf. axo Wandwiderlager aus Axis	
Abbildung 43 Erf. axu Wandwiderlager aus Axis	. 61
Abbildung 44 Erf. ayo, Wandwiderlager aus Axis	. 62
Abbildung 45 Erf. ayu, Wandwiderlager aus Axis	. 62
Abbildung 46 Massgebende Min, mxBw, Fundament	. 7′
Abbildung 47 Massgebende Max, mxBw, Fundament	
Abbildung 48 Massgebende Max, vxz, Fundament	
Abbildung 49 Massgebende Min, vxz, Fundament	
Abbildung 50 Massgebende Min, nxBw, Fundament	
Abbildung 51 Massgebende Max, nxBw, Fundament	
Abbildung 52 Grundriss Brückenplatte Längs- und Querbewehrung	
Abbildung 53 Ansicht Wandwiderlager, Längs- und Querbewehrung in den Widerlagerwänder	

12. April 2019 Seite iii

Abbildung 54 Anschlusseisen, Längs- und Querbewehrung in den Fundamenten Abbildung 55 Berücksichtigte Schnittkräfte im Programm DC	
Tabelle 1 Massgebende Schnittkräfte	24
Tabelle 2 Lastkombinationen der massgebenden Schnittkräfte	
Tabelle 3 Massgebende Schnittkräfte der Brückenplatte	
Tabelle 4 Lastkombinationen der massgebenden Schnittkräfte	
Tabelle 5 Erf. Bewehrung Brückenplatte aus Axis	
Tabelle 6 Massgebende Schnittkräfte mxBw und nxBw- infolge quasi-ständiger Lastfall	
Tabelle 7 Lastkombination der massgebende Schnittkräfte infolge quasi-ständiger Lastfall	
Tabelle 8 Massgebende Schnittkräfte mxBw und nxBw+ infolge quasi-ständiger Lastfall	39
Tabelle 9 Lastkombination der massgebende Schnittkräfte mxBw und nxBw+ infolge quasi-	
ständiger Lastfall	39
Tabelle 10 Massgebende Schnittkräfte Wandwiderlager	60
Tabelle 11 Lastkombination der massgebenden Schnitte	
Tabelle 12 Massgebende Schnittkräfte des Fundamentes	
Tabelle 13 Lastkombination der massgebenden Schnittkräfte des Fundamentes	
Tabelle 14 Ausschnitt aus der SIA 260-Tabelle 10	
1 abolio 17 / abootiliitt aab abi Ol/ ( 200 Tabolio Tulliiniiniiniiniiniiniiniiniiniiniiniinii	

# Änderungsverzeichnis

REV.	ÄNDERUNG	URHEBER	DATUM	BEMERKUNG
1.0	Erstellung NV Stufe Bau- und Auflageprojekt	IGLS	26.10.2018	
	Bereinigung nach Prüfung Pl	IGLS	27.02.2019	Ergänzung GA
2.0	Bereinigung nach Vernehmlas- sung BLT	IGLS	12.04.219	

Fassung: 12. April 2019 Seite v von 97

# 1 Allgemein

# 1.1 Einleitung

Im Rahmen des Erneuerungsprojektes der BLT-Linie 19 "Waldenburgerbahn" (WB) wird die Bahnstrecke von 750 mm Spurweite auf 1000 mm Spurweite ausgebaut und die Trassierung angepasst. Zwischen km 10.345 und km 11.580 verläuft das angepasste Bahntrassee entlang der Vorderen Frenke. Im Zuge der Erneuerung der WB wird die Vordere Frenke auf einen Hochwasserschutz (HWS) HQ100 ausgebaut.

Diese Massnahme sieht die Sicherung der Uferböschungen mit den neuen Stützmauern vor. Ausserdem wird die Vordere Frenke mit 4 neuen Velo- und Fussgängerstegen und einer Strassenbrücke überspannt.

Das vorliegende Dokument befasst sich mit der Bemessung des Velo- und Fussgängersteges Hirschlang ca. bei km 10.340 für die Stufe Auflage- und Bauprojekt.

## 1.2 Objektbeschreibung

Das geplante Bauwerk Rahmenkonstruktion wird ausgebildet wie in der Abbildung 1, Abbildung 2 und Abbildung 3 dargestellt. Diese Rahmenkonstruktion wird mittels Streifenfundamenten flachfundiert.

Die Unterkante der Fundation liegt ca. bei 458.14 m ü. M. und die Unterkante der Brückenplatte wurde im Projekt mit 463.00 m ü. M. festgelegt. Der Achsabstand zwischen den Stützmauern resp. Widerlagerwänden beträgt ca. 14.8 m.

Es ist eine setzungsfreie Hinterfüllung zur Verhinderung der Setzungen im Bereich der Rahmen vorgesehen.

## 1.3 Bestand der vorliegenden statischen Berechnung

Die vorliegende statische Berechnung gilt ausschliesslich für die Bemessung des Velound Fussgängersteges Hirschlang ca. bei km 10.340 im Endzustand.

Die statisch relevanten Bauzustände werden in der Ausführungsphase überprüft.

# 1.4 Objektskizzen, Übersichtsplan

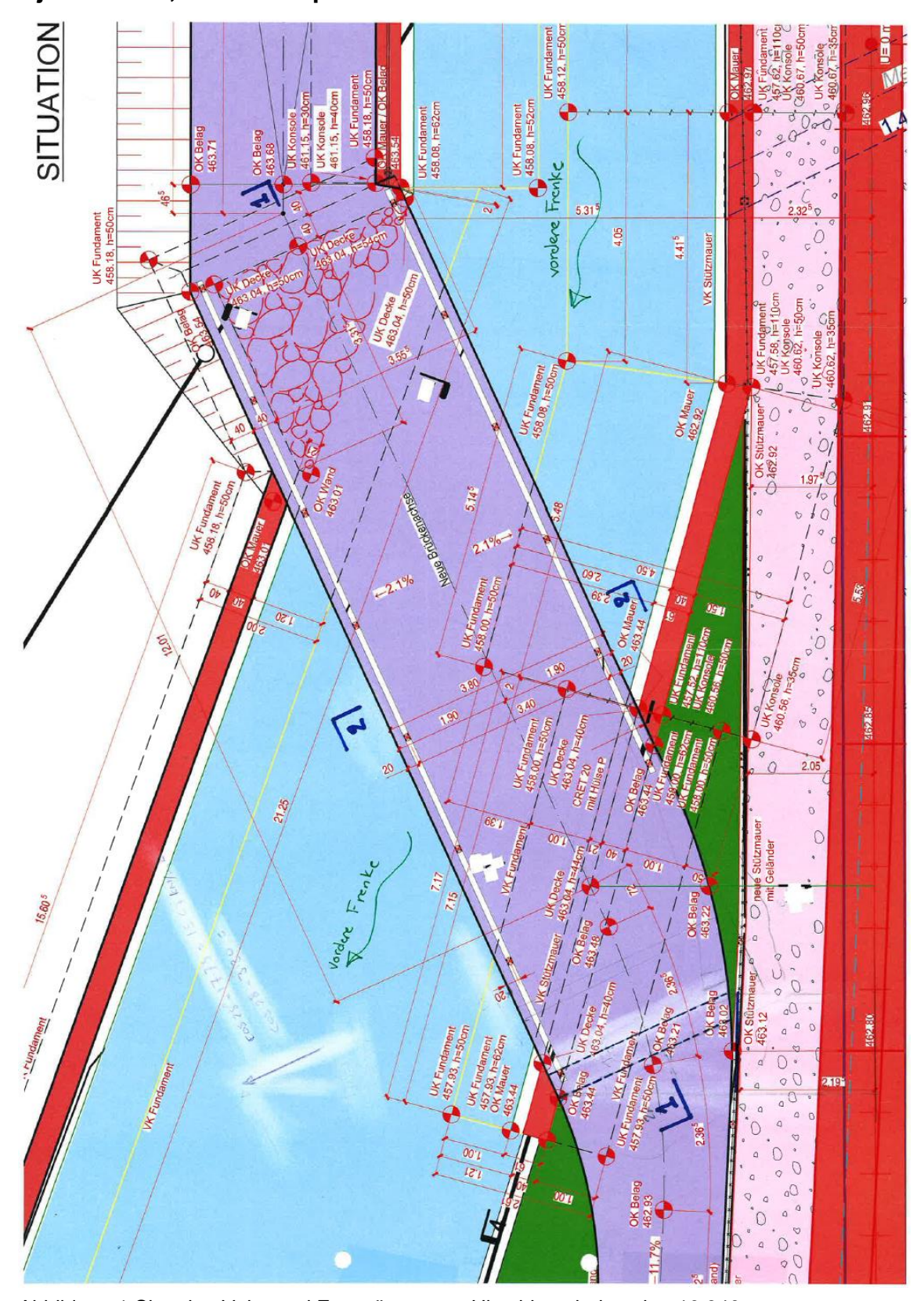


Abbildung 1 Situation Velo- und Fussgängerweg Hirschlang bei ca. km 10.340

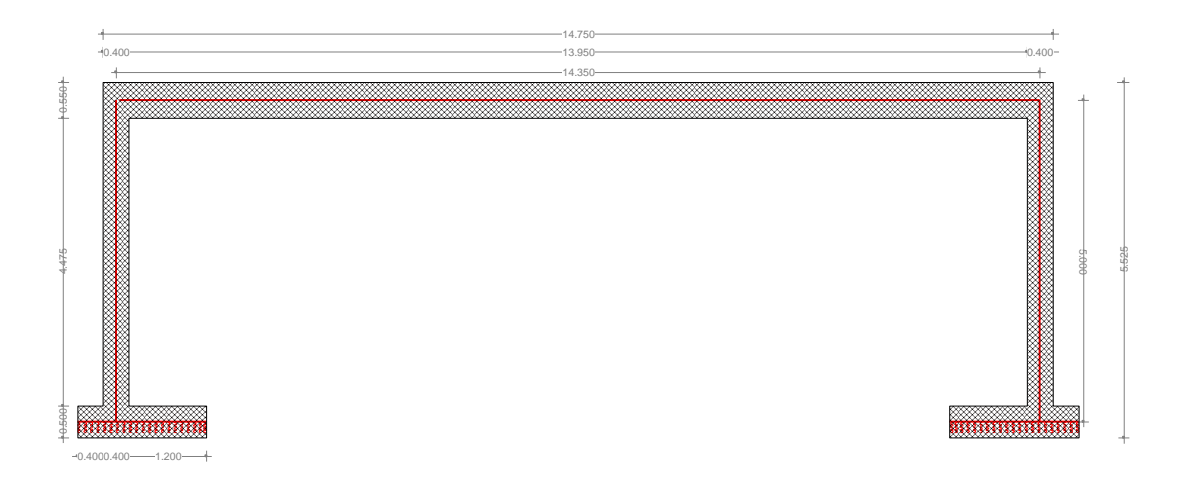


Abbildung 2 Skizze Schnitt 1-1 durch die Brückenachse. Siehe Abbildung 1

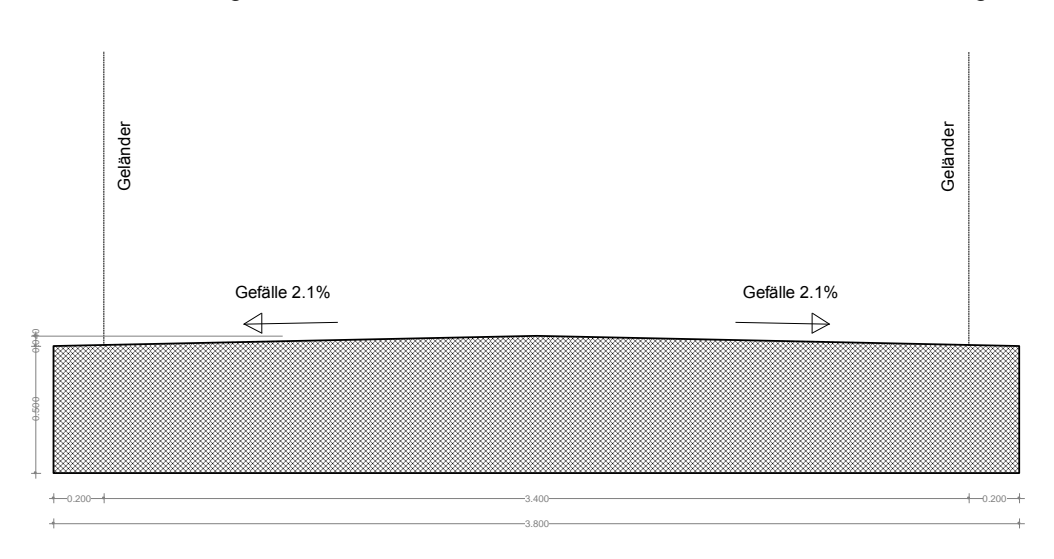


Abbildung 3 Skizze Schnitt 2-2 senkrecht zur Brückenachse. Siehe Abbildung 1

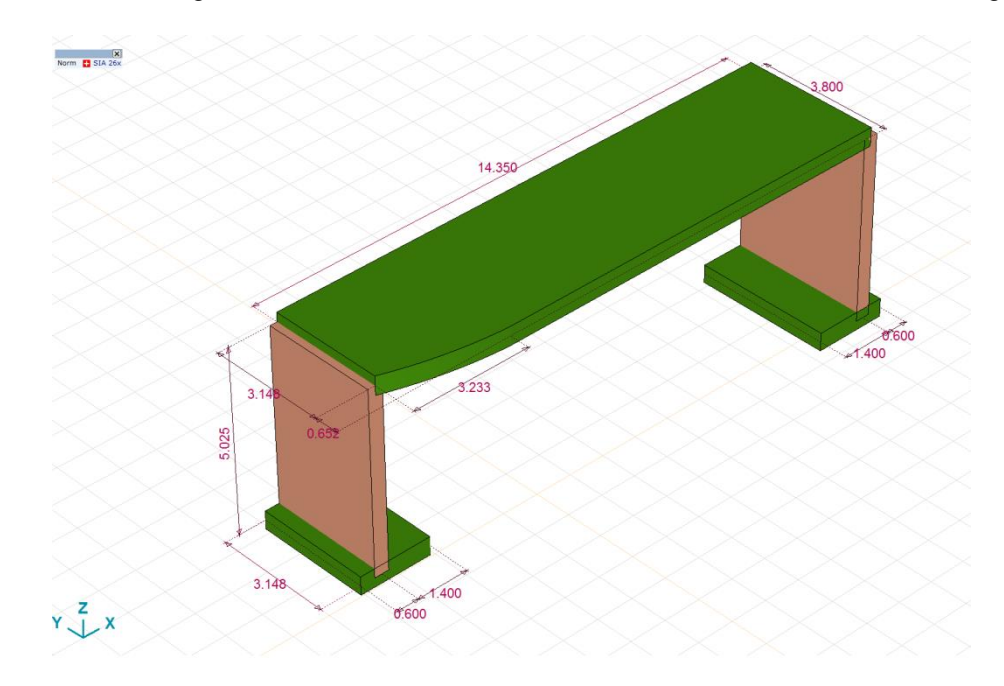


Abbildung 4 Ausschnitt aus Axis Modell

#### 2 **Baugrund- und Tragwerksmodell**

#### Baugrundmodell 2.1

Mischschotter (mitteldicht):

Kohäsion  $c_k' = 0 \frac{kN}{m^2}$ Reibungswinkel  $\varphi_k' = 34^\circ$ 

Raumgewicht  $\gamma'_k = 21 \frac{kN}{m^3}$ 

Zusammendruckmodul  $M_{Ek} = 40 \frac{MN}{m^2}$ 

Mischschotter (dicht):

Kohäsion  $c_k'=2\frac{kN}{m^2}$ Reibungswinkel  $\varphi_k'=36^\circ$ 

Raumgewicht  $\gamma'_k = 21.5 \frac{kN}{m^3}$ 

Zusammendruckmodul  $M_{Ek} = 75 \frac{MN}{m^2}$ 

Obere Süsswassermolasse:

Kohäsion  $c_k' = 35 \frac{kN}{m^2}$ Reibungswinkel  $\varphi_k' = 26^\circ$ 

Raumgewicht  $\gamma'_k = 22 \frac{kN}{m^3}$ 

Zusammendruckmodul  $M_{Ek} = 150 \frac{MN}{m^2}$ 

Mantelreibung  $\tau_m = 212 \frac{kN}{m^2}$ 

Spitzenwiderstand  $\sigma_{\rm S}=3.875\frac{MN}{m^2}$ 

#### 2.2 Grundwasser

 $w_k = 10 \frac{kN}{m^2}$ Wasserdruck:

Gemäss dem geologischen Bericht liegt der Grundwasserspiegel im Normalfall deutlich tiefer als die neue Bachsohle. Es ist davon auszugehen, dass der Grundwasserspiegel bis ca. 463 m ü. M. (HW<sub>100</sub>) ansteigt. Aus diesem Grund werden in der statischen Berechnung die zwei massgebenden Grundwasserstände betrachtet:

- GWS liegt tiefer als UK Fundament
- GWS liegt ca. bei 463 m ü. M. (bei UK Brückenplatte)

#### Hinterfüllung 2.3

Angenommene Kennwerte für Hinterfüllung

Kohäsion $c_k'=0\frac{kN}{m^2}$ Reibungswinkel $\varphi_k'=33^\circ$ 

#### 3 Baustoffe

Brückenplatte, Widerlagerwände, Fundation:

Beton C30/37 NPK F, c<sub>nom</sub>=55 mm Bewehrung B500B

# 4 Einwirkungen

## 4.1 Ständige Einwirkungen

# 4.1.1 Eigenlast

Die Eigenlast der Konstruktion wird im Berechnungsprogramm automatisch ermittelt.

Raumlast Stahlbeton  $\gamma_k=25 \text{ kN/m}^3$ 

#### 4.1.2 Auflast

Geländer (Annahme) g<sub>k</sub>=1.6 kN/m

### 4.1.3 Erddruck infolge Bodeneigenlast

Erddruckansatz Tragsicherheit, Gebrauchstauglichkeit: Erdruhedruck. In den folgenden Lastfällen werden massgebende Einwirkungs-Erddrücke infolge Bodeneigenlasten ermittelt.

Lastfall GWS tiefer als UK Fundament:

• Verdichtungserddruck beträgt  $e_{0\mathrm{k-verdichtung}} = 25 \frac{kN}{m^2}$  wird

Erdruhedruck

 $\begin{array}{lll} \text{Tiefe unter GOK} & e_{0\mathrm{k}} = K_0 \cdot \gamma_{Boden} \cdot \Delta z \\ \text{Z0} = 0.000 \text{ m} & e_{0\mathrm{k}} = 0 \frac{kN}{m^2} \\ \text{Z1} = 0.275 \text{ m} & e_{0\mathrm{k}} = 0.455 \cdot 21 \frac{kN}{m^3} \cdot 0.275 \, m = 2.62 \frac{kN}{m^2} \\ \text{Z2} = 2.670 \text{ m} & e_{0\mathrm{k}} = 0.455 \cdot 21 \frac{kN}{m^3} \cdot 2.670 \, m = 25.52 \frac{kN}{m^2} \\ \text{Z3} = 5.025 \text{ m} & e_{0\mathrm{k}} = 0.455 \cdot 21 \frac{kN}{m^3} \cdot 5.025 \, m = 48.00 \frac{kN}{m^2} \end{array}$ 

Erdauflast auf dem Fundament

Aussen  $G_{\rm Ek} = 21 \frac{\rm kN}{m^3} \cdot 5.05 m = 106.05 \frac{kN}{m^2}$  Innen  $G_{\rm Ek} = 21 \frac{\rm kN}{m^3} \cdot 1.02 m = 21.42 \frac{kN}{m^2}$ 

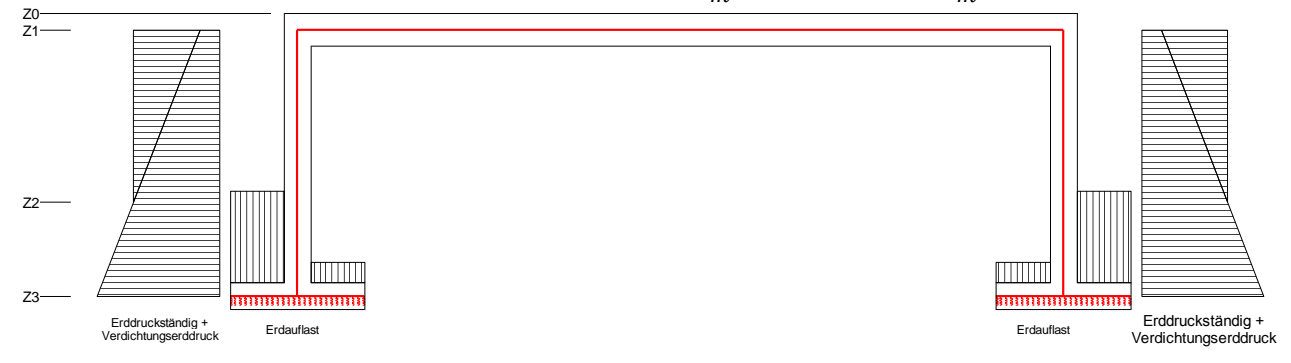


Abbildung 5 Erddruck infolge Bodeneigenlast

- Lastfall Hochwasser bis UK Brückenplatte (ca. bei 463.00 m ü. M.)
   Hochwasser im Bach nimmt schneller ab als ausserhalb des Bachbetts, daher wurde nur der massgebende Lastfall Wasserdruck aussen berücksichtigt.
  - Erdruhedruck

$$e_{0\mathbf{k}} = K_0 \cdot \gamma'_{Boden} \cdot \Delta z$$
  
 $e_{0\mathbf{k}} = \gamma_W \cdot \Delta z$ 

$$Z1 = 0.000 \text{ m} \qquad e_{0k} = 0 \frac{kN}{m^2}$$
 
$$Z1 = 0.275 \text{ m} \qquad e_{0k} = (0.455 * 11 \frac{kN}{m^3} \cdot 0.275 m) + (10 \frac{kN}{m^3} \cdot 0.275 m) = 4.12 \frac{kN}{m^2}$$
 
$$Z2 = 1.670 \text{ m} \qquad e_{0k} = (0.455 * 11 \frac{kN}{m^3} \cdot 1.670 m) + (10 \frac{kN}{m^3} \cdot 1.670 m) = 25.00 \frac{kN}{m^2}$$
 
$$Z3 = 5.025 \text{ m} \qquad e_{0k} = (0.455 * 11 \frac{kN}{m^3} \cdot 5.025 m) + (10 \frac{kN}{m^3} \cdot 5.025 m) = 75.40 \frac{kN}{m^2}$$

Erdauflast auf dem Fundament

Aussen 
$$G_{\rm Ek} = 21 {{\rm kN} \over {m^3}} \cdot 5.05 m = 106.05 {{kN} \over {m^2}}$$
  
Innen  $G_{\rm Ek} = 21 {{\rm kN} \over {m^3}} \cdot 1.02 m = 21.42 {{kN} \over {m^2}}$ 

Wasserauflast auf dem Fundament

$$G_{\rm Ek} = 10 \frac{kN}{m^3} \cdot 5.05 m = 50.5 \frac{kN}{m^2}$$

Auftriebskraft

Auftriebskraft wird für den Lastfall HWS liegt ca. bei UK Brückenplatte überprüft

$$w_k = 10 \frac{kN}{m^3} \cdot 5.55m = 55.50 \frac{kN}{m^2}$$



Abbildung 6 Lastfall Hochwasser bis UK Brückenplatte

 Lastfall Hochwasser bis UK Brückenplatte (ca. bei 463.00 m ü. M.) mit Anteil Verdichtungsdruck

Annahmen Erdruhedruck und Wasserdruck:

Im Lastfall Hochwasser ist ersichtlich, dass der effektive Erddruck und Wasserdruck ab Z2 grösser als 25 kN/m2 sind, daher wird aus den zwei Lastfällen (Lastfall Hochwasser und Lastfall GWS unter Unterkante Bodenplatte) ein massgebender Lastfall erzeugt. Dieser Lastfall ist Hochwasser mit Verdichtungserddruck ergänzt. Verdichtungserddruck ersetzt den Erddruck und Wasserdruck bis Z2, ab Z2 wirkt der effektive Erddruck und Wasserdruck, die beiden Einwirkungen ab Z2 sind grösser als 25 kN/m2. In der Abbildung 7 ist die grafische Darstellung des massgebenden Lastfalls ersichtlich. Für die weitere Berechnung wird der Lastfall Hochwasser mit Verdichtungsdruck berücksichtigt.

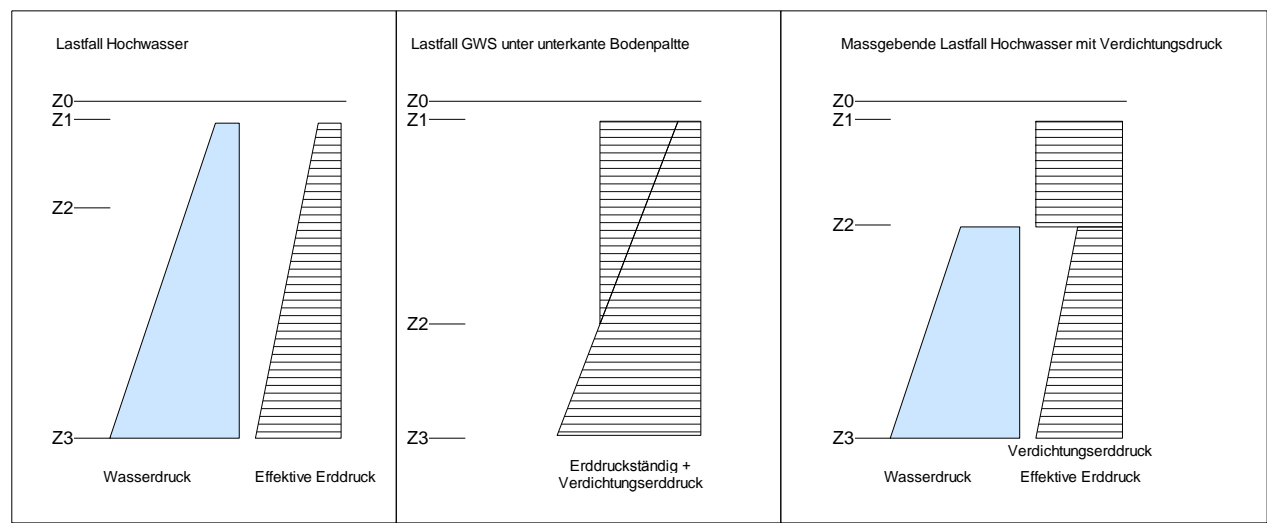


Abbildung 7 Vergleich Lastfall Hochwasser Lastfall GWS unter UK Bodenplatte

Für die weitere Berechnung wird Lastfall Hochwasser mit Verdichtungsdruck berücksichtigt

Wasserdruck, Erdruhedruck und ein Anteil von Verdichtungsdruck

$$e_{0\mathbf{k}} = K_0 \cdot \gamma'_{Boden} \cdot \Delta z$$
  
 $e_{0\mathbf{k}} = \gamma_W \cdot \Delta z$ 

$$\begin{split} & Z0 = 0.000 \text{ m} \qquad e_{0\text{k}} = 0 \frac{kN}{m^2} \\ & Z1 = 0.275 \text{ m} \qquad e_{0\text{k}} = 25.00 \frac{kN}{m^2} = 25.00 \frac{kN}{m^2} \\ & Z2 = 1.670 \text{ m} \qquad e_{0\text{k}} = \left(0.455 \cdot 11 \frac{kN}{m^3} \cdot 1.67 \, m\right) + \left(10 \frac{kN}{m^3} \cdot 1.67 \, m\right) = 25.00 \frac{kN}{m^2} \\ & Z3 = 5.025 \text{m} \qquad e_{0\text{k}} = \left(0.455 \cdot 11 \frac{kN}{m^3} \cdot 5.025 \, m\right) + \left(10 \frac{kN}{m^3} \cdot 5.025 \, m\right) = 75.40 \frac{kN}{m^2} \end{split}$$

Erdauflast auf dem Fundament

Aussen 
$$G_{\rm Ek} = 21 {{\rm kN} \over m^3} \cdot 5.05 m = 106.05 {{\rm kN} \over m^2}$$
  
Innen  $G_{\rm Ek} = 21 {{\rm kN} \over m^3} \cdot 1.02 m = 21.42 {{\rm kN} \over m^2}$ 

Wasserauflast auf dem Fundament

$$G_{\rm Ek} = 10 \frac{kN}{m^3} \cdot 5.05 m = 50.5 \frac{kN}{m^2}$$

#### Auftriebskraft

Auftriebskraft wird für den Lastfall HWS liegt ca. bei UK Brückenplatte überprüft  $w_k=10\frac{kN}{m^3}\cdot 5.55m=55.50\frac{kN}{m^2}$ 

$$w_k = 10 \frac{kN}{m^3} \cdot 5.55m = 55.50 \frac{kN}{m^2}$$



Abbildung 8 Lastfall Hochwasser bis UK Brückenplatte mit Anteil Verdichtungsdruck

## 4.2 Veränderliche Einwirkungen

#### 4.2.1 Nicht motorisierter Verkehr

Lastmodell 1

• Vertikale Einwirkung  $q_{Ek} = 4.0 \frac{kN}{m^2}$  SIA 261.9.2.6

• Horizontale Einwirkung  $q_{Ek\ hor}=10\%\cdot 4.0\frac{kN}{m^2}=0.40\frac{kN}{m^2}$  SIA 261.9.2.6

Lastmodell  $2^1$   $Q_{Ek} = 10.0 \, kN$ 

$$q_{Ek} = \frac{10.0kN}{0.60m \cdot 0.60m} = 27.80 \frac{kN}{m^2}$$
 Nicht massgebend

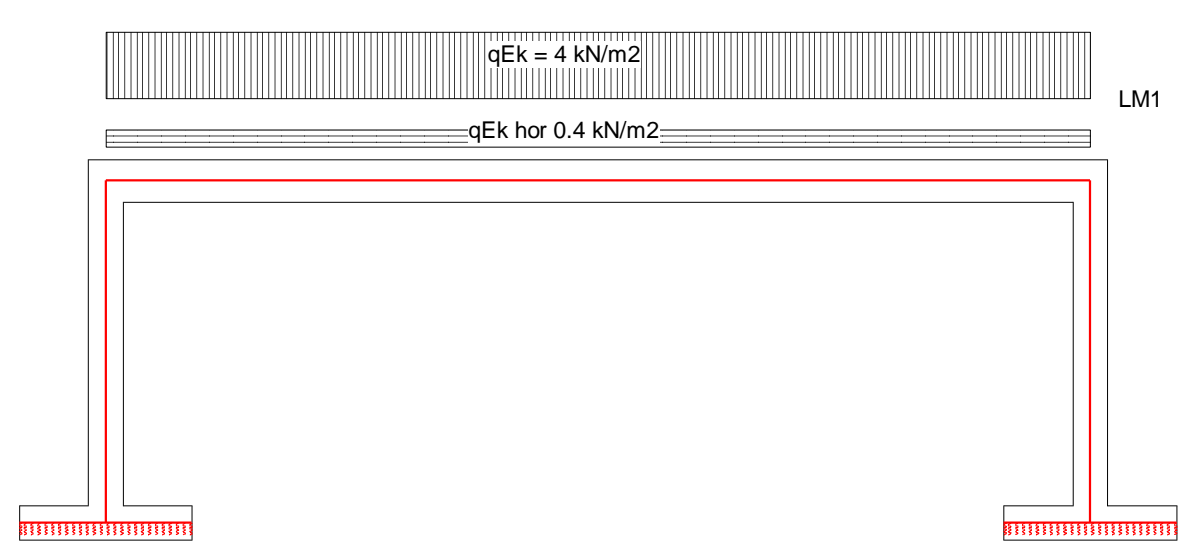


Abbildung 9 Lastmodelle 1

#### 4.2.2 Erddruck infolge der veränderlichen Lasten

Die Einwirkungen aus dem Baugrund infolge Normalspurbahnverkehr (Bahnverkehrslasten und Schlingerkraft) sind grafisch in der Abbildung 10 und Abbildung 11 dargestellt

Normalspurbahnverkehrslast<sup>2</sup>

 $Q_{Ek} = 250 \ kN$  SIA 261 Ziff.11.2.14 a = 1.6m SIA 261 Ziff.11.2.1  $\alpha = 1.33$ 

 $\emptyset = 1.0$ 

b = 3m

 $qk = \frac{Q_{Ek}}{a*b} * \emptyset * \alpha = \frac{250kN}{1.6m*3m} * 1 * 1.33 = 69.2 kN/m2$ 

Ka = 0.44

<sup>&</sup>lt;sup>1</sup> Es wurde mit 27.80kN/m2 überprüft. Es ist nicht massgebend gegenüber LM1, demzufolge wird in der statischen Berechnung nicht berücksichtigt.

<sup>&</sup>lt;sup>2</sup> Auf der sicheren Seite liegend wurde in der Statik der Normalspurbahnverkehr berücksichtigt anstelle des Schmalspurbahnverkehrs.

$$eaph = qk * ka = 69.2 \ kN/m2 * 0.44 = 30.50 \ kN/m2$$

$$Eaph = b * eaph = 3 * 30.50kN/m2 = 91.35kN/m$$

$$ha = \tan \theta * 3.95 - 2 * \tan \varphi - 0.55m = 5.15m$$

$$e'aph = \frac{Eaph}{ha} = \frac{91.35kN/m}{5.15} = 17.75kN/m2$$

# Schlingerkraft

$$Qsk = 100kN$$

SIA 261. Zif. 11.2.3.2

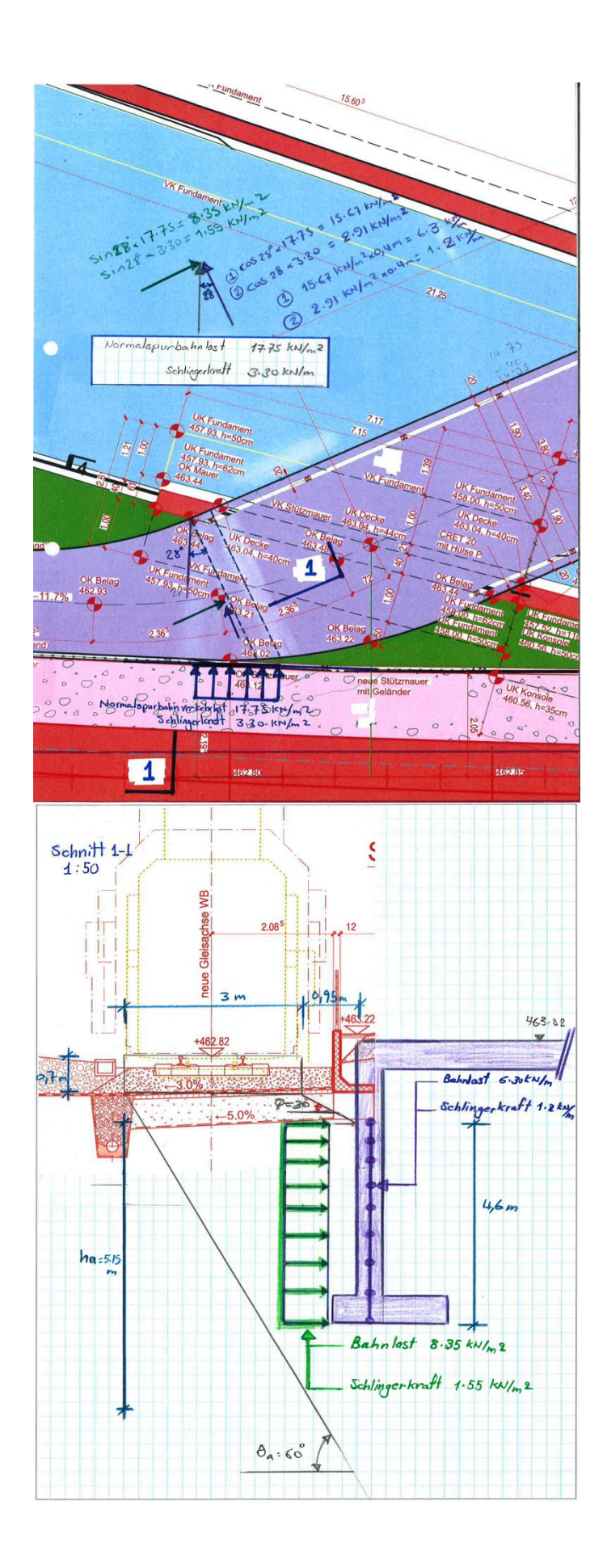
$$a = 0.95m$$

$$qsk = \frac{Qsk}{2*a+4m} = \frac{100kN}{2*0.95+4m} = 17.0 \ kN/m$$

$$q'sk = \frac{qsk}{ha} = \frac{17.0 \, kN}{5.15 \text{m}} = 3.30 \, kN/m2$$



Abbildung 10 Einwirkung Normalspurbahnverkehr



 $\Delta T_{unten} = -20 c^{\circ}$ 

Abbildung 11 Bahnverkehrslasten und Schlingerkraft

### 4.2.3 Temperatur

Die Temperatureinwirkungen wurden gemäss SIA 261 Kapitel 7 und PB wie folgt berücksichtigt:

Brückenplatte

– Gleichmässige Temperaturänderungen Spannbeton: SIA 261 Fig. 7  $\Delta T_{1k}$ =  $\pm 20$ °C

Linearer Anteil der Temperaturänderung (h≤1.0 m): SIA 261 Tab. 7 oben warm  $\Delta T_{2k}$ = +12°C  $\Delta T_{2k} = -4^{\circ}C$ oben kalt  $T_1 = 10$ Obern warm  $\Delta T_{2K}$  = +12 c°  $\Delta T_{\text{oben}}$  = +32 c°  $\Delta T_{1K}$  = +20 c°  $h_c$  $\Delta T_{unten} = +20 c^{\circ}$  $\Delta T_{1K}$  = -20 c°  $\Delta T_{\text{oben}}$  = -24 c° Obern kalt  $\Delta T_{2K} = -4 c^{\circ}$  $h_c$ 

Abbildung 12 Temperaturänderung über den Querschnitt

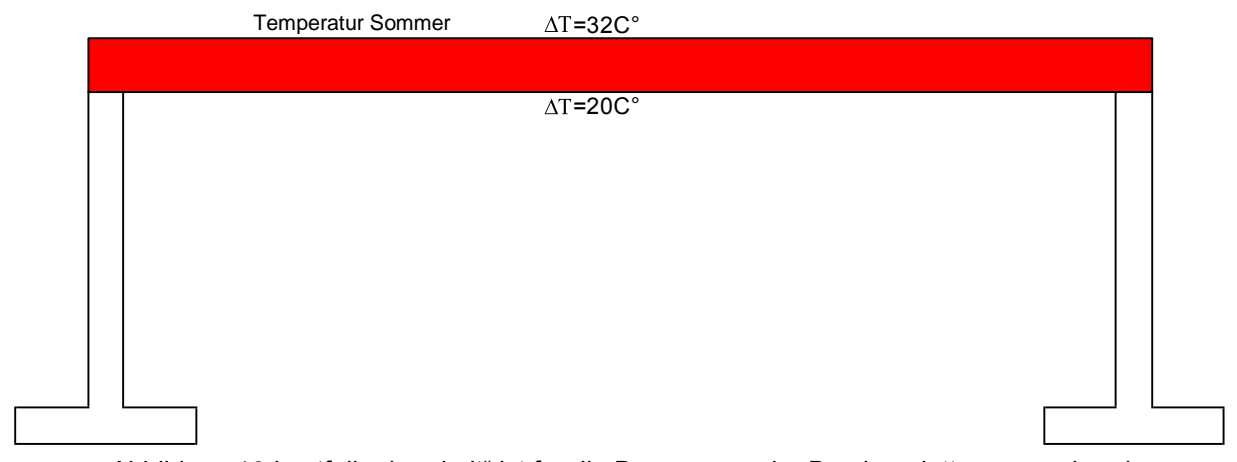


Abbildung 13 Lastfall "oben kalt" ist für die Bemessung der Brückenplatte massgebend.

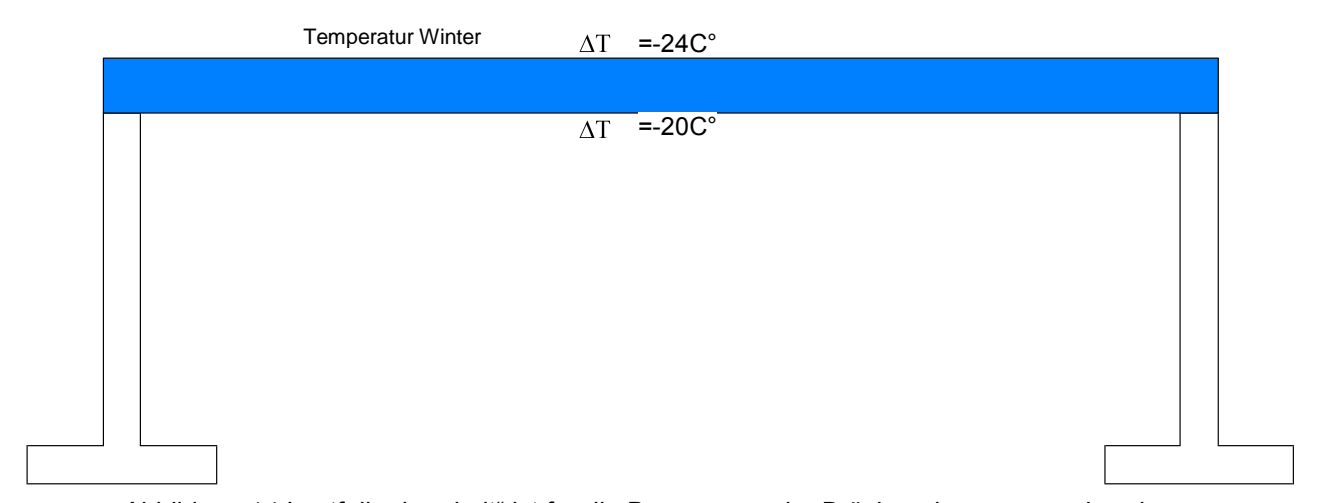


Abbildung 14 Lastfall "oben kalt" ist für die Bemessung der Brückenplatte massgebend.

#### 4.2.4 Wind

In der Berechnung wird nur Wind-Druck angesetzt.

$$q_{\rm k1\,Wind\,Druck} = 1.4\frac{\rm kN}{\rm m^2}$$

$$q_{\rm k3\ Wind\ Druck} = 0.3 \frac{\rm kN}{\rm m^2}$$

Einwirkung Wind SIA 261 6.2 Staudruck SIA 261 6.2.1 Der Staudruckt: SIA 261 6.2.1.1  $q_p = c_h \cdot q_{p0}$ SIA 261 Tab. 4 Geländekategorie: III Bauwerkshöhe (z<sub>min</sub>= 5m für die Geländekategorien II, IIa und III, für die Geländekategorie IV  $z_{min} = 10 \text{ m}$ : SIA 261 6.2.1.2 z := 5mSIA 261 Tab. 4 Gradienthöhe:  $z_g := 450 \text{m}$ Exponent der Bodenrauigkeit: SIA 261 Tab. 4  $\alpha_r := 0.23$ der Profilbeiwert: SIA 261 6.2.1.2  $c_{h} \coloneqq 1.6 \cdot \left[ \left( \frac{z}{z_{\sigma}} \right)^{\alpha_{T}} + 0.375 \right]^{2} = 1.6 \cdot \left[ \left( \frac{5 \cdot m}{450 \cdot m} \right)^{0.23} + 0.375 \right]^{2} = 0.853$ der Referenzwert des Staudrucks SIA 261 Anhang C Druckbeiwerte Tabelle 61 Höhe des Verkehrsbandes: h<sub>1</sub> := 0m Bauwerksabmessungen: h := 0.50 m b := 3.80 mGesamzhöhe:  $h_{tot} := h_1 + h = 0 \cdot m + 0.50 \cdot m = 0.5 m$ Spannweite:  $l_s := 14.35 m$ Winkel der Querneigung: v := 0° das geometrische Verhältnis:  $\frac{h}{b} = \frac{0.50 \cdot m}{3.80 \cdot m} = 0.132$  --> Brückenquerschnitt aus der Tabelle 61 Windkräfte SIA 261 6.2.3

 $A_{ref\_1} := I_s \cdot h_{tot} = I_s \cdot h_{tot} = 7.2 \, \text{m}^2$ Referenzflächen:

SIA 261 Anhang C

 $A_{ref_3} := I_s \cdot b = I_s \cdot b = 54.53 \,\text{m}^2$ 

#### Ermittlung der Windkräfte anhand von Kraftbeiwerten:

Reduktionsfaktor:

 $c_{red} := 1.0$ 

Der dynamische Faktor:  $c_d := 1.0$ 

6.3.3 SIA 261 6.3.4

Kraftbeiwerte:

 $c_{f1} := 1.45$   $c_{f3} := 0.32$ 

SIA 261 Anhang C

6.3.2

Windkräfte:

$$Q_{k1} := c_{red} \cdot c_d \cdot c_{f1} \cdot q_p \cdot A_{ref\_1} = 9.8 \cdot kN$$

SIA 261 6.2.3.2

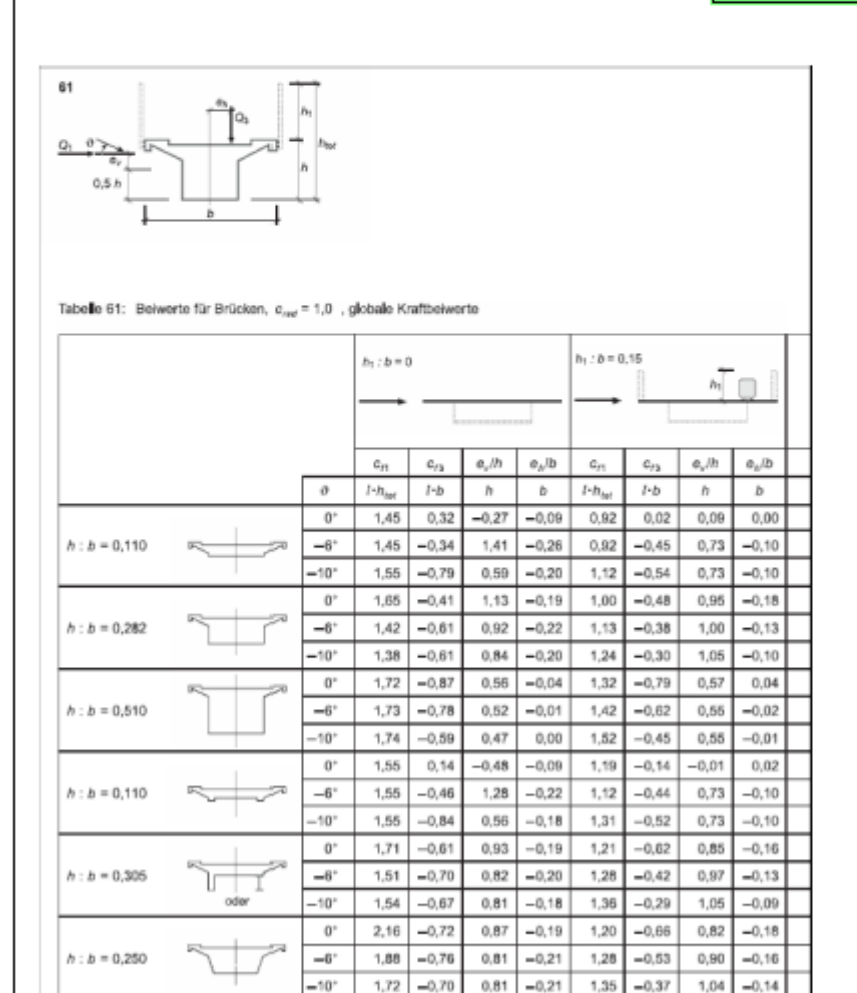
SIA 261 6.3.1

$$Q_{k3} := c_{red} \cdot c_d \cdot c_{f3} \cdot q_p \cdot A_{ref\_3} = 16.4 \cdot kN$$

Windkräfte als Flächenlast:

$$q_{k1} := c_{red} \cdot c_d \cdot c_{f1} \cdot q_p \cdot h = 0.7 \cdot \frac{kN}{m}$$

$$q_{k3} := c_{red} \cdot c_d \cdot c_{f3} \cdot q_p = 0.3 \cdot \frac{kN}{m^2}$$



Für Brücken mit Fahrbahn < 30 m über Boden: Für Brücken mit Fahrbahn > 30 m über Boden: Für Brücken in alpinen Tätern:

 $\theta = -8^{\circ} \pm \text{Querneigung}$ 

 $\partial = -8^{\circ} \pm \text{Querneigung}$ 

### 4.2.5 Abschrankungen

Siehe PB  $q_k=3.0 \text{ kN/m}$ 

Die Last soll auf der Höhe von 1.20 m angesetzt werden. Das infolge dieser horizontalen Kraft erzeugte Moment beträgt:  $m_{Ek}=3.0\frac{^{kN}}{m^2}\cdot 1.20~m=3.60\frac{^{kNm}}{m}$ 

$$m_{Ek} = 3.0 \frac{kN}{m^2} \cdot 1.20 \ m = 3.60 \frac{kNm}{m}$$

Diese Einwirkung ist für die globale Tragsicherheit der Brückenplatte nicht massgebend. Sie wird in der nächsten Projektphase für die Bemessung des Befestigungsmittels für das Geländer berücksichtigt.

## 4.3 Aussergewöhnliche Einwirkungen

#### 4.3.1 Erdbeben

Die Einwirkung "Erdbeben" wurde nur in massgebender Richtung berücksichtigt; d.h. in der gleichen Richtung wie Erddruck infolge Bahnverkehrslasten und Schlingerkraft

Gefährdungszone Z2

SIA 261 16.2.1

Bodenbeschleunigung:

$$a_{gd} = 1.0 \frac{m}{s^2}$$

Bauwerksklasse II

SIA 261 Tab. 25

Bedeutungswert:

$$\gamma_f = 1.0[-]$$

(Verkehrswege mit erheblicher Bedeutung)

Baugrundklasse D

SIA 261 Tab.24

Parameter zur Bestimmung des elastischen Antwortspektrums:

$$S = 1.35[-]$$

In Anlehnung an SIA 267 7.5.2 wurde das Bauwerk mit dem Ersatzkraftverfahren bemessen.

Bemessungswert der Erdbebeneinwirkung auf die Stützbauwerke:

Horizontale Kräfte

$$A_{h,d} = \gamma_f \cdot \frac{a_{gd}}{g \cdot q_g \cdot q_h} \cdot S \cdot G_k$$

Vertikale Kräfte

$$A_{v.d} = 0.5 \cdot A_{h.d}$$

siehe SIA 267 7.5.2.1

Die vertikalen Kräfte werden in der Bemessung nicht angesetzt.

Verhaltungsbeiwert:

$$q_a = 1.0 [-]$$

SIA 267 Tab.2

Beiwert für die Ausdehnung des Bruchkörpers:

$$q_h = 1.0 [-]$$

SIA 267 Tab.3

$$- \rightarrow A_{h,d} = 1.00 \cdot \frac{1.0 \frac{m}{s^2}}{9.81 \frac{m}{s^2} \cdot 1.0 \cdot 1.0} \cdot 1.35 \cdot G_k = 0.1376 \cdot G_k$$

Ersatzkräfte

Widerlager Brückenplatte:

$$a_{h,d} = 0.1376 \cdot \left(\frac{0.54 \, m + 0.50 m}{2} \cdot 25 \frac{kN}{m^3}\right) = 0.1376 \cdot 10.5 \frac{kN}{m^2} = 1.78 \frac{kN}{m^2}$$

– Widerlagerwände:

$$a_{h,d} = 0.1376 \cdot \left(0.40 \ m \cdot 25 \frac{kN}{m^3}\right) = 0.1376 \cdot 10.0 \frac{kN}{m^2} = 1.372 \frac{kN}{m^2}$$

– Fundamente:

Werden vernachlässigt.

#### Erdkeil:

Breite des Erdkeils:  $b_k = h \cdot \tan(90^\circ - \theta_a) = 4.87 \ m \cdot \tan(90^\circ - 57.8^\circ) = 3.16 \ m$ 

$$a_{h,d} = 0.1376 \cdot \left(3.16 \ m \cdot 21 \frac{kN}{m^3}\right) = 9.1 \frac{kN}{m^2}$$

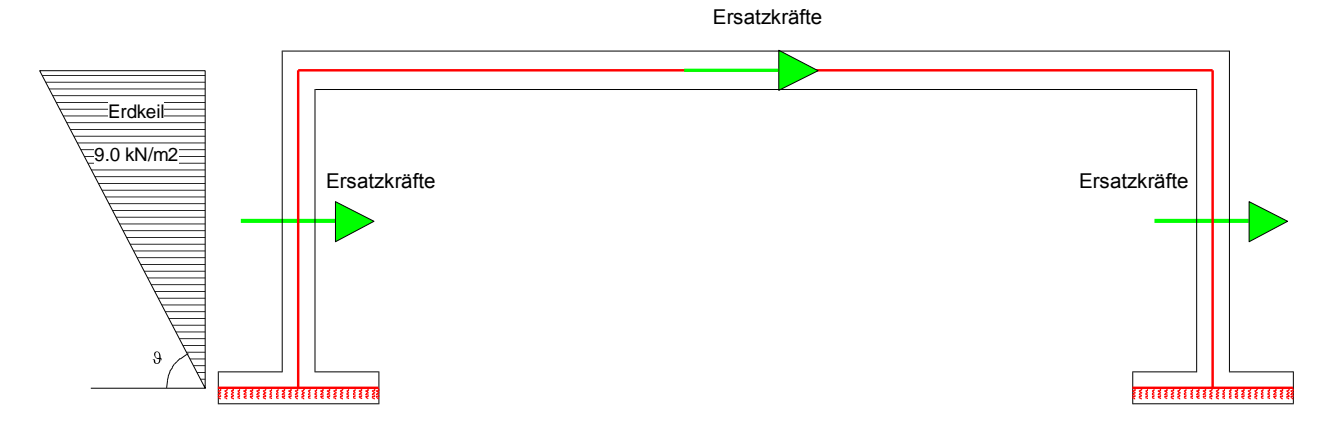


Abbildung 15 Ersatzkräfte Erdbeben

#### 4.3.2 Verkehrslast

SIA 261 9.1.3, 10.2.1.1

Achslast gemäss PB

$$Q_k = \frac{75 \, kN}{2} = 37.5 kN$$

Verteilung bis zur Systemlinie

$$q_k = \frac{37.5 \, kN}{0.90 \, m \cdot 0.x9 \, m} = 46.3 \, \frac{kN}{m^2}$$

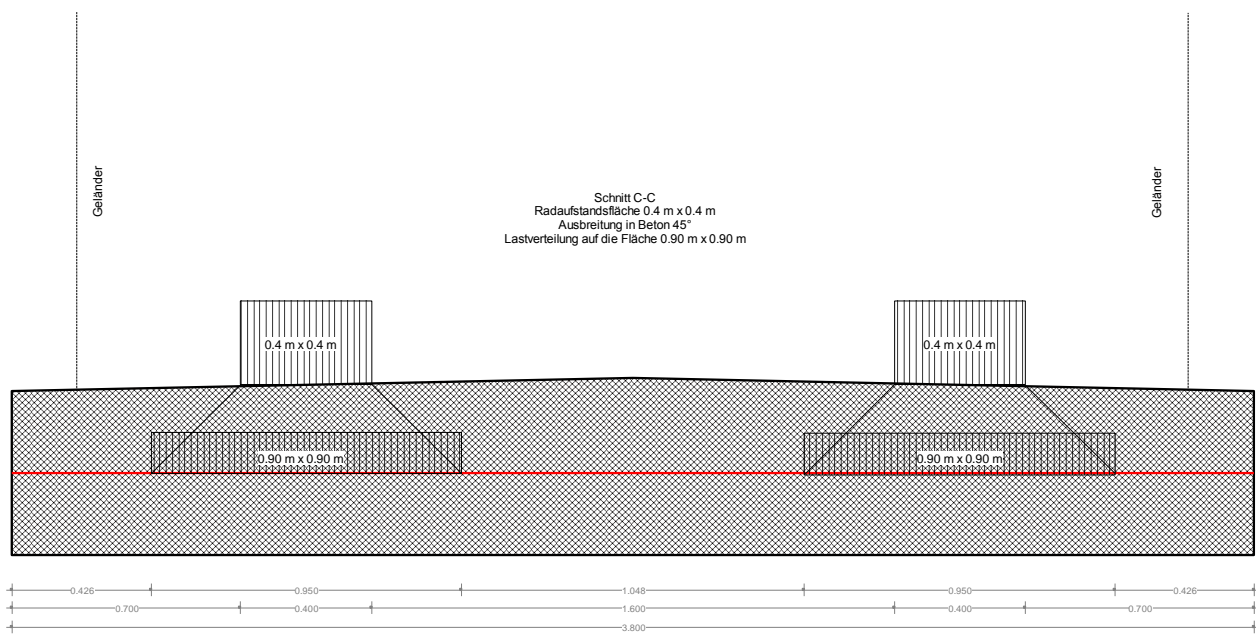


Abbildung 16 Lastverteilung der Verkehrslast in der Platte (Plattenquerschnitt)

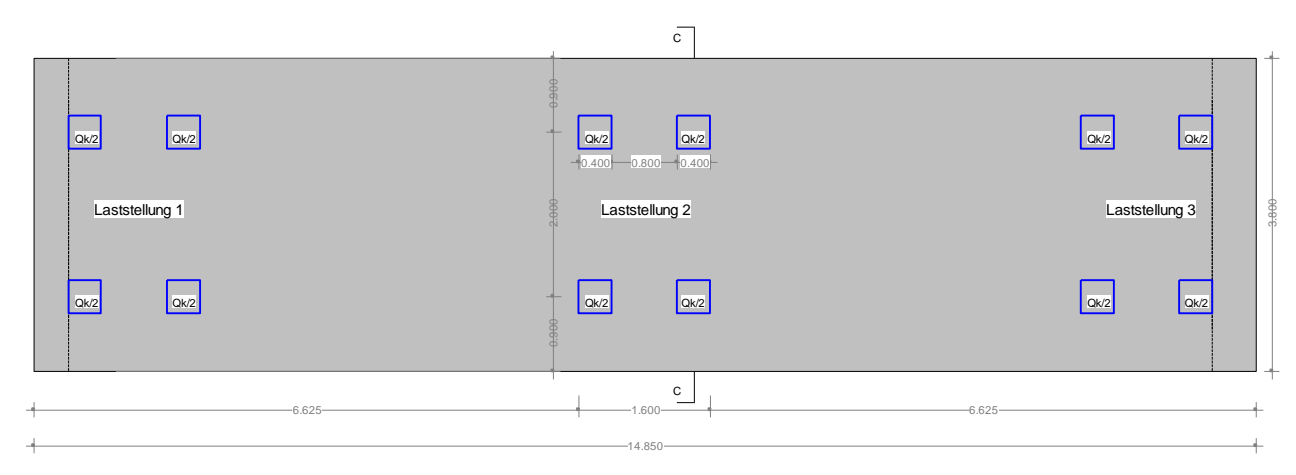


Abbildung 17 Massgebende Laststellungen des Fahrzeuges von 75 kN (Achslast 37.5 kN)

# Vorbemerkungen zur statischen Berechnung

#### Allgemein, statisches System 5.1

Der Velo- und Fussgängersteg wird als ein elastisch gelagertes Mittellinienplattenmodell im Programm AxisVM 14 mithilfe von Schalenelementen modelliert.

Die elastische Lagerung wird mittels Flächenlager modelliert.

Da die horizontale Verschiebung des ganzen Systems ausgeschlossen ist, wird das Flächenlager in horizontale Richtung als unverschieblich modelliert.

Die vertikale elastische Lagerung wird aus dem abgeschätzten Bettungsmodul<sup>3</sup> des Bodens bestimmt.

$$k_{v,k} = 80 \frac{MN}{m^3}$$

$$R_{z,d} = \frac{k_{v,k}}{\gamma_M = 1.4} = \frac{80 \frac{\text{MN}}{\text{m}^3}}{1.4} = \frac{57000 \frac{kN}{m}}{m^2}$$

Abschätzung für den dicht gelagerten Mischschotter.

<sup>&</sup>lt;sup>3</sup> Bodenmechanik und Grundbau, H-J. Lang, J. Huder, 9. Auflage, Springer Verlag, 2010. Das Bettungsmodul für Kies, fein mit Sand liegt zwischen 80-100 MN/<sup>m2</sup>.

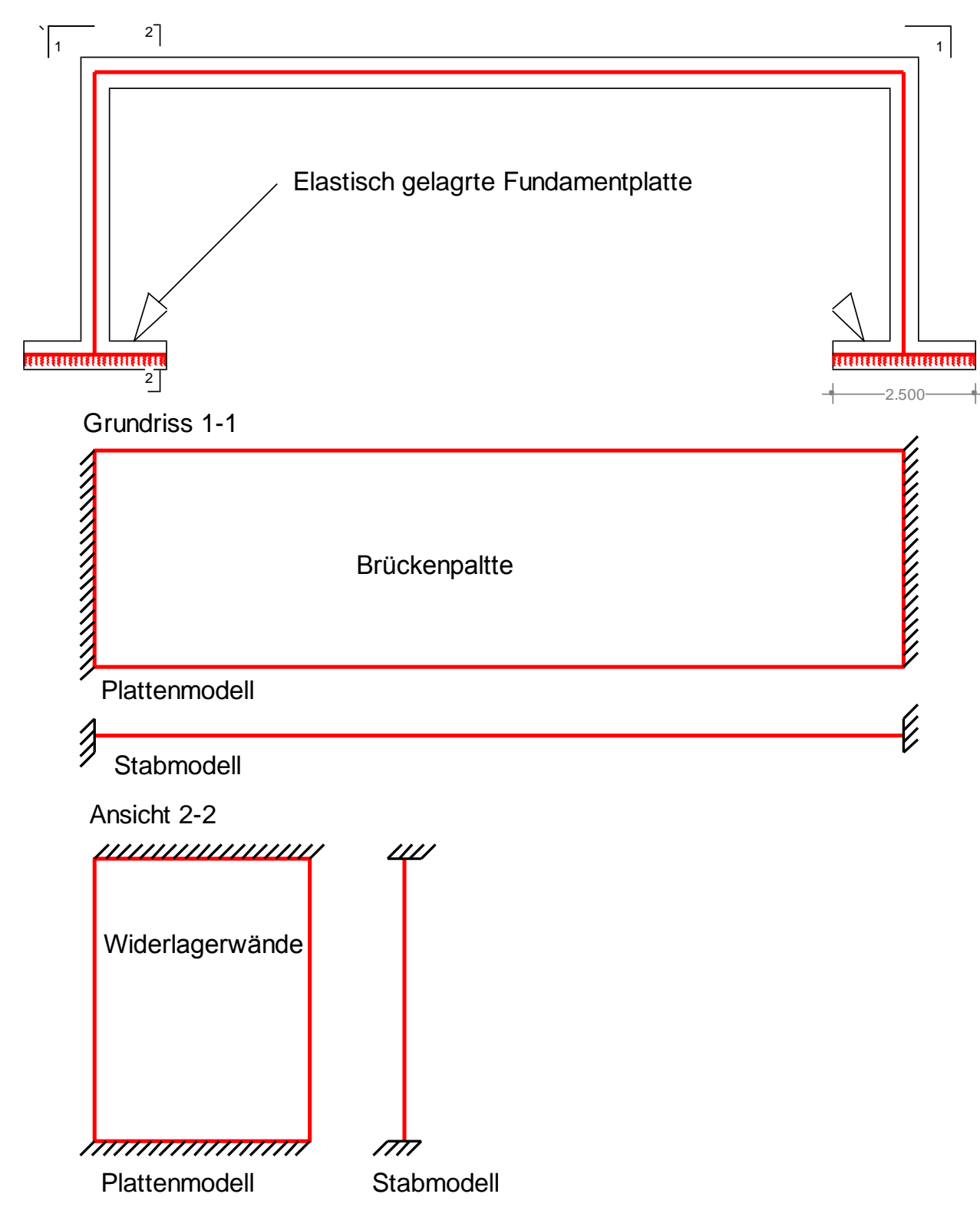


Abbildung 18 Statisches System Fussgängerbrücke

# 5.2 Lastkombinationen

Um einen Überblick über die Gesamteinwirkung zu gewinnen, sind alle Lasten in der Abbildung 20 dargestellt.

Die in der Projektbasis definierten Einwirkungskombinationen wurden mithilfe des Programm AxisVM ermittelt.

Die Einwirkungen sind in Lastgruppen eingeteilt (siehe Abbildung 19). Die massgebenden Schnittkräfte und Lastkombinationen für den jeweiligen Bauteil werden vom Programm ermittelt und tabellarisch dargestellt.



Abbildung 19 Lastgruppen der Einwirkungen, Ausschnitt aus Axis

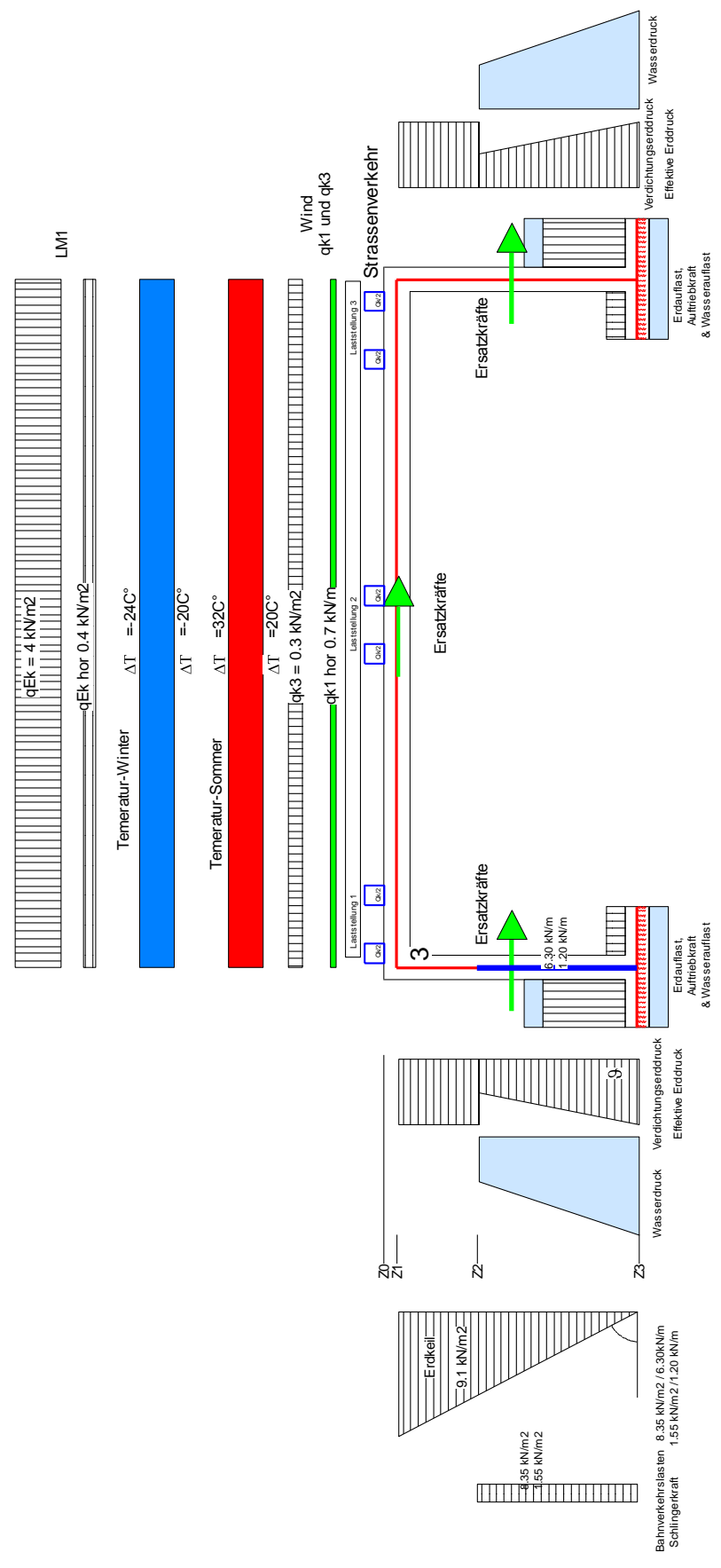


Abbildung 20 Darstellung der Gesamteinwirkung

# 5.3 Ablesung der Schnittkräfte und Lastkombinationen

In der Abbildung 21 sind die Abmessungen des Bauwerks dargestellt. Dieselbe isometrische Darstellung wird für die Darstellung der Schnittkräfte verwendet.

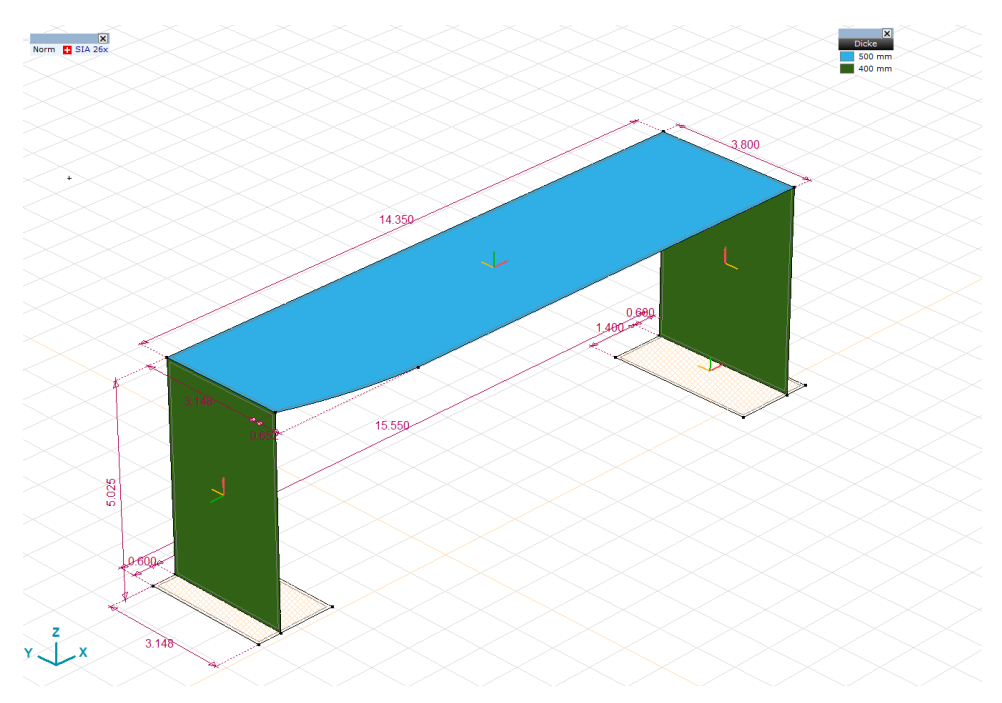


Abbildung 21 Abmessungen des Bauwerkes aus Axis Modell

Anhand der folgenden Abbildungen werden die massgebenden Schnittkräfte erläutert und definiert.

Die erforderlichen Schnittkräfte werden aus den Diagrammen Abbildung 22 und Abbildung 23 abgelesen.

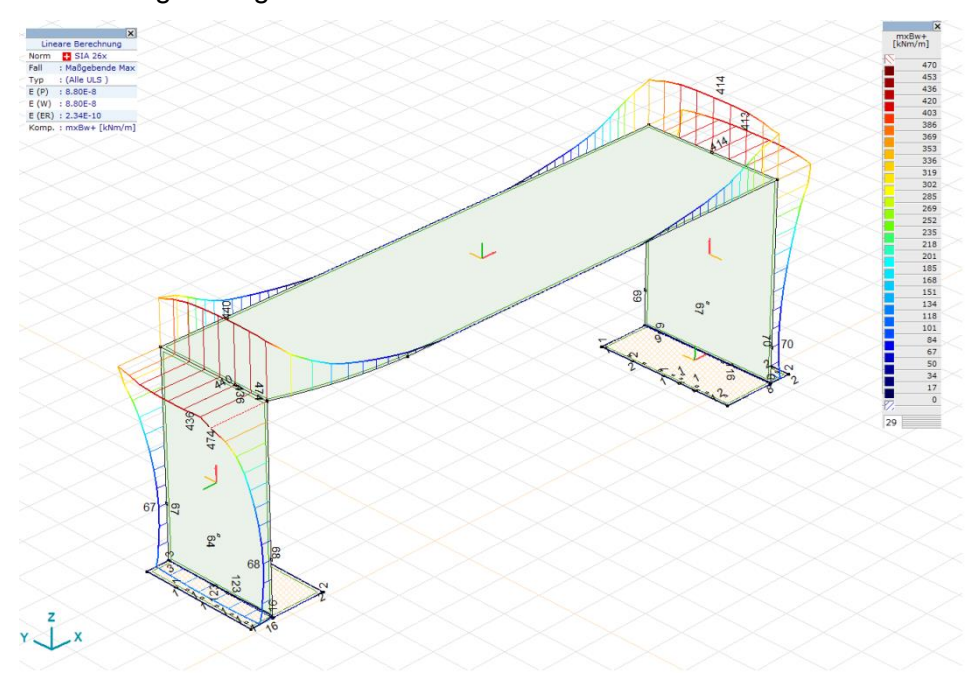


Abbildung 22 Schnittkräfte, massgebend max. mxBw

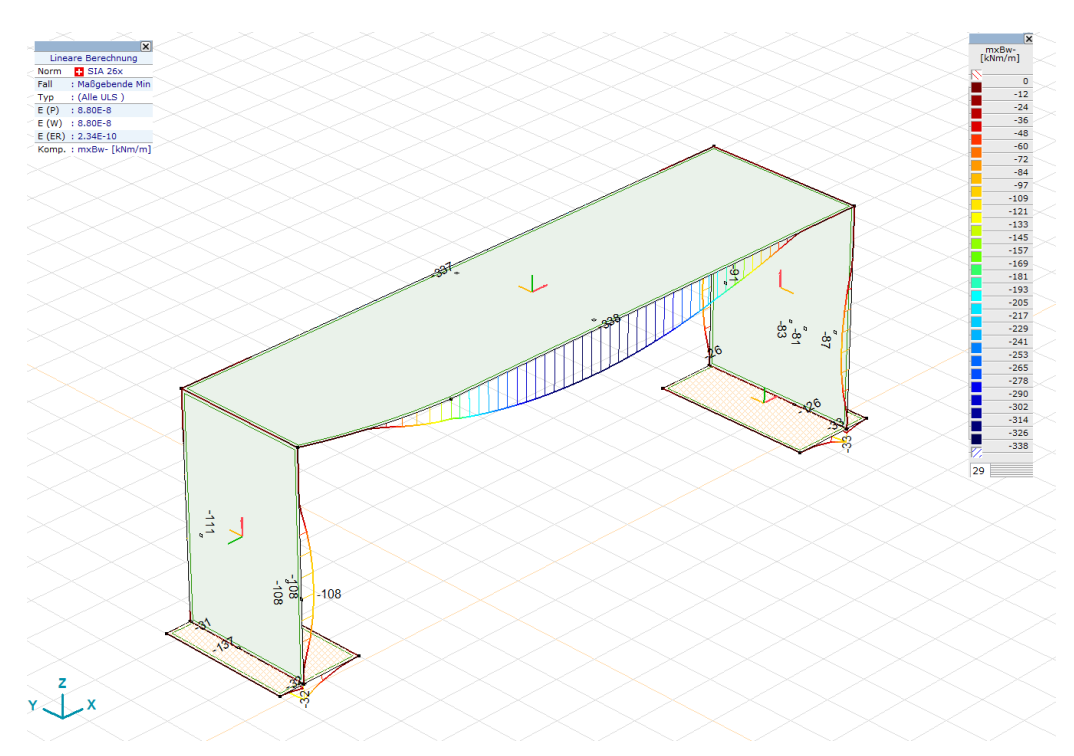


Abbildung 23 Schnittkräfte, massgebend min. mxBw

Die Lastkombinationen der massgebenden Schnittkräfte werden tabellarisch dargestellt:

LK	К	min. max.			nyBw [kN/m]		mxBw- [kNm/m]	•	myBw- [kNm/m]
	mxBw+	min	-243	341	3	0	-28	3	-3
1		max	-258	-467	920	440	0	89	0
2	mxBw-	min	8	-99	-2	0	-338	4	-6
		max	172	1033	2927	193	0	0	-35

Tabelle 1 Massgebende Schnittkräfte

Maßgebende Lastkombination											
EL		Effektiver Erddruck und Verdichtungsdruck	ED_Bahnlast ED_Schlingerkraft	Wasserauftrieb	Erdauflast_ Fundament		Wasserauflast	LM1	Wind	Temp_oben_kalt	Temp_oben_warm
0.8	0.8	1.35	0.7	1.2	0.8	1.2	1.2	-	-	-	1.5
1.35	1.35	1.35	1.35	1.2	0.8	1.2	1.2	1.5	0.6	0.6	-
1.35	1.35	0.7	0.7	0.9	1.35	0.9	0.9	1.5	0.6	-	0.6
1.35	1.36	0.7	0.7	0.9	1.35	0.9	0.9	-	-	-	1.5

Tabelle 2 Lastkombinationen der massgebenden Schnittkräfte

Mit den im Programm AxisVM X4 ermittelten Schnittkräften wird der Betonquerschnitt für die jeweiligen Bauteile im Programm Fagus-6 auf Biegung bemessen. Die Querkraftnachweise erfolgen separat von Hand.

Die theoretische Lage der Nachweisschnitte bei Einspannungen sind in der Abbildung 24 dargestellt. Zur Vereinfachung werden für das Bauwerk die Schnittkräfte direkt an den Einspannungsecken der Systemlinie eingelesen.

Nachweisschnitt bei Einspannungen

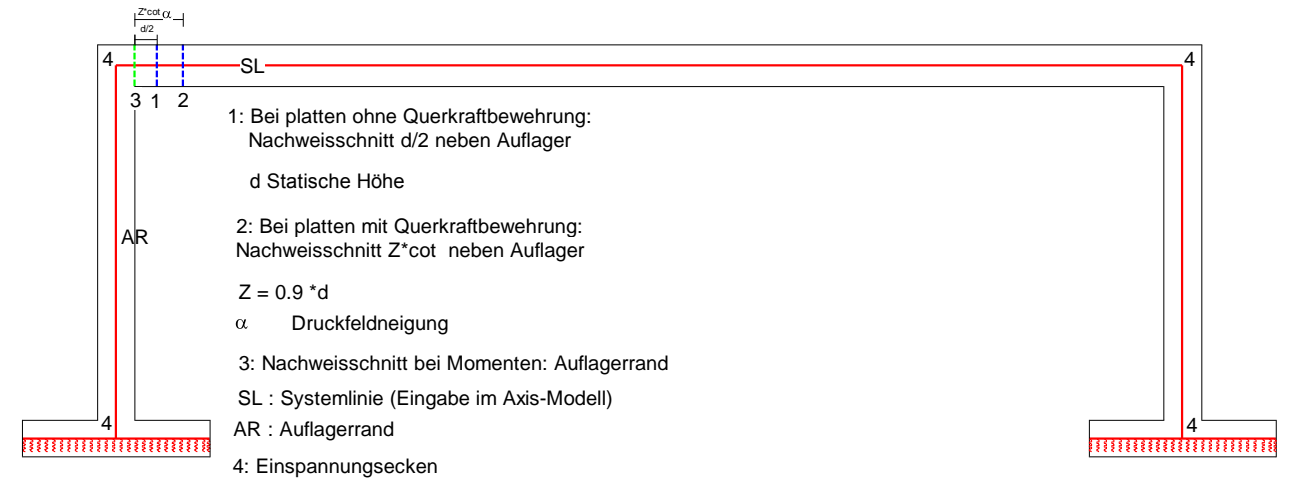


Abbildung 24 Nachweisschnitte für die Biegung und Querkraft.

### 5.3.1 Nachweis Gebrauchstauglichkeit

Die Gebrauchstauglichkeitsnachweise wurden für die Brückenplatte für die häufigen und quasi-ständigen Einwirkungen durchgeführt.

Die Auslenkung der Widerlagerwände wurde überprüft. Da für die Gesamtkonstruktion diese Auslenkungen nicht relevant sind, wurden sie in dieser statischen Berechnung nicht dokumentiert.

#### Kriechzahl

Kriechzahl 
$$\varphi(t, t_0) = \varphi_{RH} \cdot \beta_{fc} \cdot \beta(t_0) \cdot \beta(t - t_0)$$
 SIA 262 3.1.2.6.2

Beiwert zur Berücksichtigung des Einflusses der Betonfestigkeit auf die Kriechzahl:

$$\beta_{fc} = 2.7 [-]$$
 SIA 262 Tabelle 4

Beiwert zur Berücksichtigung der relativen Luftfeuchtigkeit (für RH = 60%):

$$\varphi_{RH} \approx 1.50 \, [-]$$
 SIA 262 Figur 2

Beiwert zur Berücksichtigung des Betonalters bei Einwirkungsbeginn (nach 28 Tagen):  $\beta(t_0) \approx 0.50 \ [-]$  SIA 262 Figur 2

Beiwert zur Berücksichtigung der Lastdauer (mehr als 20 Jahre):

$$\beta(t - t_0) \approx 0.974 [-]$$
 SIA 262 Figur 2

**Kriechzahl** 
$$\varphi(t, t_0) = 2.7 \cdot 1.50 \cdot 0.50 \cdot 1.0 \approx 2.0$$

#### 5.3.2 Schwingungen

Die Eigenschwingungen des FG-Steges wurden mit dem Programm AxisVM X4 mit dem auf Grund der reduzierten Steifigkeit überprüft. (E<sub>red</sub>=0.8E<sub>Beton</sub>).

# 6 Tragsicherheits- und Gebrauchstauglichkeitsnachweis

# 6.1 Tragsicherheitsnachweis Brückenplatte

# 6.1.1 Massgebende Schnittkräfte Brückenplatte

Ablesung der Schnittkräfte aus dem Diagramm-Axis Modell:

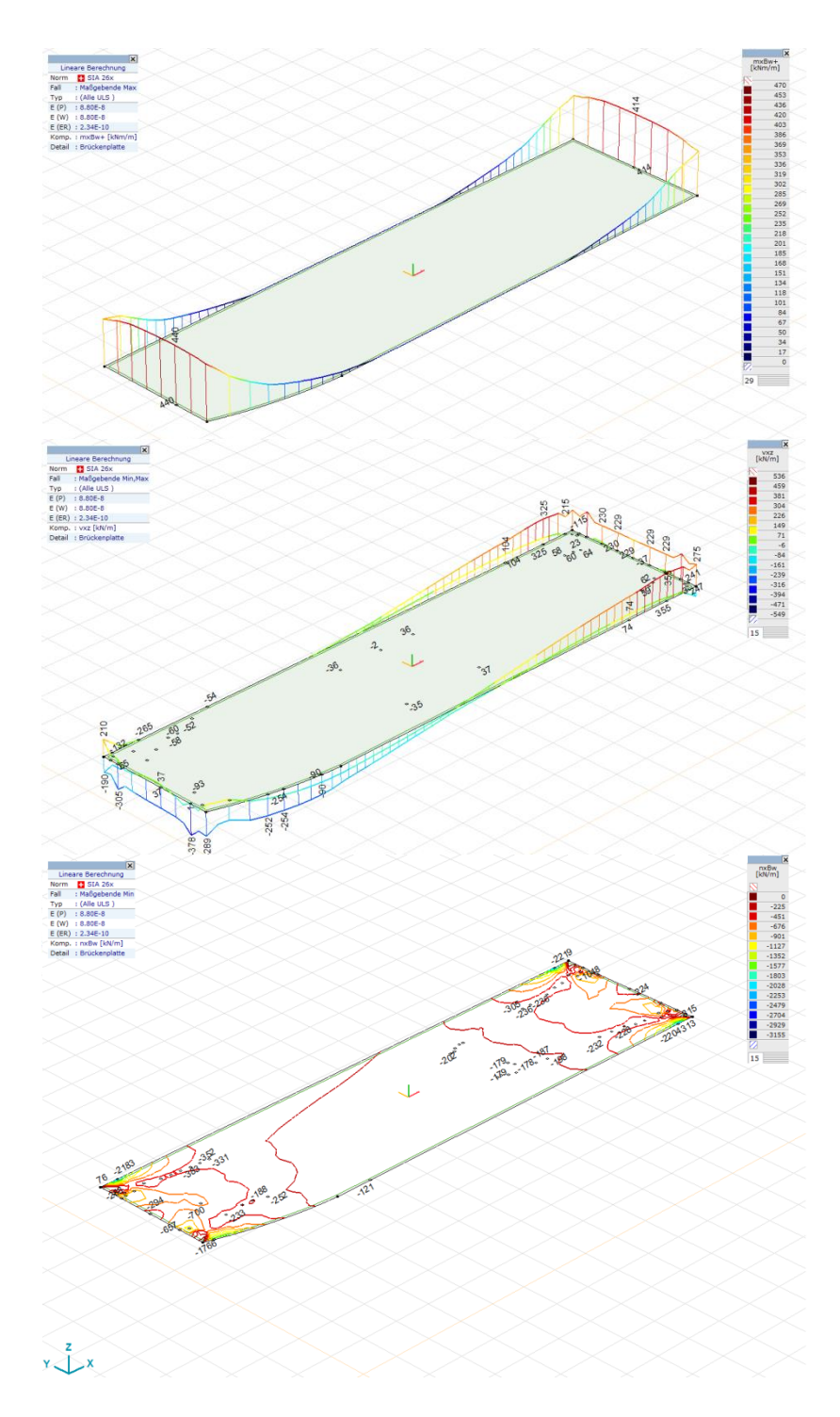


Abbildung 25 Schnittkräfte LK1 der Brückenplatte aus Diagramm-Axis Modell

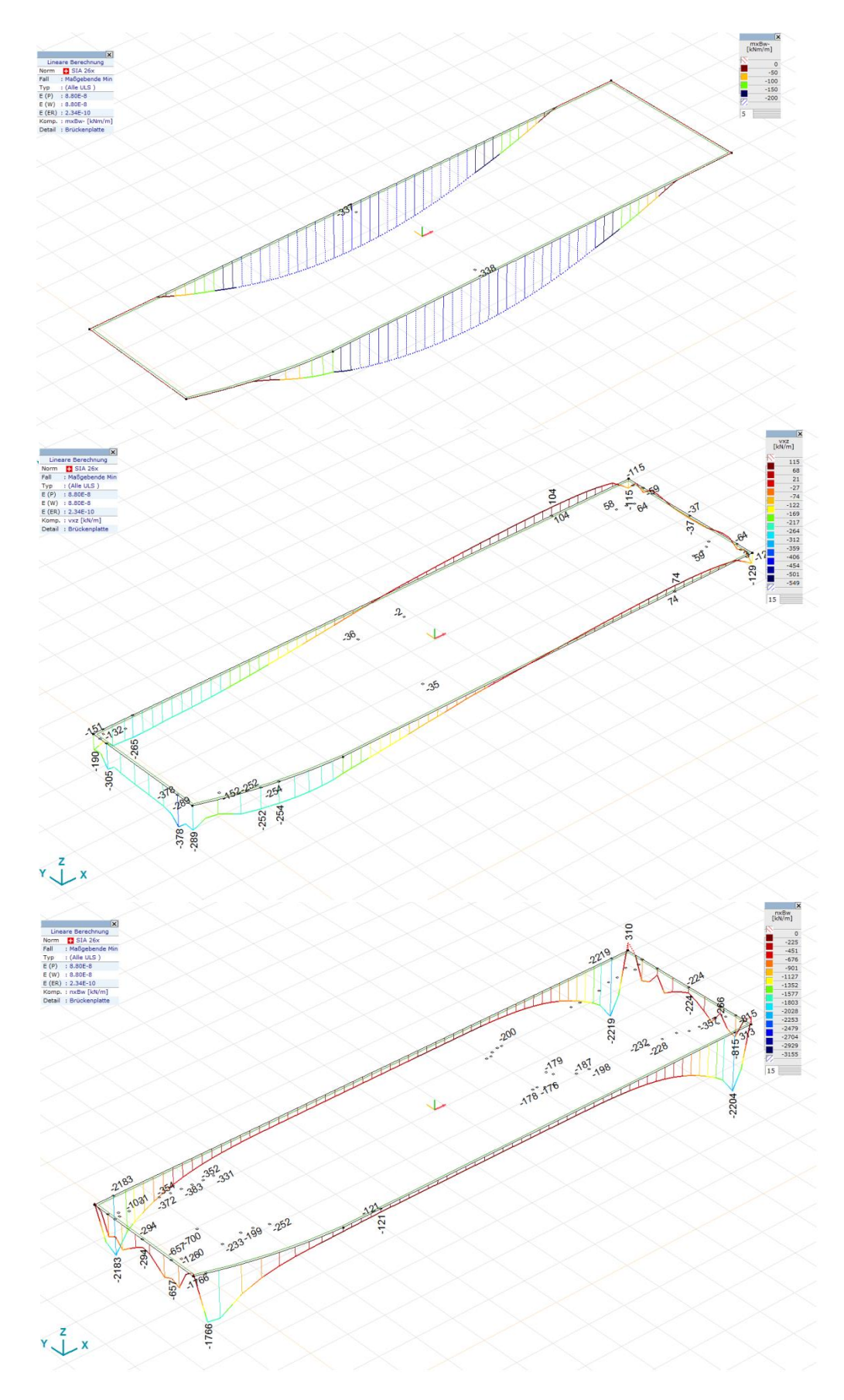


Abbildung 26 Schnittkräfte LK2 der Brückenplatte aus Diagramm-Axis Modell

Die massgebende Schnittkräfte und dazugehörige Lastkombinationen sind in der Tabelle 3 und Tabelle 4 dargestellt.

LK	K	min. max.	WZ	nxBw	nyBw	mxBw+	mxBw-	myBw+	myBw-
			[kN/m]	[kN/m]	[kN/m]	[kNm/m]	[kNm/m]	[kNm/m]	[kNm/m]
	mxBw+	min	-243	341	3	0	-28	3	-3
1		max	-258	-467	920	440	0	89	0
2	mxBw-	min	8	-99	-2	0	-338	4	-6
		max	172	1033	2927	193	0	0	-35

Tabelle 3 Massgebende Schnittkräfte der Brückenplatte

Maßge	Maßgebende Lastkombination											
EL		Effektiver Erddruck und Verdichtungsdruck	ED_Bahnlast ED_Schlingerkraft		Erdauflast_ Fundament		Wasserauflast	LM1	Wind	Temp_oben_kalt	Temp_oben_warm	
0.8	0.8	1.35	0.7	1.2	0.8	1.2	1.2	-	-	-	1.5	
1.35	1.35	1.35	1.35	1.2	0.8	1.2	1.2	1.5	0.6	0.6	-	
1.35	1.35	0.7	0.7	0.9	1.35	0.9	0.9	1.5	0.6	-	0.6	
1.35	1.36	0.7	0.7	0.9	1.35	0.9	0.9	-	-	-	1.5	

Tabelle 4 Lastkombinationen der massgebenden Schnittkräfte

# 6.1.2 Erforderliche Bewehrung aus dem AxisVM

Die erforderliche Bewehrung aus beiden Lastkombinationen 1 und 2 sind in folgender Tabelle dargestellt.

			axo [mm²/m]		Bemerkungen
Ī					
Ī	1754	Feld - 639	2514	Feld - 639	
Ī		Rand - 2556		Rand - 3334	

Tabelle 5 Erf. Bewehrung Brückenplatte aus Axis

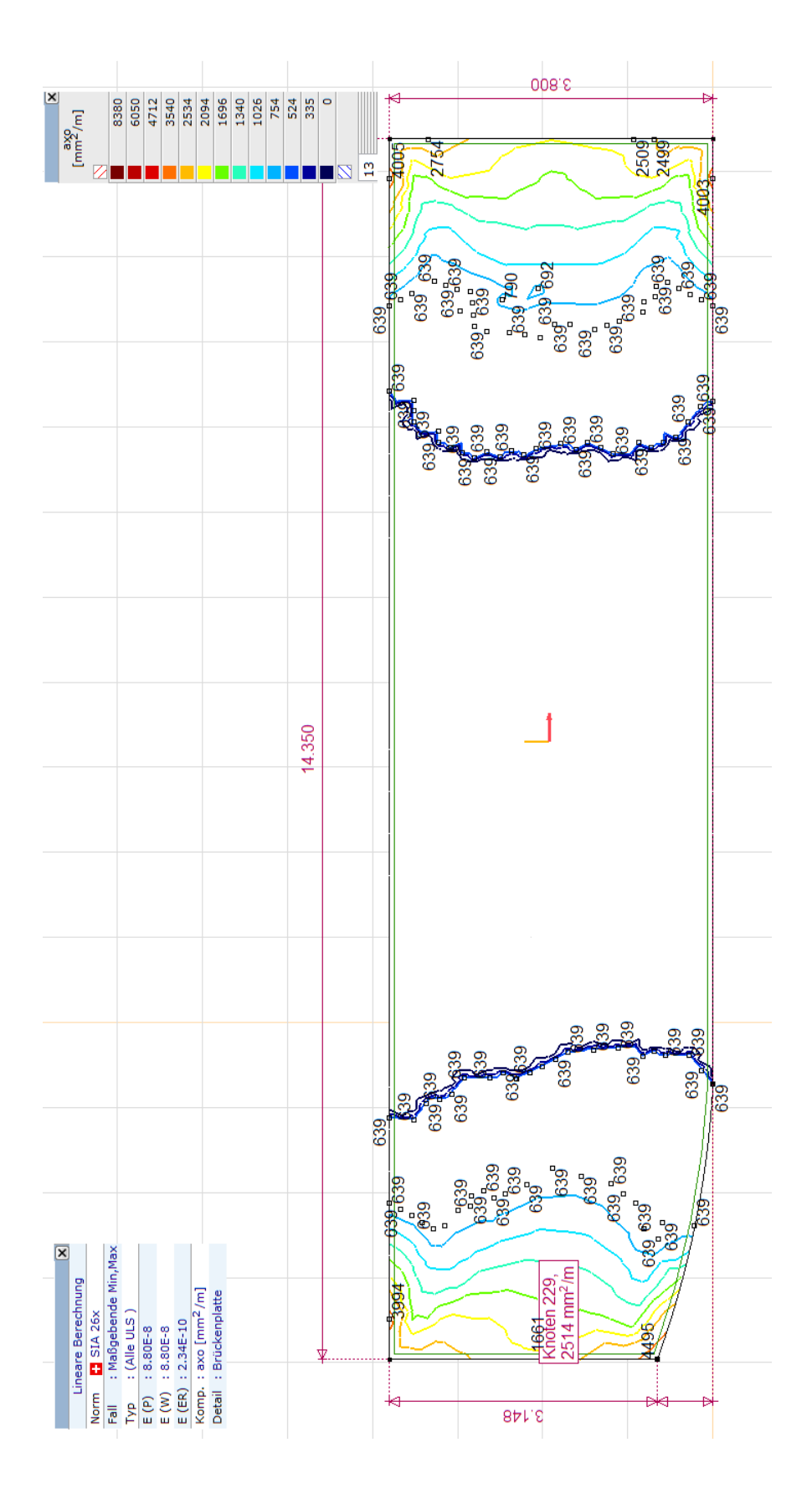


Abbildung 27 Erf.axo-Brückenplatte aus Axis

IG Lampenstein

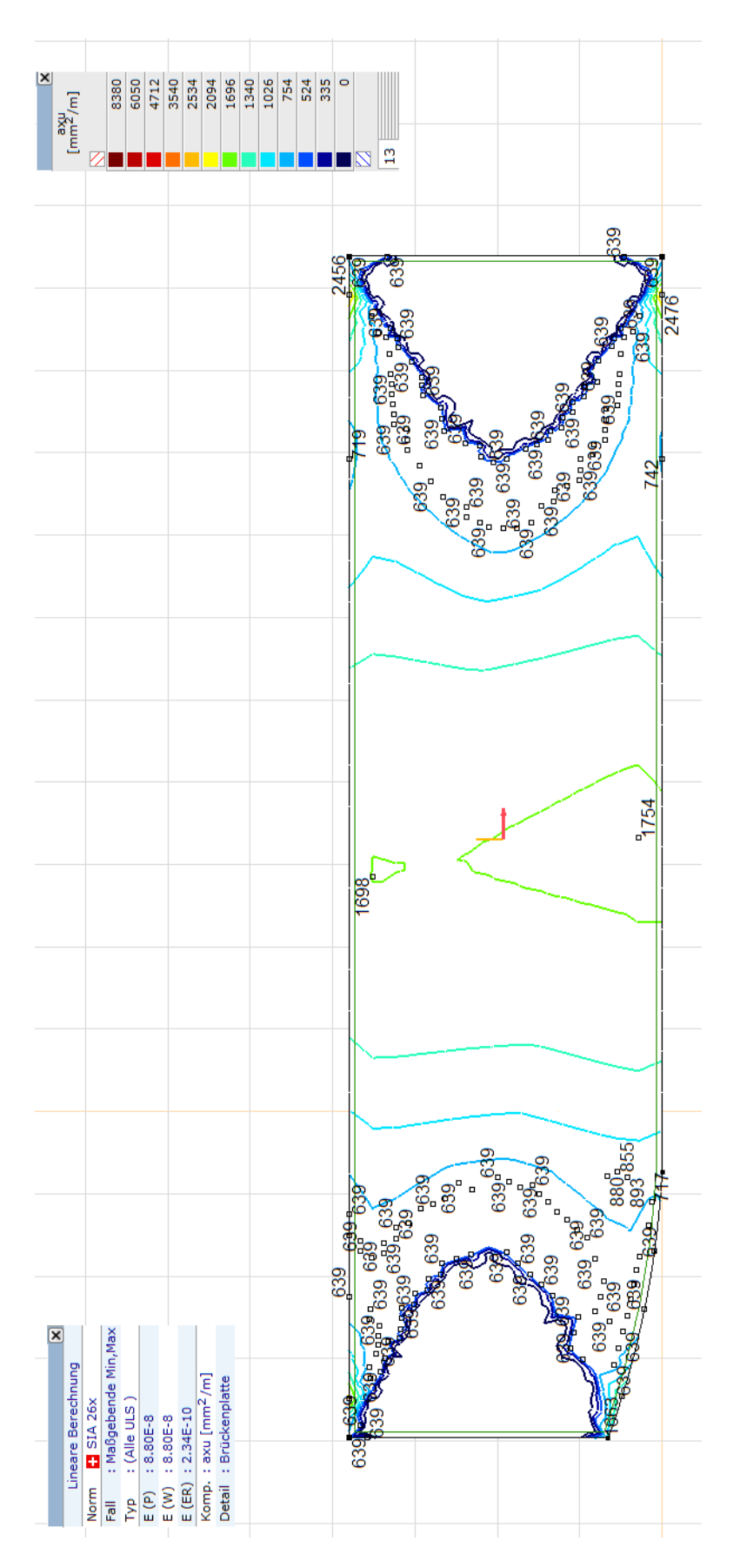


Abbildung 28 Erf. axu-Brückenplatte aus Axis



Abbildung 29 Erf. ayo-Brückenplatte aus Axis

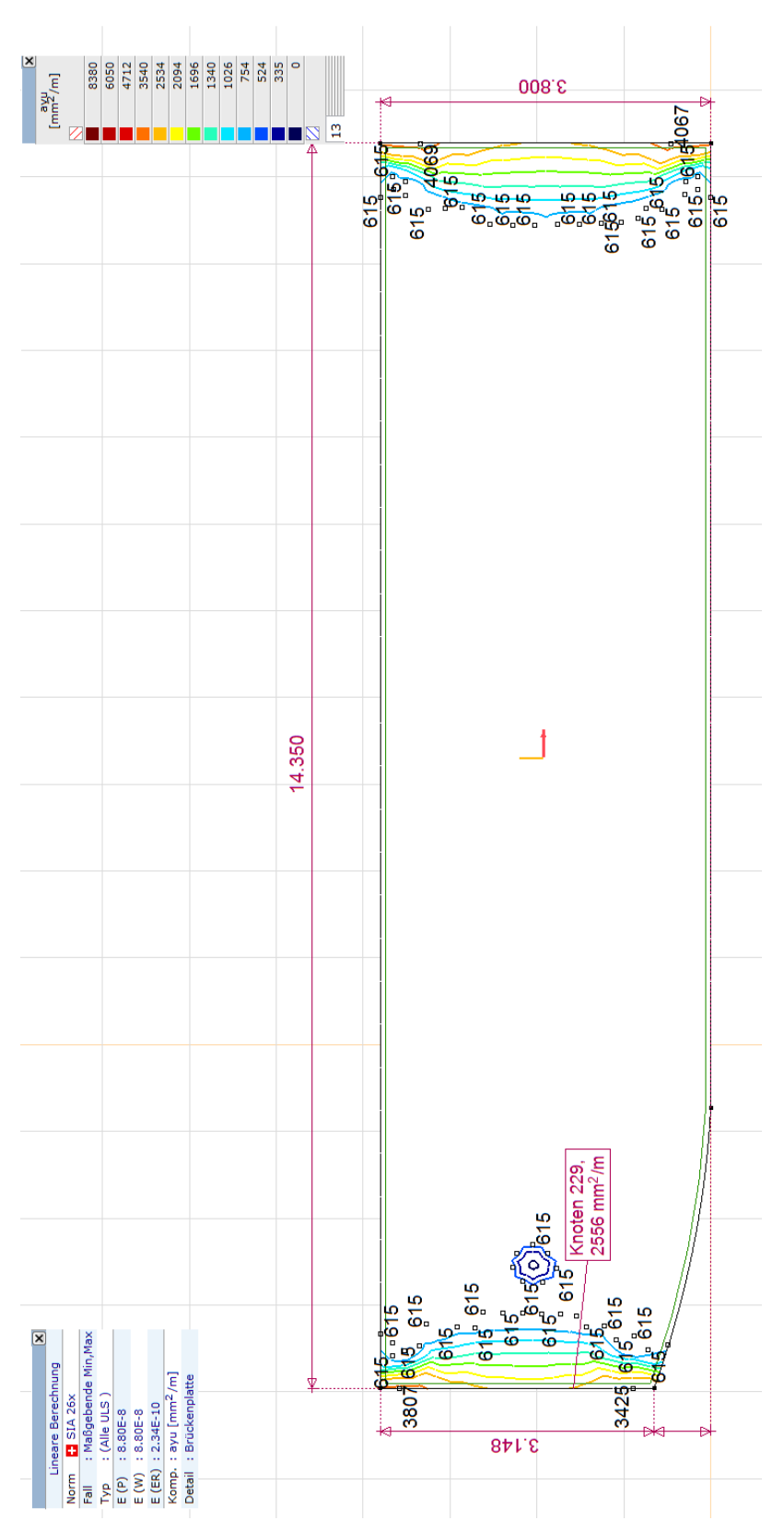


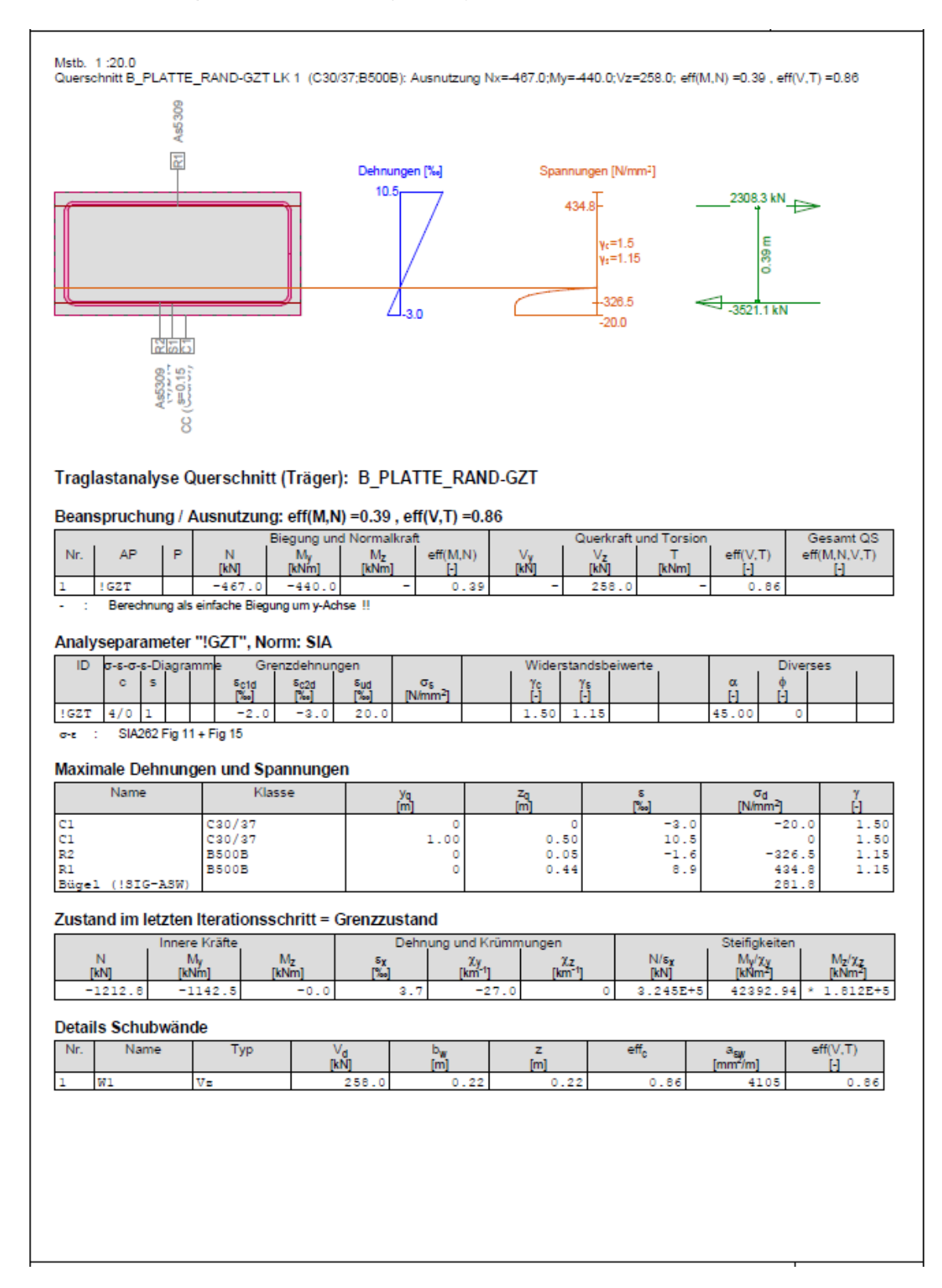
Abbildung 30 Erf. ayu-Brückenplatte aus Axis

### 6.1.3 Bemessung Biegung und Querkraft

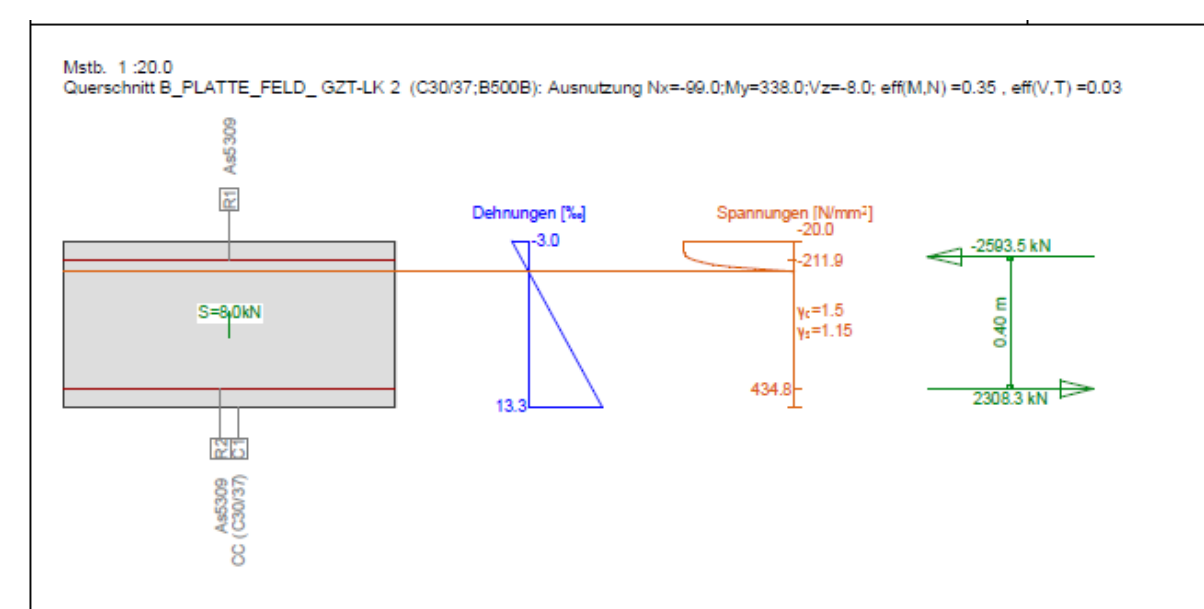
Die Bemessung wurde im Programm Fagus-6 durchgeführt.

Für die gewählte Bewehrung (siehe Kap. 6.2.5 ergibt sich die folgende Ausnutzung:

- Brückenplatte Rand LK 1 n(M, N,V)=1.0



Brückenplatte Feld\_Mitte LK 2 n(M, N,V)=0.69



### Traglastanalyse Querschnitt (Träger): B\_PLATTE\_FELD\_ GZT

### Beanspruchung / Ausnutzung: eff(M,N) =0.35, eff(V,T) =0.03

				Biegung und	d Normalkraf	t		Querkraft	und Torsion		Gesamt QS
Nr.	AP	Р	N [kN]	M <sub>y</sub> [kNm]	M <sub>z</sub> [kNm]	eff(M,N)	eff(V,T)	eff(M,N,V,T)			
			[KIV]	[KINIII]	[KINIII]		[kŃ]	[kN]	[kNm]		
1	!GZT		-99.0	338.0	0	0.35	0	-8.0	0	0.03	

### Analyseparameter "!GZT", Norm: SIA

ID	σ-ε-σ-	ε-Di	agra	mm	e Gre	enzdehnur	ngen		Wider	standsb	eiwerte		Dive	rses	
	С	s			Sc1d	<sup>5</sup> c2d [‰]	S <sub>ud</sub>	σ <sub>ε</sub> [N/mm <sup>2</sup> ]	γc	γs		α	φ		
!GZT	4/0	,			-2 O	-3.0	20.0	pwmm	1.50	1.15		45.00	1-1		

о-е : SIA262 Fig 11 + Fig 15

### Maximale Dehnungen und Spannungen

Name	Klasse	У <sub>Q</sub> [m]	<sup>Z</sup> q [m]	8 [‰]	σ <sub>d</sub> [N/mm²]	γ [-]
C1 C1 R1 R2 Bügel (!SIG-ASW)	C30/37 C30/37 B500B B500B	1.00 0 0	0.50 0 0.44 0.06	-3.0 13.3 -1.0 11.5	0	1.50 1.50 1.15 1.15

#### Zustand im letzten Iterationsschritt = Grenzzustand

	Innere Kräfte		Dehn	ung und Krümn	nungen		Steifigkeiten	
N [kN]	M <sub>y</sub> [kNm]	M <sub>z</sub> [kNm]	5χ [%]	χ <u>γ</u> [km <sup>-1</sup> ]	χ <u>z</u> [km <sup>-1</sup> ]	N/s <sub>¥</sub> [kN]	M <sub>V</sub> /χ <sub>y</sub> [kNm²]	M <sub>z</sub> /χ <sub>z</sub> [kNm²]
-285.2				32.6	0.0	55327.12	29845.77	55787.79

### Details Schubwände

Nr.	Name	Тур	V <sub>d</sub> [kN]	b <sub>w</sub> [m]	z [m]	eff <sub>c</sub>	a <sub>sw</sub> [mm²/m]	eff(V,T) [-]
1	Wl	Vz	8.0	1.00	0.29	0.00	2052	0.03
1	Wl	T (B)	T=0.0	tef=0.06		0.00		0.00
		Kombination				0.00		0.03

#### Gebrauchstauglichkeitsnachweis Brückenplatte 6.2

## Begrenzung der Rissbreiten

#### Bewehrung B500B

Erwartende Rissbewehrung in mm:

$$d_{L oben} := 26mm$$

$$d_{L\_oben} \coloneqq 26mm \qquad \qquad d_{L\_unten} \coloneqq 26mm \qquad \qquad d_{Q} \coloneqq 14mm$$

$$d_O := 14mm$$

Stababstand in mm:

$$s_{I-oben} := 100mm$$

$$s_{L\_oben} := 100 mm$$
  $s_{L\_unten} := 100 mm$ 

$$d_{L} := \frac{d_{L\_oben} + d_{L\_unten}}{2} = 26 \cdot mm$$

Bemessungswert der Fliessgrenze von Betonstahl:

nze von Betonstahl: SIA 262 Tab. 5  

$$f_{sd} := 435 \frac{N}{mm^2}$$
 SIA 262 2.3.2.5

Mittelwert des Elastizitätsmoduls von Betonstahl:

$$E_s := 205 \frac{kN}{mm^2}$$

Beton C30/37

SIA 2623.1.2.2.5

Mittelwert der Betonzugfestigkeit:

$$f_{\text{ctm}} := 2.9 \frac{N}{\text{mm}^2}$$

95%-Fraktilwert der Betonzugfestigkeit

$$f_{ctk0.95} := 1.3 \cdot f_{ctm} = 1.3 \cdot 2.9 \cdot \frac{N}{mm^2}$$

Bauteilstärke:  $t_c := 500 \text{mm}$ 

Bewehrungsüberdeckung:  $c_{nom} := 55mm$ 

Statische Höhe

$$d := t_{c} - c_{nom} - \frac{d_{L}}{2} - d_{Q} = 500 \cdot mm - 55 \cdot mm - \frac{0.026 \cdot m}{2} - 14 \cdot mm = 418 \cdot mm$$

Nachweis pro m'

$$b_c := 1.0$$
  $A_c := b_c \cdot d = 0.4 \cdot \frac{m^2}{m}$ 

Beiwert zur Berücksichtigung der Abmessungen des

$$k_{t} := \frac{1}{1 + 0.5 \cdot \frac{t_{c}}{3} \cdot \frac{1}{m}} = \frac{1}{1 + 0.5 \cdot \frac{500 \cdot \text{mm}}{3} \cdot \frac{1}{m}} = 0.9$$

Bemessungswert der Betondruckfestigkeit:

$$f_{ctd} := k_t \cdot f_{ctm} = 2.677 \cdot \frac{N}{mm^2}$$

$$f_{ctd} = k_t \cdot f_{ctk0.95} = 3.5 \cdot \frac{N}{mm^2}$$

### Begrenzen der Rissbreiten unter aufgezwungenen oder behinderten Verformungen

- nominelle Rissbreite: w<sub>nom</sub> := 0.5mm
   SIA 262-C1, Tabelle 17
- Zulässige Spannung zur Begrenzung der nominellen Rissbreite zum Zeitpunkt der Rissbildung:

$$\sigma_{s\_adm\_aufgez\_Verform} := \sqrt{\frac{9 \cdot E_s \cdot f_{ctm} \cdot w_{nom}}{d_L}} = \sqrt{\frac{9 \cdot 205 \cdot \frac{kN}{mm^2} \cdot 2.9 \cdot \frac{N}{mm^2} \cdot 0.5 \cdot mm}{0.026 \cdot m}} = 320.8 \cdot \frac{N}{mm^2}$$

erforderliche Mindestbewehrung:

$$a_{s\_min\_erf\_aufgez\_Verform} := \frac{f_{ctd\_Zwangsbeanspruchung} \cdot A_{c}}{\sigma_{s\_adm\_aufgez\_Verform}} = 4535 \cdot \frac{mm^2}{m}$$

Gewählte Mindestbewehrung (oben +unten):

$$a_{\text{s\_min\_gew\"{a}hlt}} := \frac{\pi \cdot d_{\text{L\_oben}}^2}{4} \cdot \frac{1}{^{\text{s}}\text{L\_oben}} + \frac{\pi \cdot d_{\text{L\_unten}}^2}{4} \cdot \frac{1}{^{\text{s}}\text{L\_unten}} = 10618.6 \cdot \frac{mm^2}{m}$$

$$a_{s\_min\_gew\"{a}hlt} = 10619 \cdot \frac{mm^2}{m}$$

$$\label{eq:mindest_Bewehrung_Zwängungen} \mbox{$=$ $"i.O"$ if $2 \cdot a_{s\_min\_erf\_aufgez\_Verform$} \le a_{s\_min\_gew\"{a}hlt}$} \\ \mbox{$"nicht i.O"$ otherwise}$$

Mindest\_Bewehrung\_Zwängungen = "i.O"

# 6.2.2 Rissbreiten Quasi-ständige Lastfälle

# 6.2.2.1 Schnittkräfte der Quasi-ständigen Lastfälle

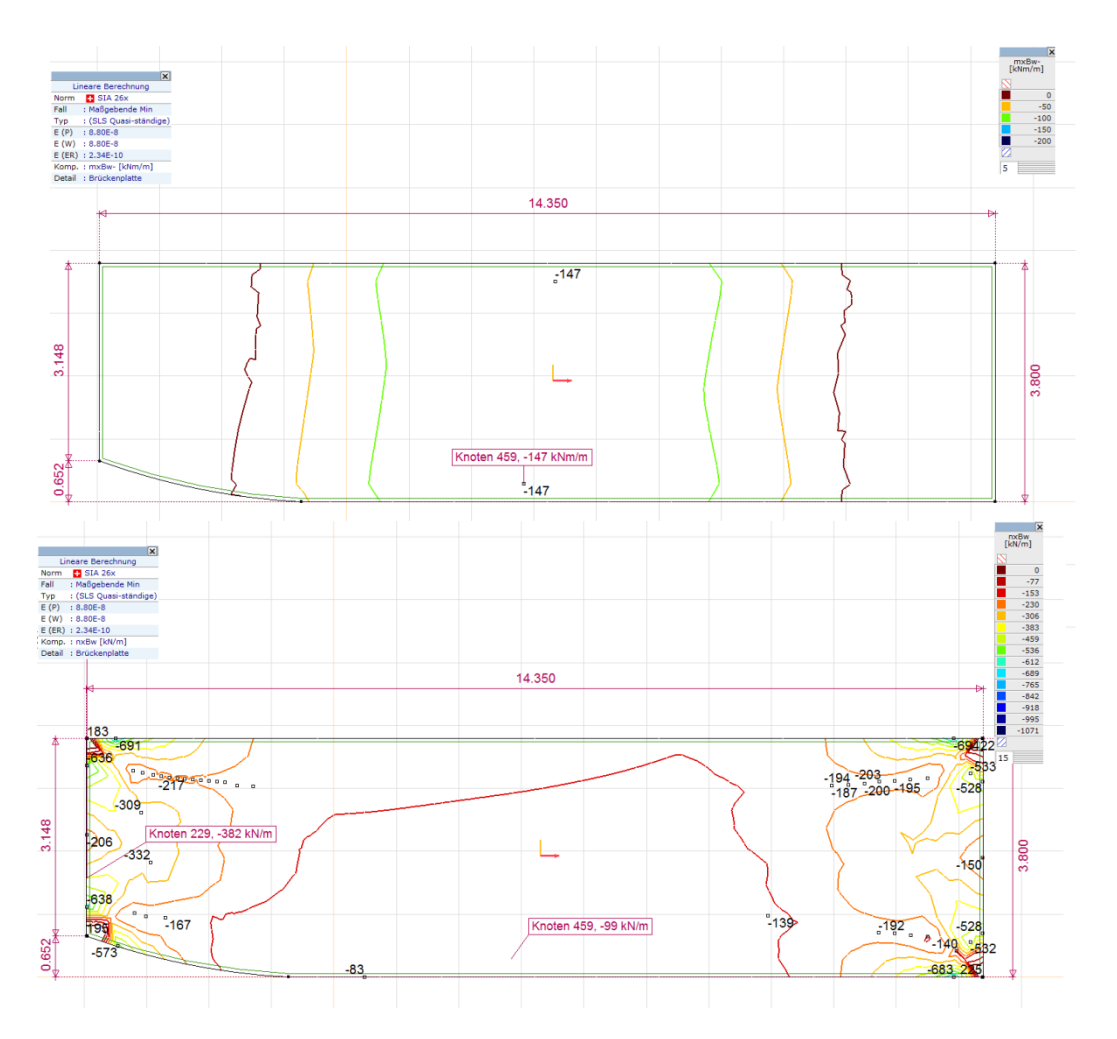


Abbildung 31 Massgebende Schnittkräfte mxBw und nxBw infolge quasi-ständiger Lastfall

	Knoten	K	min. max.	WZ	nxBw	nyBw	mxBw+	mxBw-	myBw+	myBw-
				[kN/m]	[kN/m]	[kN/m]	[kNm/m]	[kNm/m]	[kNm/m]	[kNm/m]
Ī										
	459	mxBw+	min	-5	-97	-1	0	-147	1	-2

Tabelle 6 Massgebende Schnittkräfte mxBw und nxBw- infolge quasi-ständiger Lastfall

Maßg	jebende	e Lastkombination									
EL	AL	Effektiver Erddruck und Verdichtungsdruck	ED_Bahnlast ED_Schlingerkraft		Erdauflast_ Fundament		Wasserauflast	LM1	Wind	Temp_oben_kalt	Temp_oben_warm
1	1	1	1	1	1	1	1	-	-	-	0.5

Tabelle 7 Lastkombination der massgebende Schnittkräfte infolge quasi-ständiger Lastfall

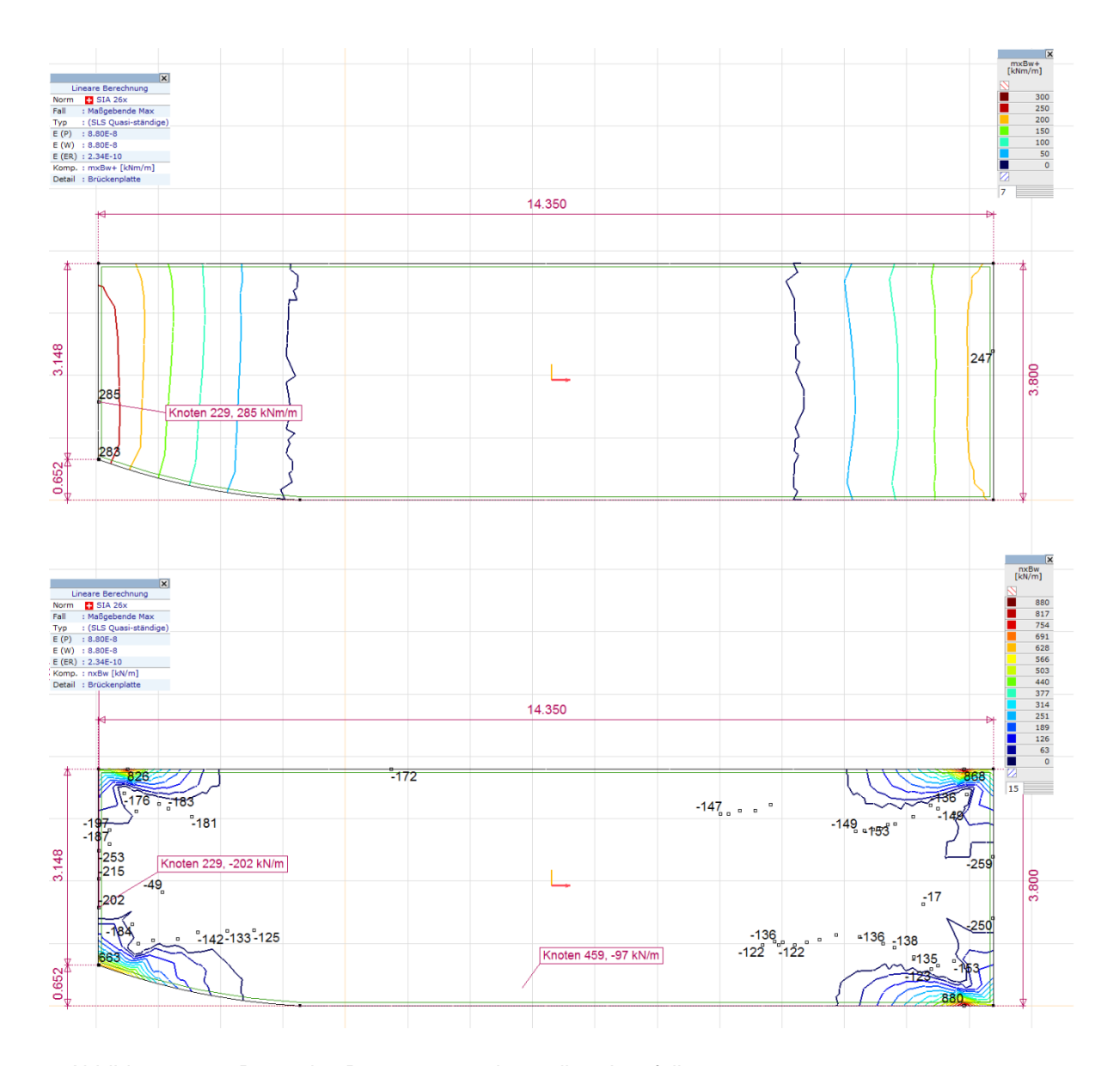


Abbildung 32 mxBw und nxBw -max quasi-ständiger Lastfall

Knoten	K				,			•	myBw-
			[kN/m]	[kN/m]	[kN/m]	[kNm/m]	[kNm/m]	[KINM/M]	[kNm/m]
229		max	-155	-351	798	285	0	55	0

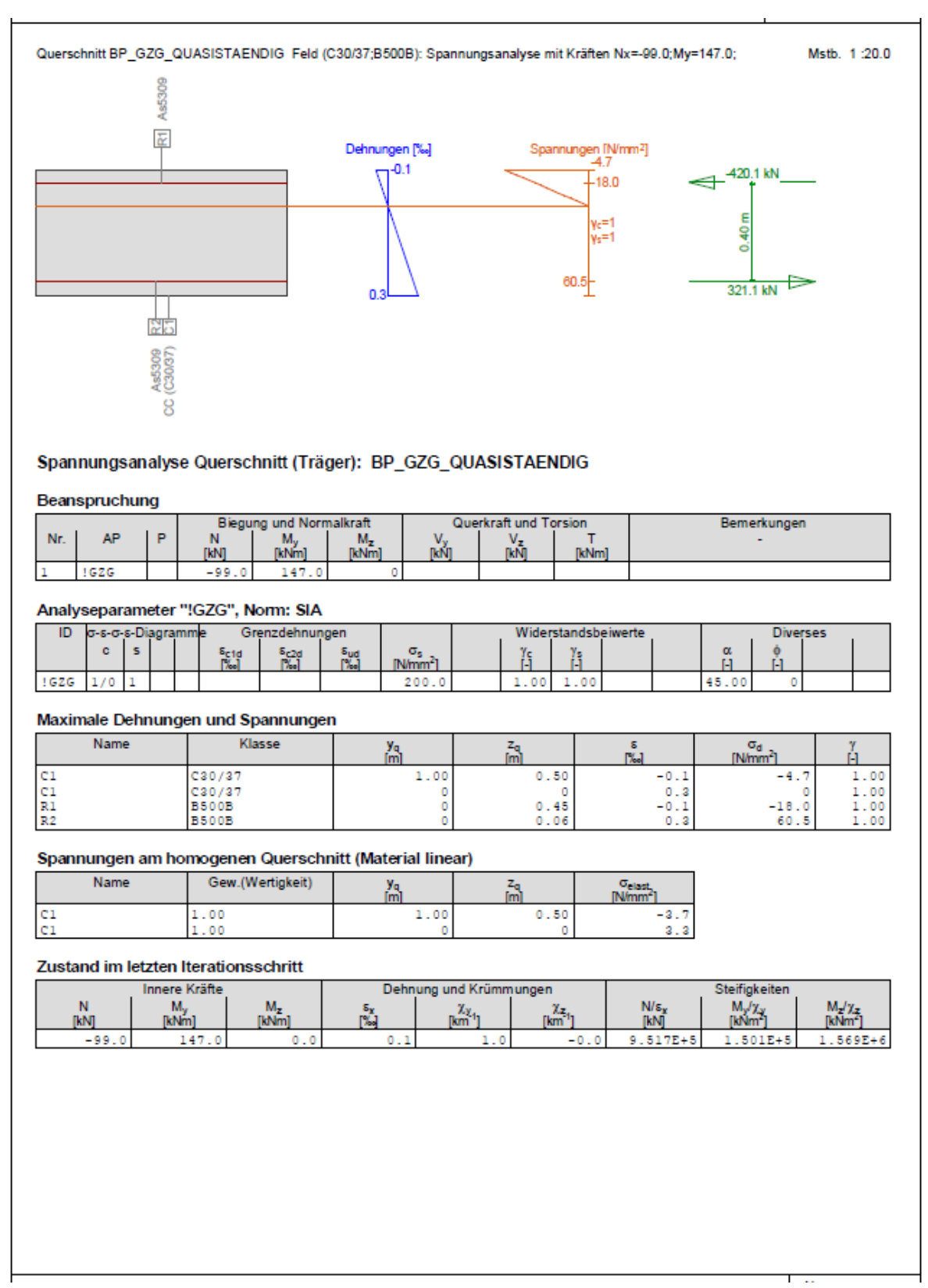
Tabelle 8 Massgebende Schnittkräfte mxBw und nxBw+ infolge quasi-ständiger Lastfall

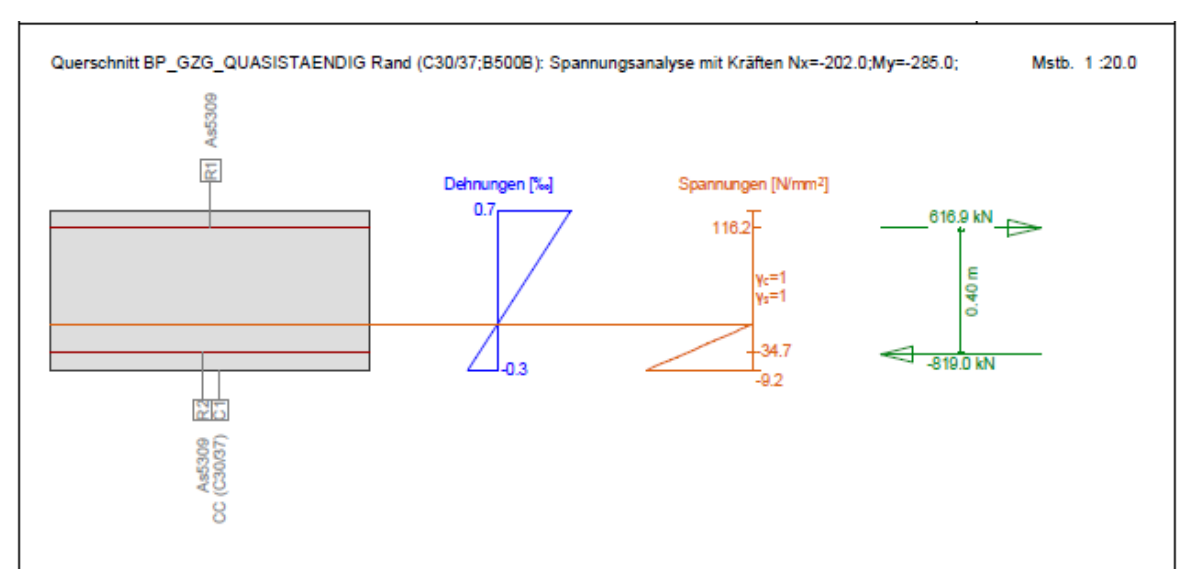
Maßge	ebende	e Lastkombination									
EL		Effektiver Erddruck und Verdichtungsdruck	ED_Bahnlast ED_Schlingerkraft		Erdauflast_ Fundament		Wasserauflast	LM1	Wind	Temp_oben_kalt	Temp_oben_warm
1	1	1	1	1	1	1	1	-	-	0.5	-

Tabelle 9 Lastkombination der massgebende Schnittkräfte mxBw und nxBw+ infolge quasiständiger Lastfall

### 6.2.2.2 Spannungsanalyse der Quasi-ständigen Lastfälle

Die ermittelten Stahlspannungen werden in Kap. 6.2.2.3 berücksichtigt.





### Spannungsanalyse Querschnitt (Träger): BP\_GZG\_QUASISTAENDIG

#### Beanspruchung

			Biegu	ng und Norn	nalkraft	Que	rkraft und To	orsion	Bemerkungen
Nr.	AP	Р	N [kN]	M <sub>y</sub> [kNm]	M <sub>z</sub> [kNm]	V <sub>y</sub> [kN]	V <sub>z</sub> [kN]	T [kNm]	•
				•		[KIV]	[KIN]	[KINIII]	
1	!GZG	l	-202.0	-285.0	0				

#### Analyseparameter "!GZG", Norm: SIA

ID	σ-ε-σ-	ε-Di	agra	mm	e Gre	enzdehnur	ngen		Wider	standsb	eiwerte		Diver	ses	
	С	5			Sc1d [%]	5 <sub>c2d</sub> [%]	S <sub>ud</sub>	σ <sub>s</sub> IN/mm <sup>2</sup> 1	Yc I-1	γ <sub>s</sub>		α [-]	φ [-]		
!GZG	1/0	1			[ No.	[ 700]	1700	200.0	1.00	1.00		45.00	0		

### Maximale Dehnungen und Spannungen

Name	Klasse	y₀ [m]	z <sub>q</sub> [m]	8 [‰]	σ <sub>d</sub> [N/mm²]	γ [-]
C1	C30/37	0	0	-0.3	-9.2	1.00
C1	C30/37	1.00	0.50	0.7	0	1.00
R2	B500B	0	0.06	-0.2	-34.7	1.00
R1	B500B	0	0.45	0.6	116.2	1.00

### Spannungen am homogenen Querschnitt (Material linear)

Name	Gew.(Wertigkeit)	y <sub>q</sub> [m]	z <sub>q</sub> [m]	σ <sub>elast</sub> [N/mm²]
Cl	1.00	0	0	-7.2
C1	1.00	1.00	0.50	6.4

#### Zustand im letzten Iterationsschritt

	Innere Kräfte		Dehn	ung und Krümm	ungen	Steifigkeiten			
N [kN]	M <sub>y</sub> [kNm]	M <sub>z</sub> [kNm]	ε <sub>χ</sub> [‰]	χ <sub>χ,1</sub> [km <sup>-1</sup> ]	χ <sub>z,</sub> [km <sup>-1</sup> ]	N/s <sub>x</sub> [kN]	M <sub>y</sub> /χ <sub>y</sub> [kNm²]	M <sub>z</sub> /χ <sub>z</sub> [kNm²]	
-202.0	-285.0	-0.0	0.2	-1.9	0.0	1.021E+6	1.513E+5	4.591E+5	

# 6.2.2.3 Begrenzen der Rissbreiten für Quasi-ständige Lastfälle

### Begrenzen der Rissbreiten für Quasi-ständige Lastfälle

$$G_k, P_k, \psi_{2i}, Q_{ki}, X_d, a_d$$
 }

· Biegebeanspruchung:

$$n_{\mbox{Ed\_quasi\_st\"{a}ndig\_Feld}} := -99 \frac{kN}{m} \qquad \qquad m_{\mbox{Ed\_quasi\_st\"{a}ndig\_Feld}} := -147 \frac{kN \cdot m}{m}$$

$$^{n}$$
Ed\_quasi\_ständig\_Rand :=  $-202 \frac{kN}{m}$   $^{m}$ Ed\_quasi\_ständig\_Rand :=  $285 \frac{kN \cdot m}{m}$ 

· vorhandene Spannung im Stahl infolge der Biegebeanspruchung:

$$\sigma_{s\_quasi\_st\"{a}ndig\_Feld} \coloneqq 60.5 \frac{N}{mm^2}$$

$$\sigma_{s\_quasi\_ständig\_Rand} := 116.2 \frac{N}{mm^2}$$

$$\sigma_{s\_quasi\_ständig} := max(|\sigma_{s\_quasi\_ständig\_Feld}|, |\sigma_{s\_quasi\_ständig\_Rand}|) = 116.2 \cdot \frac{N}{mm}$$

 Zulässige Spannung zur Begrenzug der nominellen Rissbreite zum Zeitpunkt der Rissbildung:

$$\sigma_{s\_adm\_quasi\_st\"{a}ndig} := \sqrt{\frac{9 \cdot E_s \cdot f_{ctm} \cdot w_{nom}}{^d L}} = 320.8 \cdot \frac{N}{mm^2}$$

$$Nachweis\_Spannung\_quasi\_ständig := \begin{array}{ll} "i.O" & if & \sigma_{s\_quasi\_ständig} \leq \sigma_{s\_adm\_quasi\_ständig} \\ & "nicht i.O" & otherwise \\ \end{array}$$

Nachweis\_Spannung\_quasi\_ständig = "i.O"

# 6.2.3 Rissbreiten Häufiger Lastfall

# 6.2.3.1 Schnittkräfte der Häufigen Lastfälle

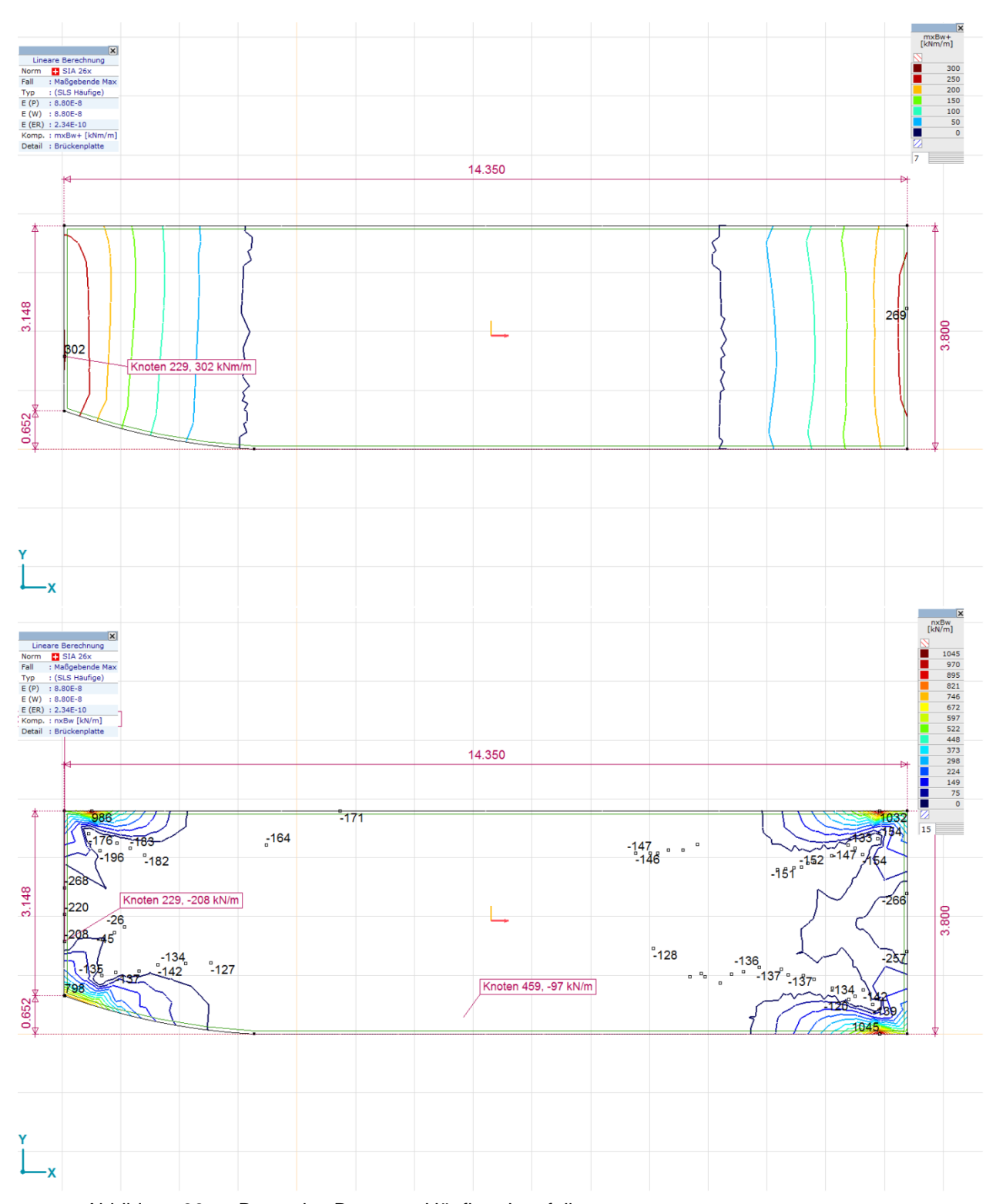


Abbildung 33 mxBw und nxBw -max Häufiger Lastfall

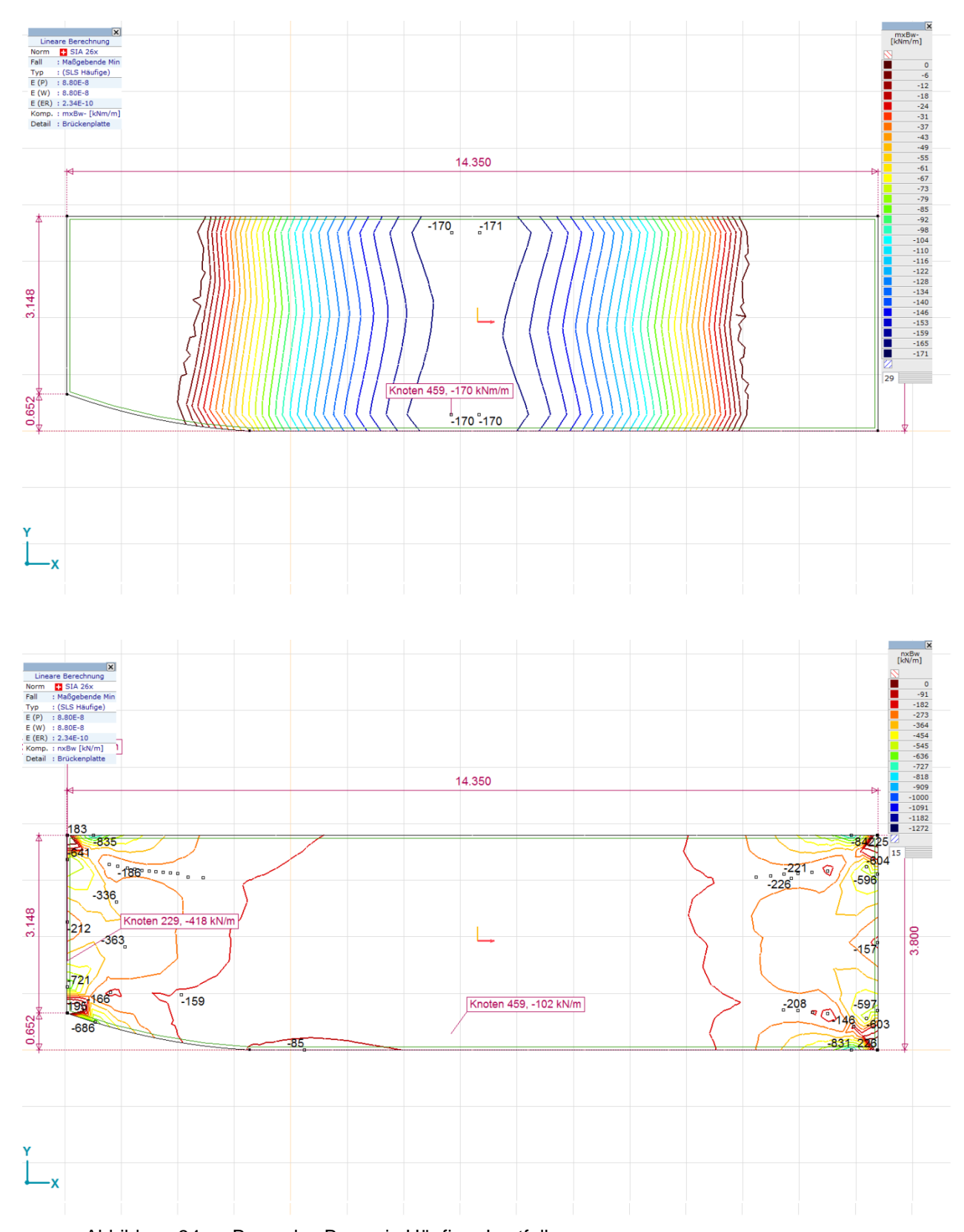
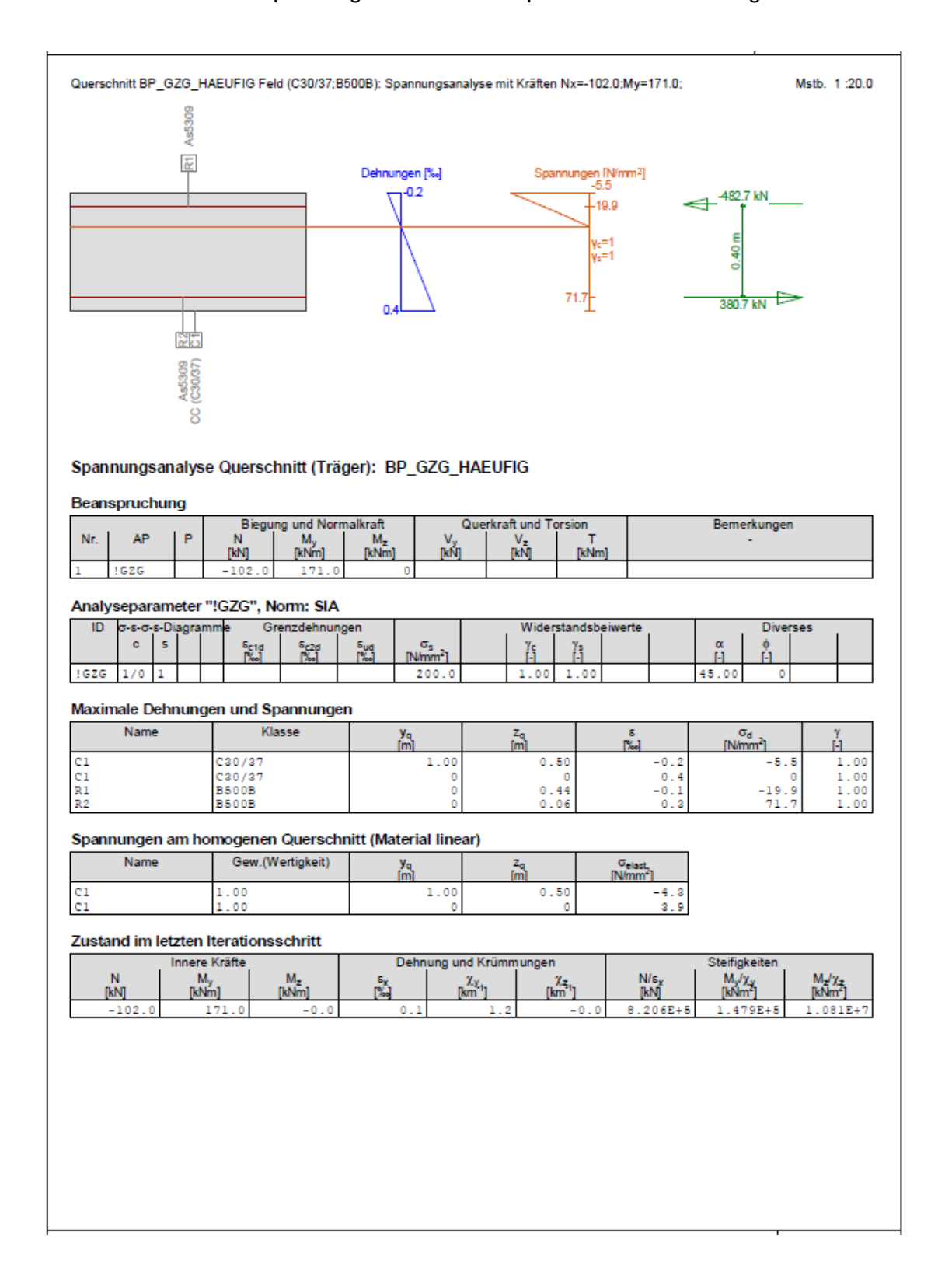
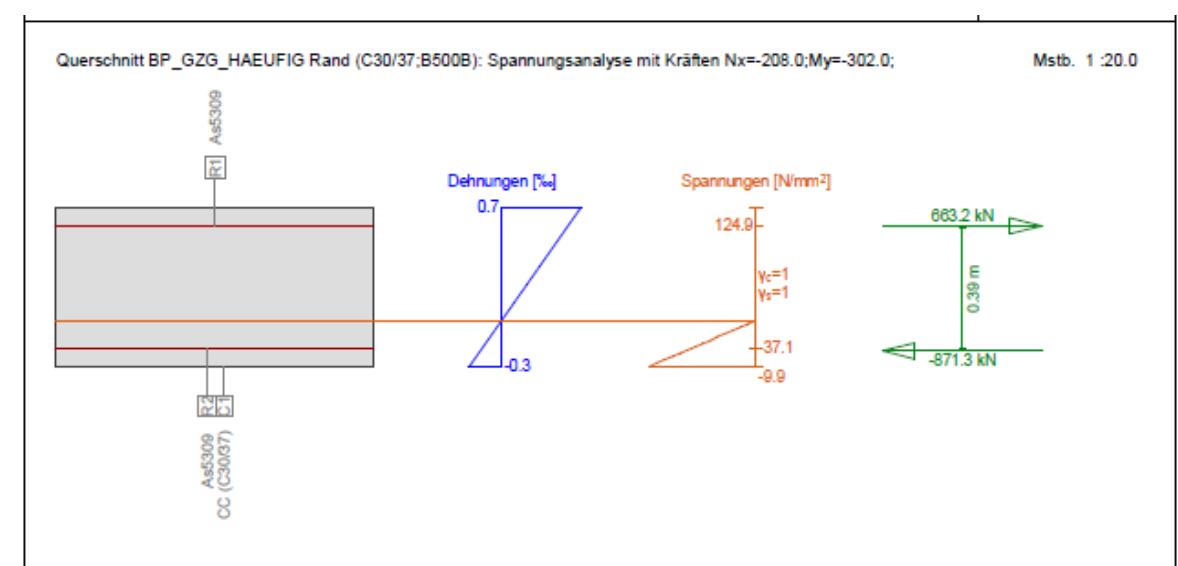


Abbildung 34 mxBw und nxBw -min Häufiger Lastfall

### 6.2.3.2 Spannungsanalyse Häufiger Lastfall

Die ermittelten Stahlspannungen werden in Kap. 6.2.3.3 berücksichtigt.





### Spannungsanalyse Querschnitt (Träger): BP\_GZG\_HAEUFIG

#### Beanspruchung

				Biegu	ng und Norn	nalkraft	Que	rkraft und To	orsion	Bemerkungen
N	r.	AP	Р	N	My	Mz	V <sub>y</sub>	V <sub>z</sub>	T	
				[kN]	[kNm]	[kNm]	[kŃ]	[kN]	[kNm]	
1	16	GZG		-208.0	-302.0	0				

### Analyseparameter "!GZG", Norm: SIA

ID	σ-ε-σ-	s-Di	agra	mm	e Gre	enzdehnur	ngen		Wider	standsb	eiwerte		Diver	ses	
	С	5			ε <sub>c1d</sub> [‰]	8 <sub>c2d</sub> [%]	S <sub>ud</sub>	σ <sub>s</sub> [N/mm²]	γ <sub>c</sub> [-]	γ <sub>s</sub> [-]		α [-]	ф [-]		
!GZG	1/0	1						200.0	1.00	1.00		45.00	0		

### Maximale Dehnungen und Spannungen

Name	Klasse	<b>у</b> q [m]	Z <sub>0</sub>	8 [%a]	σ <sub>d</sub> [N/mm²]	y Fi
C1	C30/37	0	0	-0.3	-9.9	1.00
C1	C30/37	1.00	0.50	0.7	0	1.00
R2	B500B	0	0.06	-0.2	-37.1	1.00
R1	B500B	0	0.44	0.6	124.9	1.00

### Spannungen am homogenen Querschnitt (Material linear)

Name	Gew.(Wertigkeit)	y₀ [m]	Z <sub>q</sub> [m]	σ <sub>elast</sub> [N/mm²]
Cl	1.00	0	0	-7.7
Cl	1.00	1.00	0.50	6.8

#### Zustand im letzten Iterationsschritt

	Innere Kräfte		Dehn	ung und Krümm	nungen	Steifigkeiten				
N [kN]	M <sub>y</sub> M <sub>z</sub> [kNm]		ε <sub>χ</sub> [‰]	χ <sub>χ,1</sub> [km <sup>-1</sup> ]	χ <sub>z,1</sub> [km <sup>-1</sup> ]	N/s <sub>x</sub> [kN]	M <sub>y</sub> /χ <sub>y</sub> [kNm²]	M <sub>z</sub> /χ <sub>z</sub> [kNm²]		
-208.0	-302.0	-0.0	0.2	-2.0	0.0	9.549E+5	1.477E+5	4.171E+5		

#### Begrenzen der Rissbreite für Häufige Lastfälle 6.2.3.3

### Begrenzen der Rissbreiten häufige Lastfälle

$$\begin{aligned} & \mathbf{G}_k, \mathbf{P}_k, \psi_{11} \cdot \mathbf{Q}_{k1}, \psi_{2i} \cdot \mathbf{Q}_{ki}, \mathbf{X}_d, \mathbf{a}_d \quad \} \\ & \bullet \quad \text{Biegebeanspruchung:} \end{aligned}$$

$$n_{\mbox{Ed\_h\"{a}ufig\_Feld}} := -102 \, \frac{\mbox{kN}}{\mbox{m}} \qquad \qquad m_{\mbox{Ed\_h\"{a}ufig\_Feld}} := 171 \, \frac{\mbox{kN} \cdot \mbox{m}}{\mbox{m}}$$

$${}^{n}\text{Ed\_h\"{a}ufig\_Rand} := -208 \, \frac{kN}{m} \qquad \qquad {}^{m}\text{Ed\_h\"{a}ufig\_Rand} := 302 \, \frac{kN \cdot m}{m}$$

vorhandene Spannung im Stahl infolge der Biegebeanspruchung:

$$\sigma_{s\_h\ddot{a}ufig\_Feld} := 71.7 \frac{N}{mm^2}$$

$$\sigma_{s\_h\ddot{a}ufig\_Rand} := 124.9 \frac{N}{mm^2}$$

$$\sigma_{s\_h\ddot{a}ufig} \coloneqq max\Big(\left|\sigma_{s\_h\ddot{a}ufig\_Feld}\right|, \left|\sigma_{s\_h\ddot{a}ufig\_Rand}\right|\Big) = 124.9 \cdot \frac{N}{mm^2}$$

Zulässige Spannung zur Begrenzung der nominellen Rissbreite zum Zeitpunkt der

$$f_{sd} - 80 \frac{N}{mm^2} = 435 \cdot \frac{N}{mm^2} - 80 \cdot \frac{N}{mm^2} = 355 \cdot \frac{N}{mm^2}$$

$$Nachweis\_Spannung\_häufig := \begin{array}{c} \text{"i.O"} \quad \text{if } \ \sigma_{s\_h\ddot{a}ufig} \leq f_{sd} - 80 \frac{N}{mm^2} \\ \\ \text{"nicht i.O"} \quad \text{otherwise} \end{array}$$

Nachweis\_Spannung\_häufig = "i.O"

# 6.2.4 Begrenzung der Durchbiegung

# 6.2.4.1 Durchbiegung im ungerissenen Zustand infolge Quasi-ständiger Lastfälle

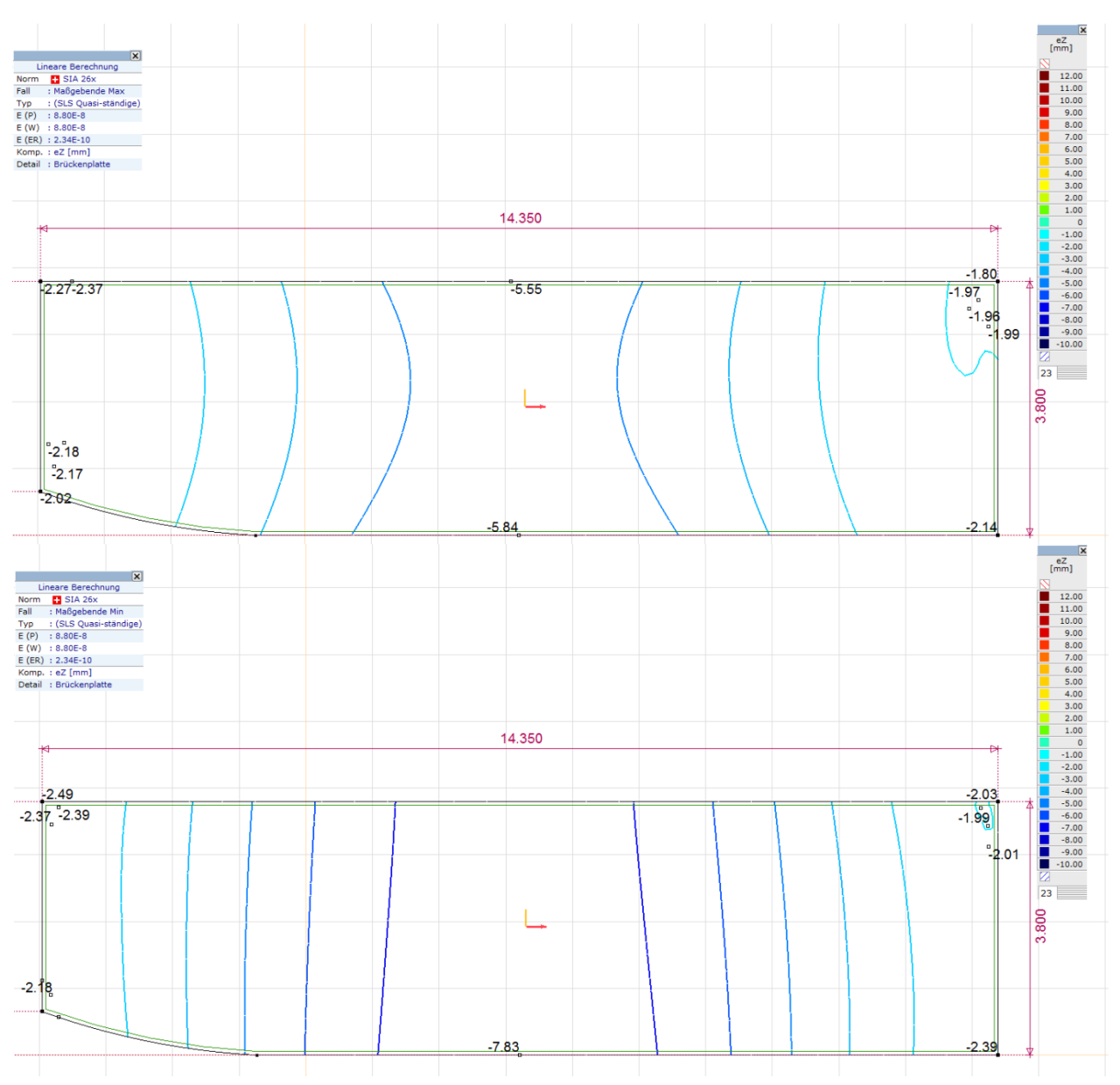


Abbildung 35 Durchbiegung im ungerissenen Zustand infolge quasi-ständiger Lastfälle

### 6.2.4.2 Durchbiegung im gerissenen Zustand infolge Quasi-ständiger Lastfälle

### Gebrauchstauglichkeitsnachweis SIA 260 Tabelle 9

Zulässige Verformungen

Spannweite:  $\chi = 14.35 \text{m}$ 

$$w_{zul\_quasi\_ständig} := \frac{1}{700}$$
  $w_{zul\_quasi\_ständig} = 20.5 \cdot mm$ 

• Rissmoment  $m_{cr} = W \cdot f_{ctd}$ 

Wandstärke: t;= 0.5m

wirksame Breite (Nachweis pro 1m')

Faktor zur Berücksichtigung der Abmessungen:

$$k_t := \frac{1}{1 + 0.5 \cdot \frac{t}{3} \cdot \frac{1}{m}} = \frac{1}{1 + 0.5 \cdot \frac{0.5 \cdot m}{3} \cdot \frac{1}{m}} = 0.923$$

Charakteristischer Wert der Betondruckfestigkeit C30/37:

$$f_{ctm} := 2.90 \frac{N}{mm^2}$$
 SIA 262 Tab. 3

Bemessungswert der Betondruckfestigkeit:

$$f_{ctd} := k_t \cdot f_{ctm}$$
  $f_{ctd} = 2.7 \cdot \frac{N}{mm^2}$ 

Widerstandsmoment:

$$W := \frac{b \cdot t^2}{6} = \frac{1.0 \cdot m \cdot (0.5 \cdot m)^2}{6} = 0.04167 \cdot m^3$$

$$\mathbf{m}_{cr} \coloneqq \mathbf{W} \cdot \mathbf{f}_{ctd} \qquad \qquad \mathbf{m}_{cr} = 111.5 \cdot \mathbf{k} \mathbf{N} \cdot \mathbf{m}$$

Einwirkendes Moment:  $m_{Ed} := 285 \text{kN} \cdot \text{m}$ 

$$\label{eq:Beton:meta} \begin{aligned} \text{Beton} := & & \text{"gerissener\_Zustand"} & \text{if } & m_{Ed} \geq m_{cr} \\ & & \text{"ungerissener\_Zustand"} & \text{if } & m_{Ed} < m_{cr} \\ \end{aligned}$$

Beton = "gerissener\_Zustand"

 Durchbiegung im ungerissenen Zustand infolge quasi-ständiger Lastfälle (Output des Prpgramms AxisVM):

$$G_k, P_k, \psi_{2i}, Q_{ki}, X_d, a_d$$
  $w_c := 7.83 \text{mm} - 2.18 \text{mm} = 5.65 \text{ mm}$ 

· Verformungen im ungerissenen Zustand infolge Kriechen:

SIA 262 4.4.3.2.4

Kriechzahl:

$$\mathbf{w}_{c\varphi} := \mathbf{w}_{c} \cdot (1 + \varphi) = 0.00565 \cdot \mathbf{m} \cdot (1 + 2.0)$$
  
 $\mathbf{w}_{c\varphi} = 16.95 \cdot \mathbf{mm}$ 

 Verformungen im gerissenen Zustand mit Berücksichtigung des Kriechens
 SIA 262 4.4.3.2.5

$$w = \frac{1 - 20 \cdot \rho'}{10 \cdot \rho^{0.7}} \cdot (0.75 + 0.1 \cdot \varphi) \cdot \left(\frac{h}{d}\right)^3 \cdot w_c$$

Gewählte Bewehrung in der Zugzone:

$$a_{s\_Zug} = 5309 \text{mm}^2$$

Gewählte Bewehrung in der Druckzone:

$$a_{s\_Druck} := 5309 \text{mm}^2$$

Statische Höhe:

$$d := t - 55mm - 14mm - \frac{26mm}{2} = 418 \cdot mm$$

geometrischer Bewehrungsgehalt der Zugzone:

$$\rho := \frac{a_{s\_Zug}}{b \cdot d} = \frac{5309 \cdot mm^2}{1.0 \cdot m \cdot 0.418 \cdot m} = 0.012701$$

geometrischer Bewehrungsgehalt der Druckzone:

$$\rho' := \frac{a_{s\_Druck}}{b_{rd}} = \frac{5309 \cdot mm^2}{1.0 \cdot m \cdot 0.418 \cdot m} = 0.012701$$

$$w := \frac{1 - 20 \cdot \rho'}{10 \cdot \rho^{0.7}} \cdot (0.75 + 0.1 \cdot \phi) \cdot \left(\frac{h}{d}\right)^3 \cdot w_c = \frac{1 - 20 \cdot \rho'}{10 \cdot \rho^{0.7}} \cdot (0.75 + 0.1 \cdot 2.0) \cdot \left(\frac{0.5 \cdot m}{0.418 \cdot m}\right)^3 \cdot 0.00565 \cdot m$$
 
$$w = 14.56 \cdot mm$$

Durchbiegung im gerissenen Zustand mit Berücksichtigung des Kriechens

SIA 262 4.4.3.2.6

$$w_{erwartende\_Verformungen} := \frac{w + w_c}{2} = 10 \cdot mm$$

Nachweis

$$\label{eq:Verformungen} \mbox{Verformungen} := \begin{tabular}{ll} "i.O" & if & $w_{erwartende\_Verformungen} \le w_{zul\_quasi\_ständig} \\ "zul. & Wert ist "uberschritten" & otherwise \\ \end{tabular}$$

### Literatur:

- Betonbau Bemessungsbeispiele zur Norm SIA 262, 2003 S. 38 39
- SIA 260, 2013

# 6.2.4.3 Durchbiegung im ungerissenen Zustand infolge Häufige Lastfälle

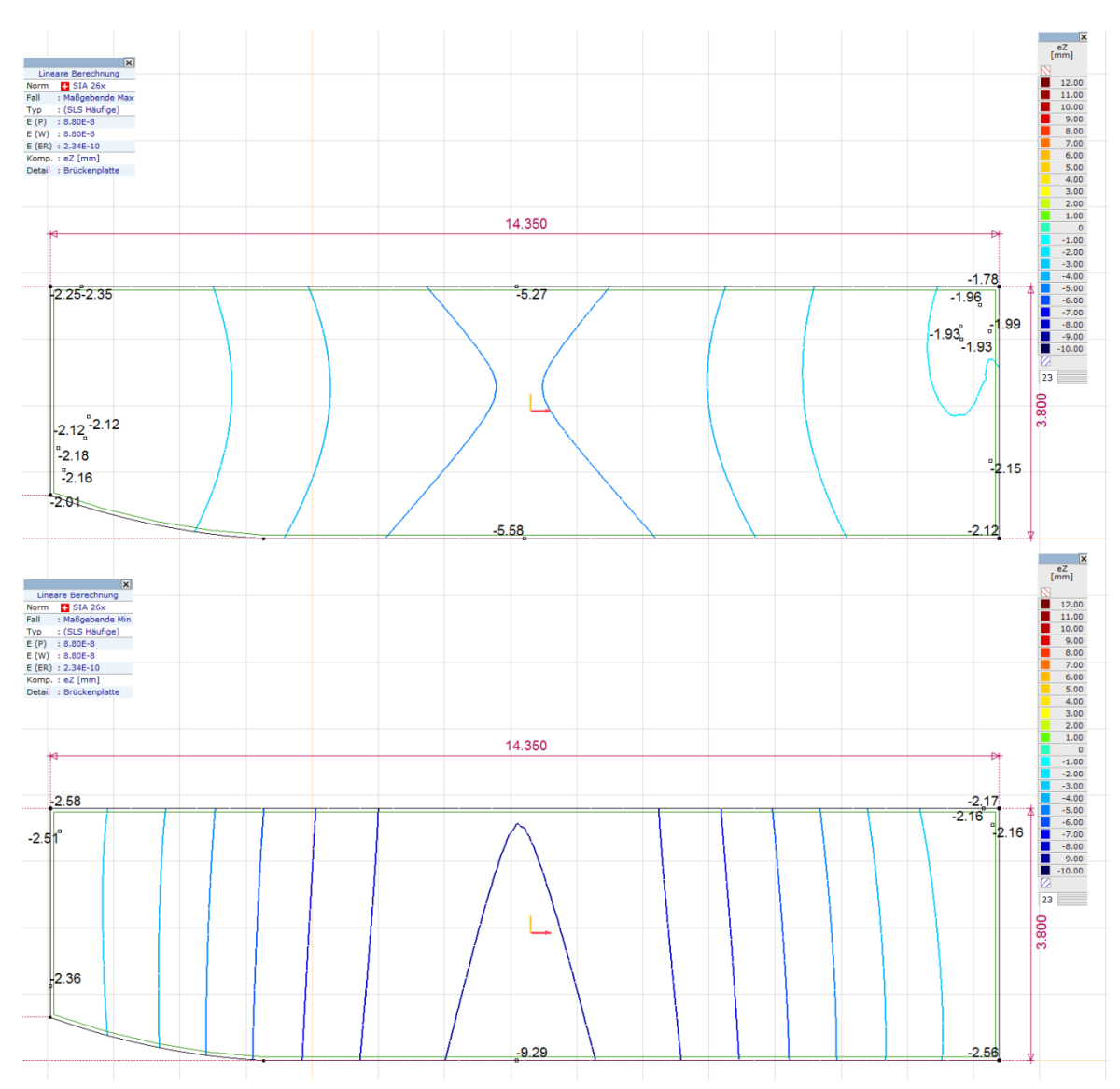


Abbildung 36 Durchbiegung im ungerissenen Zustand infolge Häufige Lastfälle

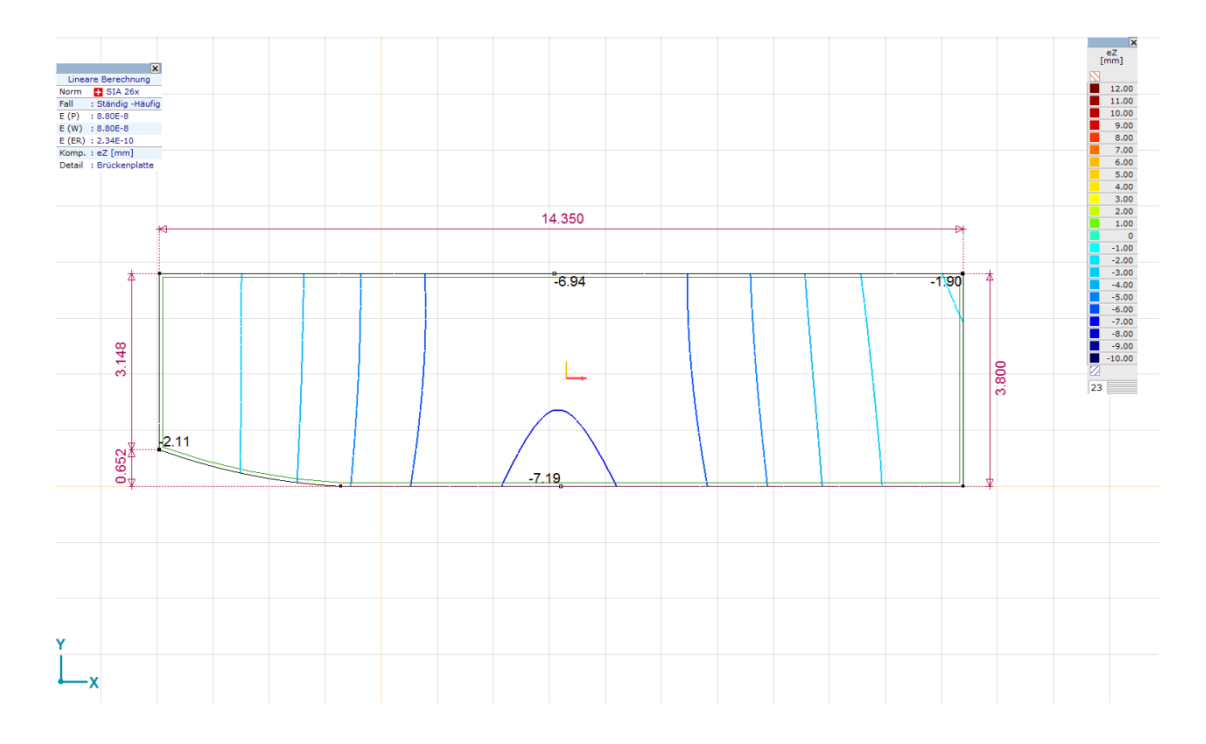


Abbildung 37 Durchbiegung im ungerissenen Zustand infolge des ständigen Anteils der Häufigen Lastfälle

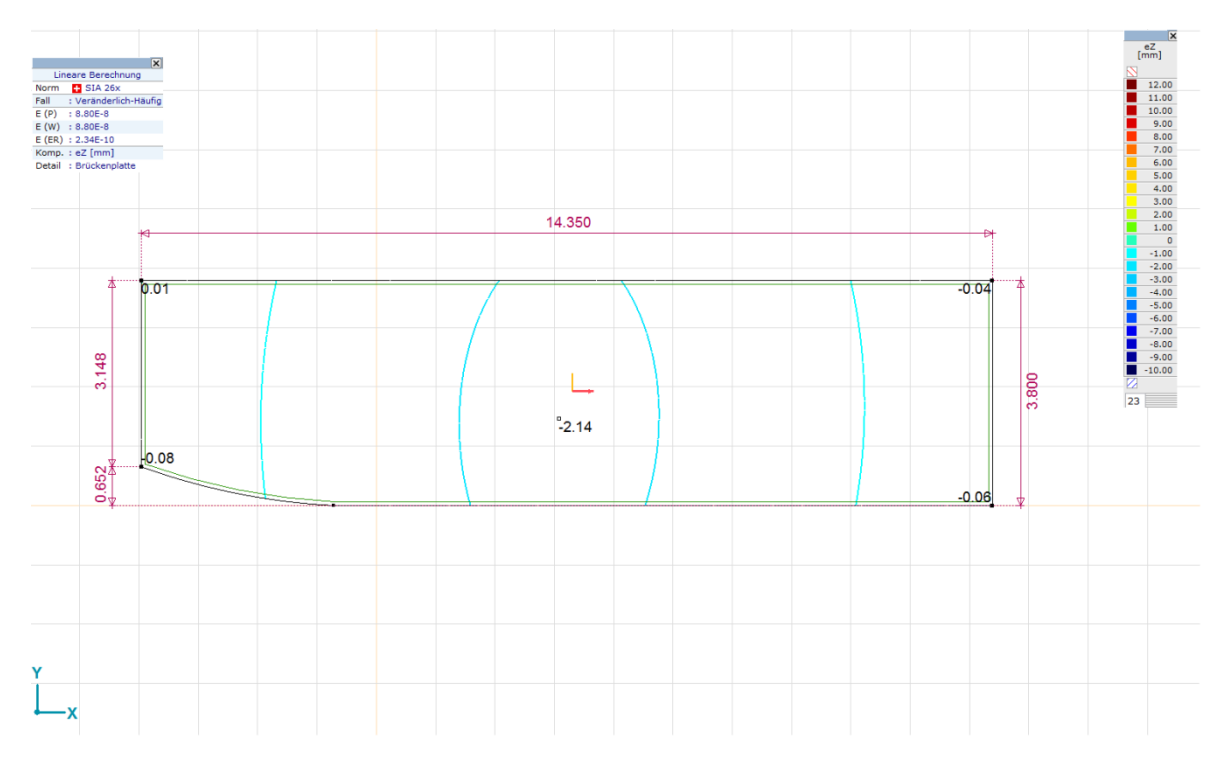


Abbildung 38 Durchbiegung im ungerissenen Zustand infolge des veränderlichen Anteils der Häufigen Lastfälle

### 6.2.4.4 Durchbiegung im gerissenen Zustand infolge Häufige Lastfälle

#### Gebrauchstauglichkeitsnachweis Tabelle 9

Zulässige Verformungen

Spannweite: 14.35m

$$w_{zul\_h\ddot{a}ufig} := \frac{1}{600}$$

<sup>4)</sup>Durchbiegung nur infolge LM1

wzul häufig = 23.92·mm

Rissmoment  $m_{cr} = W \cdot f_{ctd}$  inkl.  $\psi_1 \cdot Q_{k\_LM1}$ 

Stärke: t = 0.5m

wirksame Breite ( Nachweis pro 1m')

b := 1.0m

Faktor zur Berücksichtigung der Abmessungen:

$$\mathbf{k}_{\mathbf{t}} := \frac{1}{1 + 0.5 \cdot \frac{\mathbf{t}}{3} \cdot \frac{1}{\mathbf{m}}} = \frac{1}{1 + 0.5 \cdot \frac{0.5 \cdot \mathbf{m}}{3} \cdot \frac{1}{\mathbf{m}}} = 0.923$$

Charakteristischer Wert der Betondruckfestigkeit C30/37:

$$f_{ctm} := 2.90 \frac{N}{mm^2}$$
 SIA 262 Tab. 3

Bemessungswert der Betondruckfestigkeit:

$$f_{ctd} := k_t \cdot f_{ctm}$$
  $f_{ctd} = 2.68 \cdot \frac{N}{mm^2}$ 

Widerstandsmoment:

$$W_{v} = \frac{b \cdot t^{2}}{6} = \frac{1.0 \cdot m \cdot (0.5 \cdot m)^{2}}{6} = 0.04167 \cdot m^{3}$$

$$m_{cr} := W \cdot f_{ctd}$$
  $m_{cr} = 111.5 \cdot kN \cdot m$ 

 $\label{eq:entropy} \text{Einwirkendes Moment:} \qquad m_{Ed} \coloneqq 350 \text{kN} \cdot \text{m}$ 

$$\mbox{Beton} := \begin{array}{ll} \mbox{"gerissener\_Zustand"} & \mbox{if} & \mbox{$m_{Ed} \geq m_{cr}$} \\ \mbox{"ungerissener\_Zustand"} & \mbox{if} & \mbox{$m_{Ed} < m_{cr}$} \\ \end{array}$$

Beton = "gerissener\_Zustand"

 Durchbiegung im ungerissenen Zustand infolge h\u00e4ufiger Lastf\u00e4lle (Output des Programms AxisVM):

$$\{G_k, P_k, \psi_{11}, Q_{k1}, \psi_{2i}, Q_{ki}, X_d, a_d\}$$
  $w_c := 9.29 \text{mm} - 2.36 \text{mm}$ 

 Durchbiegung im ungerissenen Zustand infolge des veränderlichen Anteils der häufigen Lastfälle (Output des Programms AxisVM):

$$\{\psi_{11}\cdot Q_{k1}\}$$
  $w_{c,ver} := 2.4mm$ 

 Durchbiegung im ungerissenen Zustand infolge des ständigen Anteils der häufigen Lastfälle (Output des Programms AxisVM):

$$\{G_k, P_k, X_d, a_d\}$$
  $w_{c_st} := (7.19mm - 2.11mm) = 5.08 \cdot mm$ 

Verformungen im ungerissenen Zustand:

SIA 262 4.4.3.2.4

Kriechzahl: 
$$\phi:=2.0$$
 
$$w_{c\phi}:=w_c\cdot(1+\phi)=(9.29\cdot mm-2.36\cdot mm)\cdot(1+2.0)$$
 
$$w_{c\phi}=20.79\cdot mm$$

Verformungen im gerissenen Zustand mit Berücksichtigung des SIA 262 4.4.3.2.5
 Kriechens (Verformungen infolge der ständigen Einwirkungen)

$$w_{st} = \frac{1 - 20 \cdot \rho'}{10 \cdot \rho^{0.7}} \cdot (0.75 + 0.1 \cdot \varphi) \cdot \left(\frac{h}{d}\right)^3 \cdot w_c$$

 Verformungen im gerissenen Zustand (Verformungen nur infolge der veränderlichen Einwirkungen)

$$w_{\text{ver}} = \frac{1 - 20 \cdot \rho'}{10 \cdot \rho^{0.7}} \cdot (0.75) \cdot \left(\frac{h}{d}\right)^3 \cdot w_c$$

· Gewählte Bewehrung in der Zugzone:

Gewählte Bewehrung in der Druckzone:

$$a_{s\_Druck} := 5309 \text{mm}^2$$

• Statische Höhe: 
$$d:=t-55mm-14mm-\frac{26mm}{2}=418\cdot mm$$

geometrischer Bewehrungsgehalt der Zugzone:

$$\rho := \frac{a_{s} \underline{Zug}}{b \cdot d} = \frac{5309 \cdot mm^{2}}{1.0 \cdot m \cdot 0.418 \cdot m} = 0.012701$$

geometrischer Bewehrungsgehalt der Druckzone:

$$\rho' := \frac{a_s Druck}{b \cdot d} = \frac{5309 \cdot mm^2}{1.0 \cdot m \cdot 0.418 \cdot m} = 0.012701$$

Verformungen

$$w_{st} := \frac{1 - 20 \cdot \rho'}{10 \cdot \rho^{0.7}} \cdot (0.75 + 0.1 \cdot \phi) \cdot \left(\frac{h}{d}\right)^3 \cdot w_{c\_st} \\ = \frac{1 - 20 \cdot \rho'}{10 \cdot \rho^{0.7}} \cdot (0.75 + 0.1 \cdot 2.0) \cdot \left(\frac{0.5 \cdot m}{0.418 \cdot m}\right)^3 \cdot 0.00508 \cdot m \\ = 13 \cdot m \cdot \frac{1}{10 \cdot \rho^{0.7}} \cdot \left(\frac{1}{10 \cdot \rho^{0.7}} \cdot \frac{1}{10 \cdot \rho^{0.7}}$$

$$w_{\text{ver}} := \frac{1 - 20 \cdot \rho'}{10 \cdot \rho^{0.7}} \cdot (0.75) \cdot \left(\frac{h}{d}\right)^3 \cdot w_{\text{c\_ver}} = \frac{1 - 20 \cdot \rho'}{10 \cdot \rho^{0.7}} \cdot 0.75 \cdot \left(\frac{t}{0.418 \cdot \text{m}}\right)^3 \cdot 2.4 \cdot \text{mm} = 5 \cdot \text{mm}$$

$$w := w_{st} + w_{ver} = 18 \cdot mm$$

· Gesamtdurchbiegung im gerissenen Zustand

SIA 262 4.4.3.2.6

$$w_{erwartende\_Verformungen} := \frac{w + w_c}{2}$$

· Nachweis der Durchbiegung nur infolge LM1:

$$\label{eq:verification} \mbox{Verformungen} := \begin{array}{ll} \mbox{"i.O"} & \mbox{if} & \mbox{$w_{ver} \le w_{zul\_h\"{a}ufig}$} \\ \mbox{"zul. Wert ist \"{u}berschritten"} & \mbox{otherwise} \end{array}$$

### Literatur:

- Betonbau Bemessungsbeispiele zur Norm SIA 262, 2003 S. 36 37
- SIA 260, 2013

# 6.2.5 Gewählte Bewehrung für die Brückenplatte

Querbewehrung  $a_{s \text{ vorh oben}} = 1023 \text{ mm}^2/\text{m} \varnothing 14 \text{ s}=150$ 

 $a_{s \text{ vorh unten}} = 1023 \text{ mm}^2/\text{m } \varnothing 14 \text{ s} = 150$ 

Querbewehrung im Bereich der Einspannung

 $a_{s \text{ vorh oben}} = 1696 \text{ mm}^2/\text{m } \emptyset 18 \text{ s}=150$ 

 $a_{s \text{ vorh unten}} = 1696 \text{ mm}^2/\text{m } \varnothing 18 \text{ s} = 150$ 

Längsbewehrung  $a_{s \text{ vorh oben}} = 5309 \text{ mm}^2/\text{m} \varnothing 26 \text{ s} = 100$ 

 $a_{s \text{ vorh unten}} = 5309 \text{ mm}^2/\text{m } \varnothing 26 \text{ s}=100$ 

Bügelbewehrung  $a_{sw} = 4092 \text{ mm}^2/\text{m} \text{ Ø}14 \text{ s}=150 \text{ (4-schnittig)}$ 

# 6.3 Tragsicherheitsnachweis Widerlagerwände

# 6.3.1 Massgebende Schnittkräfte Widerlagerwände

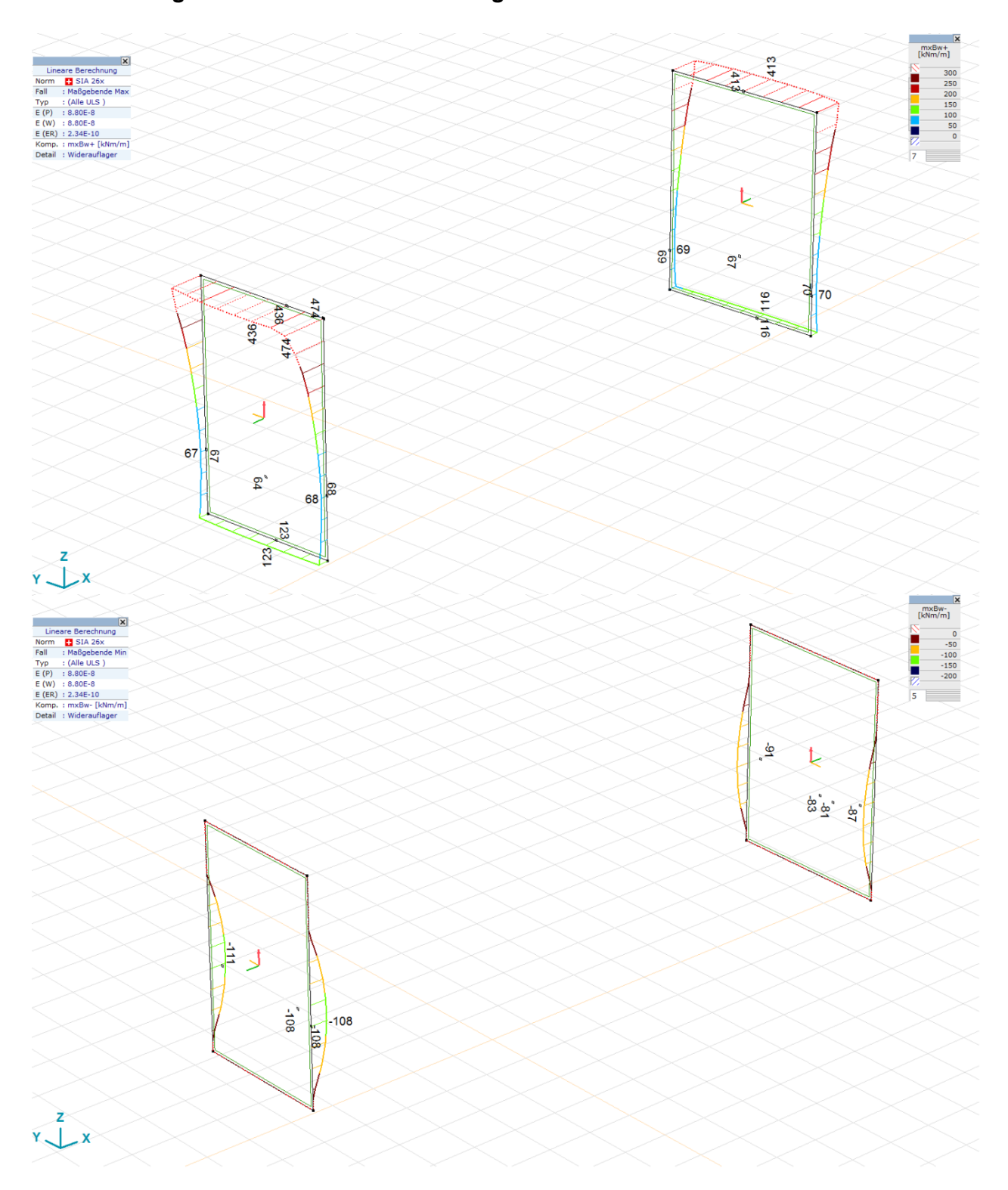


Abbildung 39 Massgebende max, mxBw+ und min, mxBw Wandwiderlager

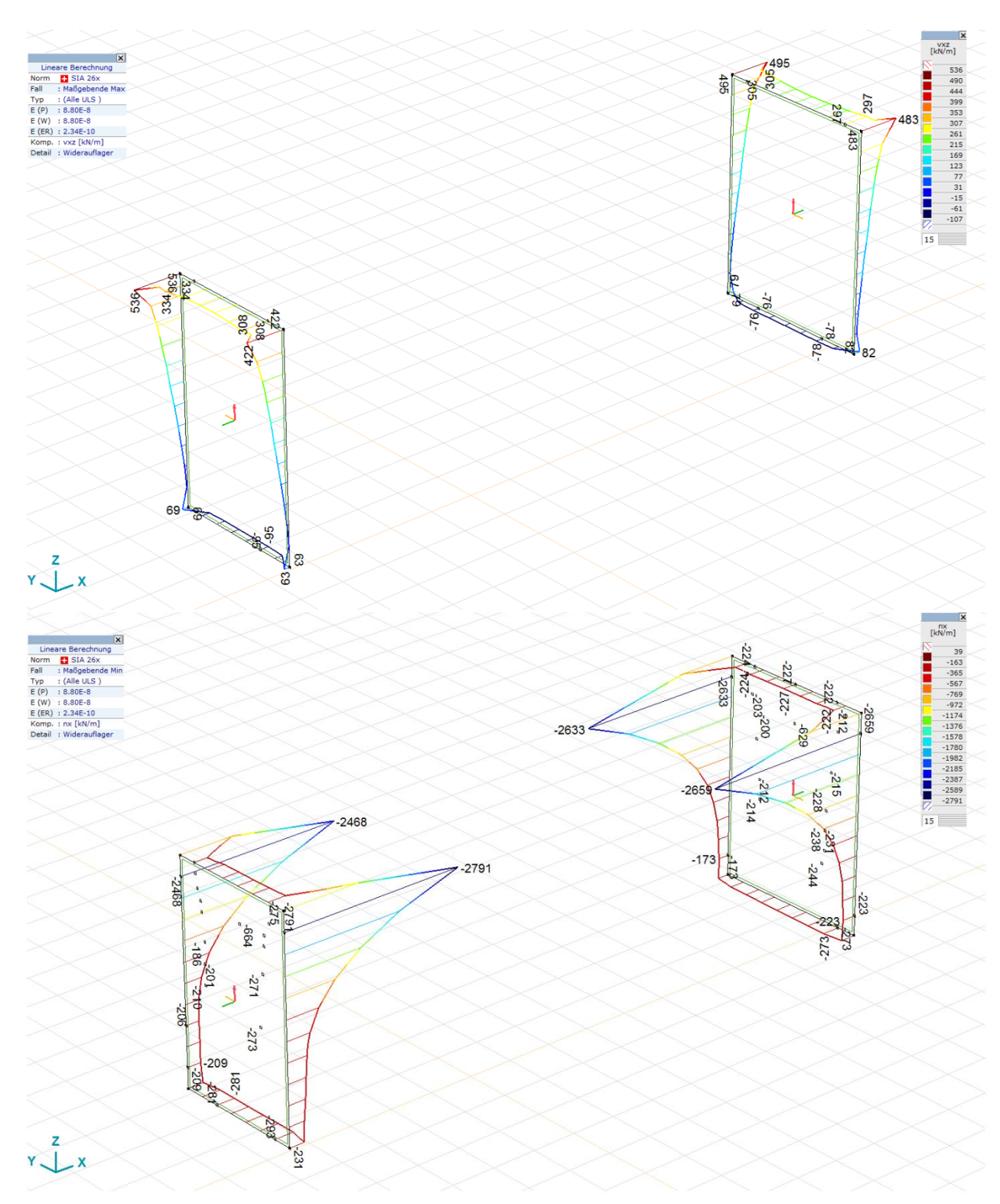


Abbildung 40 Massgebende min,vxz und max, vxz Wandwiderlager

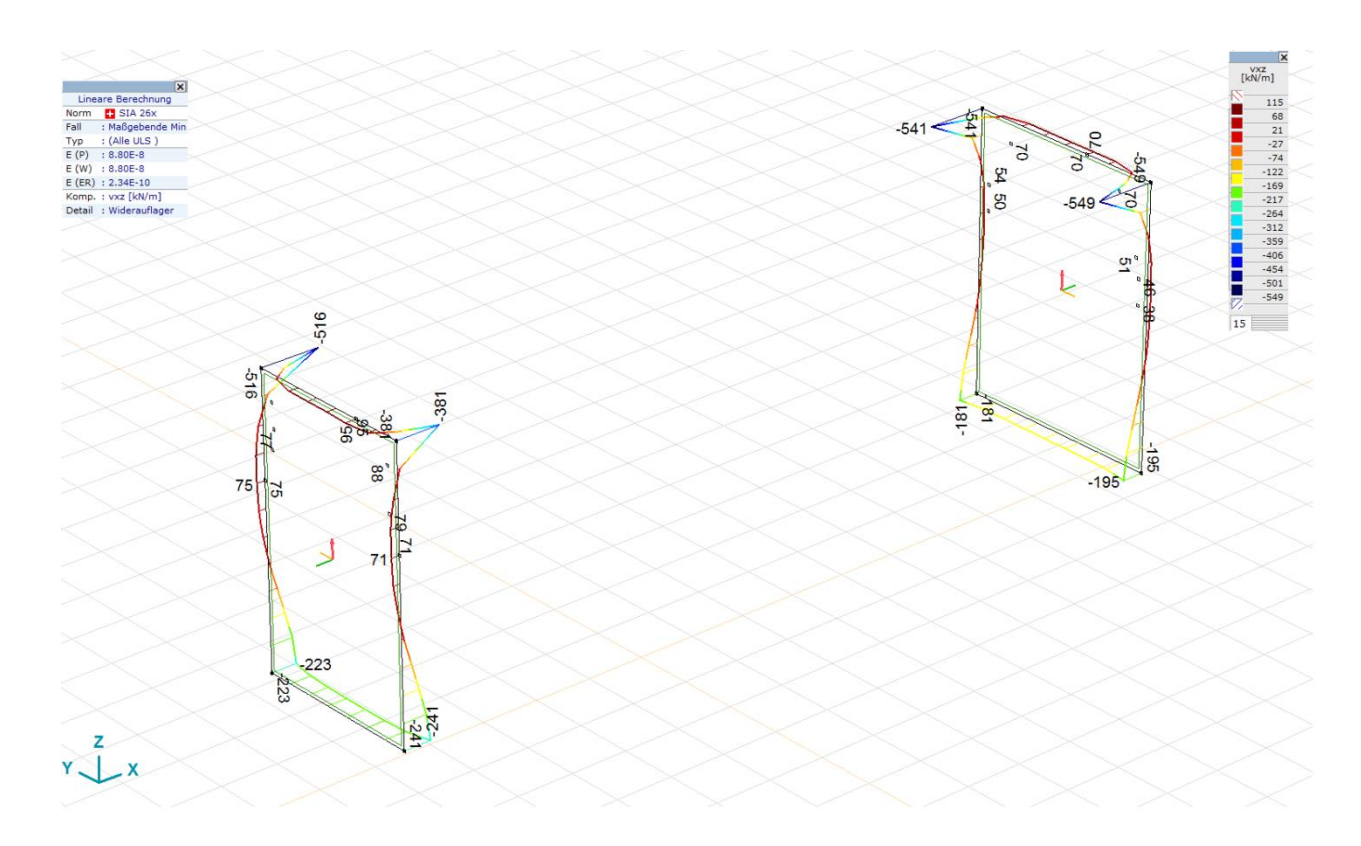


Abbildung 41 Massgebende min, nxBw Wandwiderlager

Die massgebende Schnittkräfte und dazugehörige Lastkombinationen sind in der Tabelle 3 Tabelle 10 und Tabelle 11 dargestellt.

_K		min. max.	wz	nxBw	nyBw	mxBw+	mxBw-	myBw+	myBw-	Bemerkungen
			[kN/m]	[kN/m]	[kN/m]	[kNm/m]	[kNm/m]	[kNm/m]	[kNm/m]	
1	mxBw+	max	-192	333	-1426	474	0	36	-15	Rand-Oben Lokal
2	mxBw+		282	-472	-1344	436	0	87	0	Rand-Oben
3	mxBw+	max	-140	-300	-70	123	0	24	0	Rand-Unten
4	mxBw-	max	4	-198	-59	0	-111	0	-9	Feld

Tabelle 10 Massgebende Schnittkräfte Wandwiderlager

Maßg	ebende	Kombination									
EL	AL	Effektiver Erddruck	ED_Bahnlast	Wasserauftrieb	Erdauflast_	Wasserdruck	Wasserauflast	LM1	Wind	Temp_oben_kalt	Temp_oben_warm
		und	ED_Schlingerkraft		Fundament						,
		Verdichtungsdruck									
1.35	1.35	1.35	1.35	1.2	0.8	1.2	1.2	1.5	0.6	0.6	-
1.35	1.35	1.35	1.35	1.2	0.8	1.2	1.2	1.5	0.6	0.6	-
1.35	1.35	1.35	1.35	0.9	1.35	0.9	0.9	1.5	0.6	0.6	-
0.8	0.8	1.35	1.35	1.2	0.8	1.2	1.2	-	-	-	1.5

Tabelle 11 Lastkombination der massgebenden Schnitte

# 6.3.2 Erforderliche Bewehrung aus dem AxisVM

Für die grafische Darstellung wird nur das massgebende Wandwiderlager in der Abbildung 42, Abbildung 43, Abbildung 44und Abbildung 45 dargestellt.

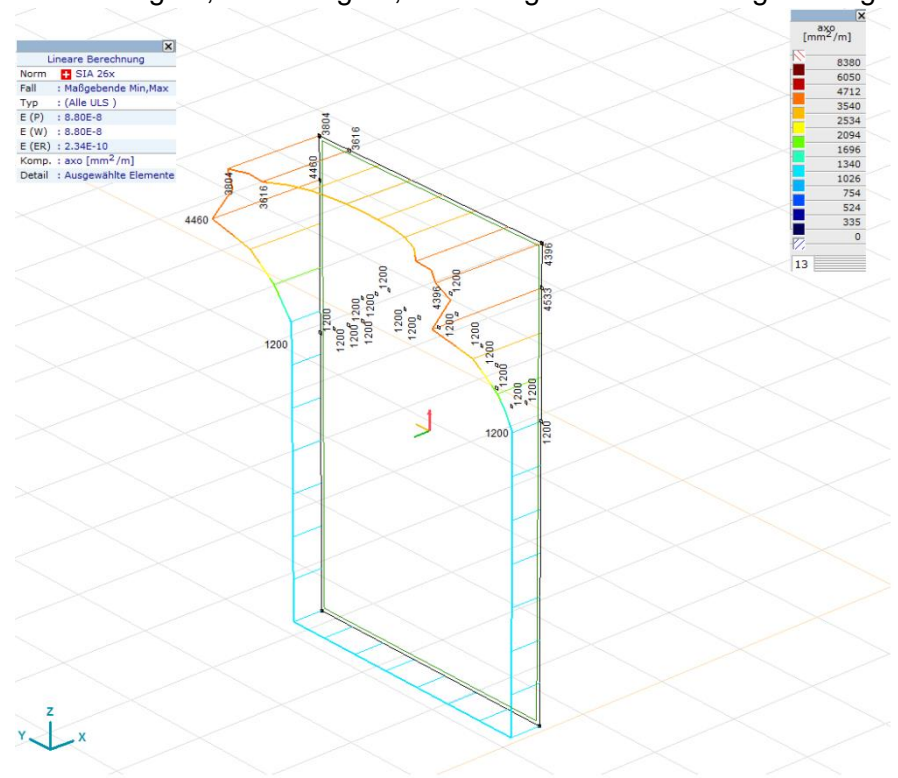


Abbildung 42 Erf. axo Wandwiderlager aus Axis

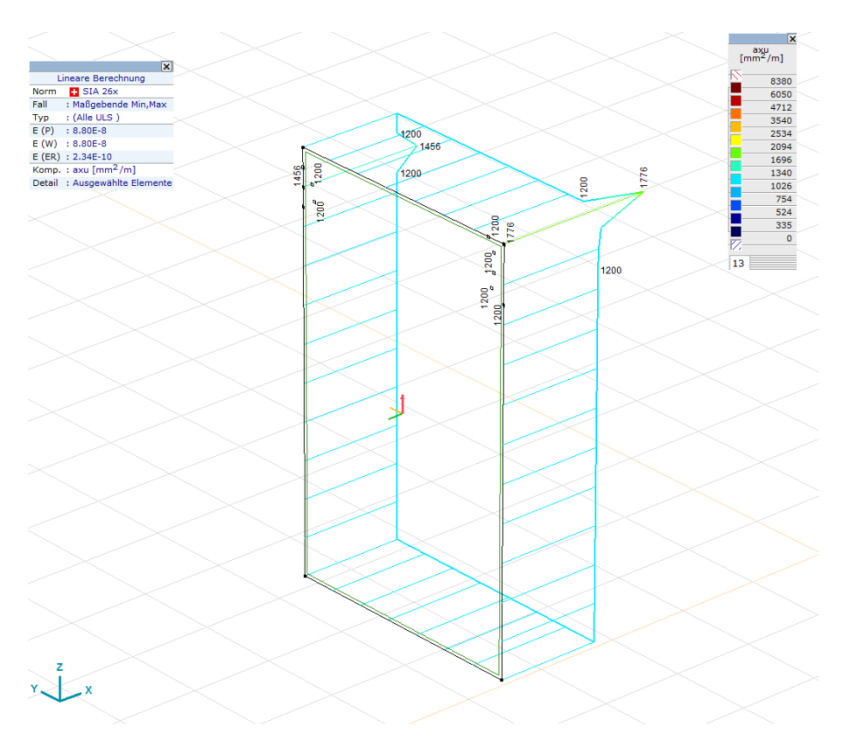


Abbildung 43 Erf. axu Wandwiderlager aus Axis

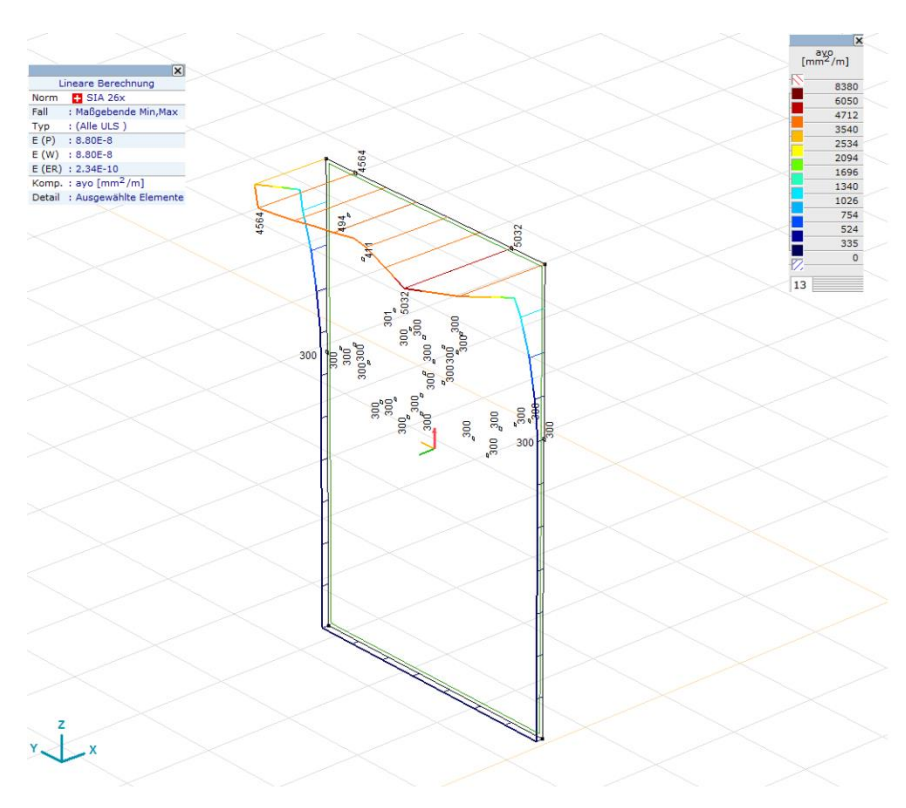


Abbildung 44 Erf. ayo, Wandwiderlager aus Axis

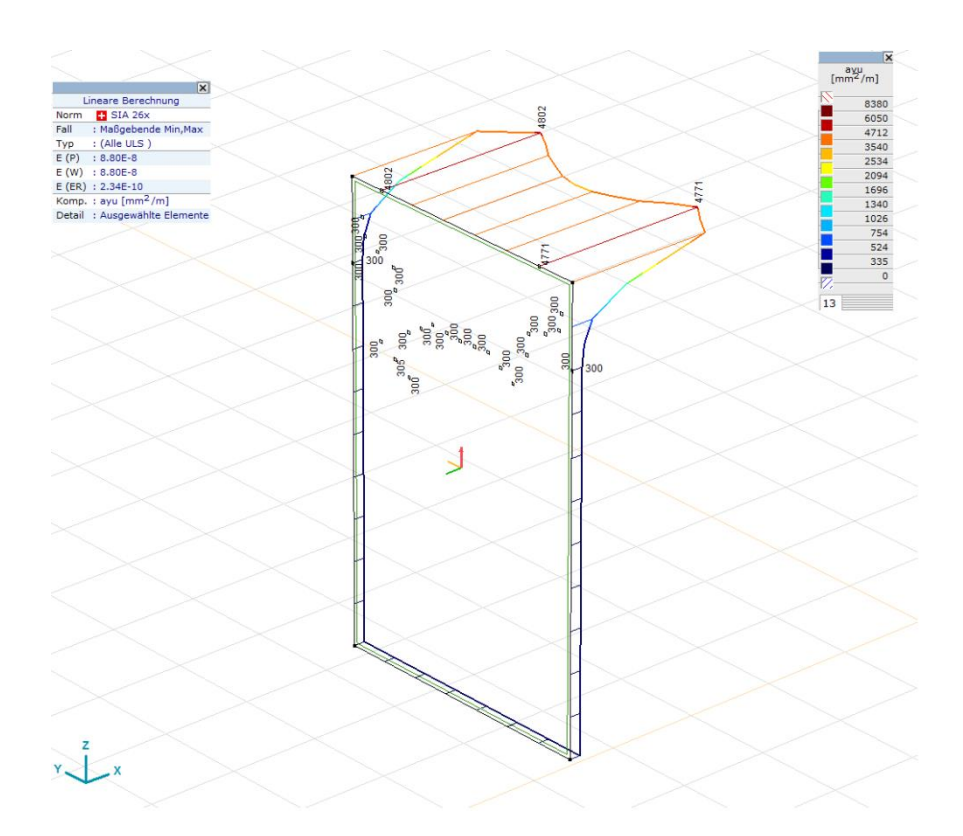


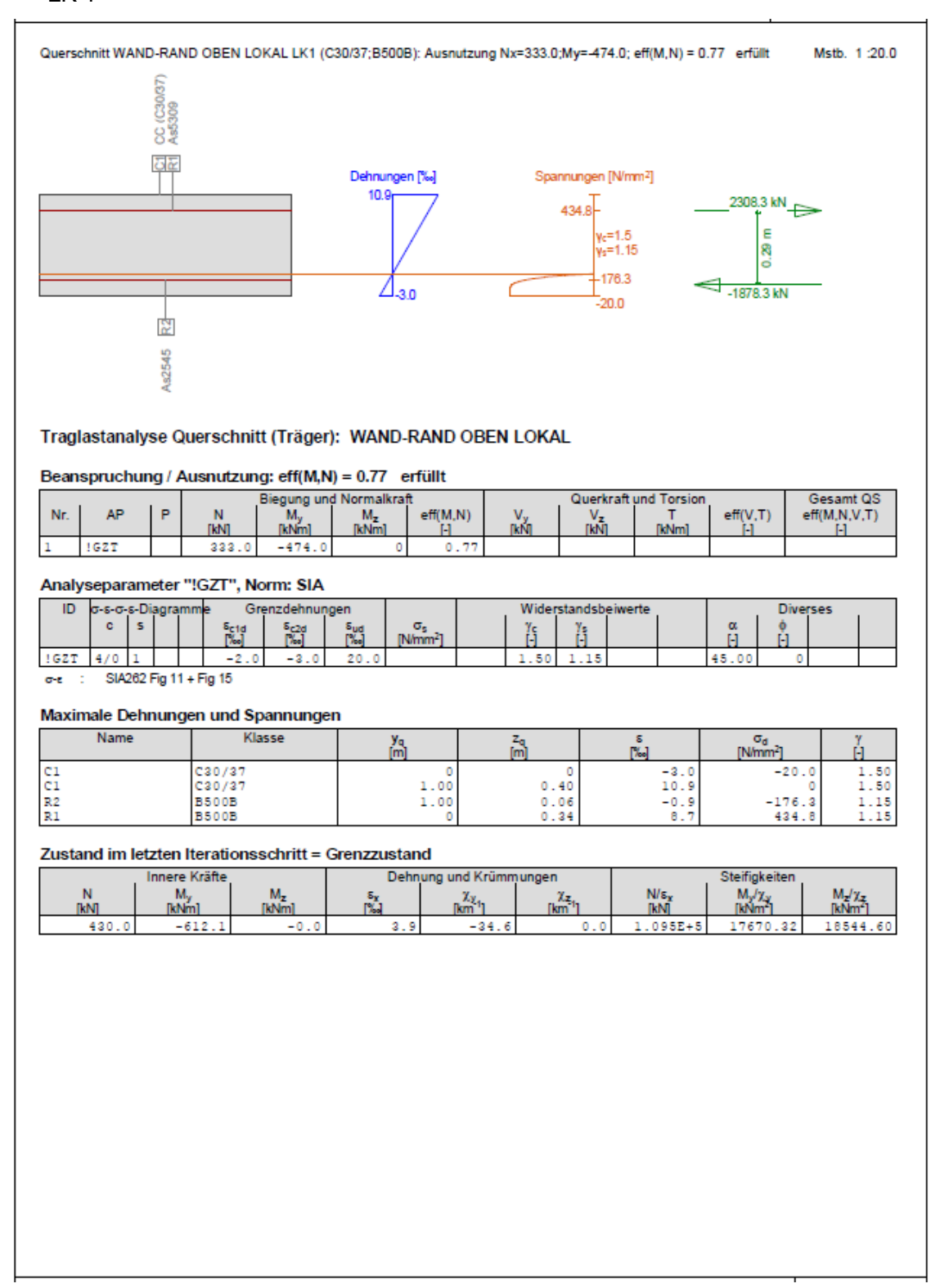
Abbildung 45 Erf. ayu, Wandwiderlager aus Axis

### 6.3.3 Bemessung Biegung

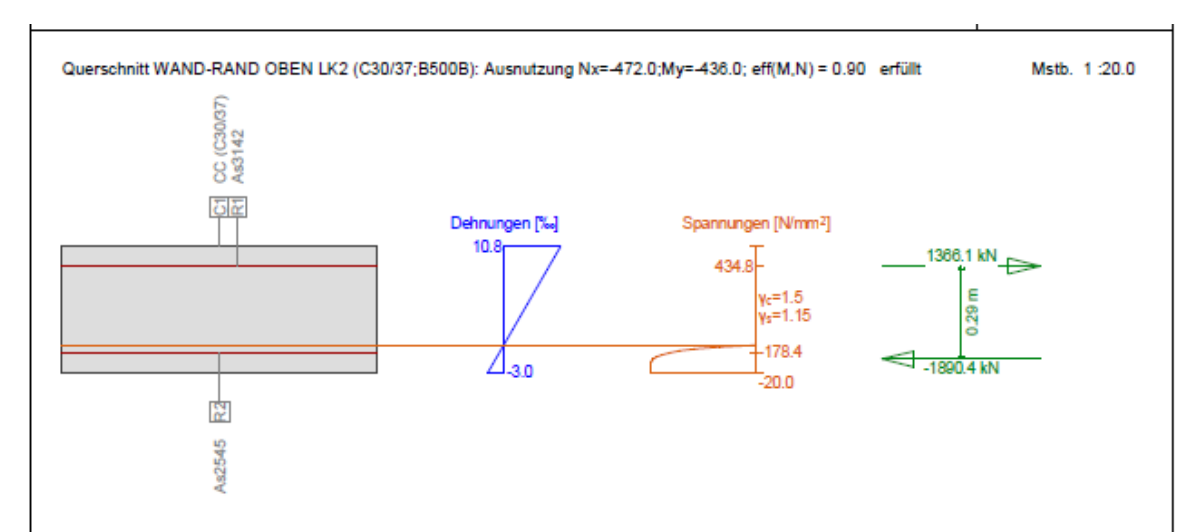
Die Bemessung wurde im Programm Fagus-6 durchgeführt.

Für die gewählte Bewehrung (siehe Kap. 6.3.5) ergibt sich die folgende Ausnutzung:

### LK 1



### - LK 2



### Traglastanalyse Querschnitt (Träger): WAND-RAND OBEN

#### Beanspruchung / Ausnutzung: eff(M,N) = 0.90 erfüllt

				Biegung und	d Normalkra	ft			Gesamt QS		
Nr.	AP	Р	N	M <sub>y</sub>	Mz	eff(M,N)	V <sub>y</sub>	V <sub>z</sub>	T	eff(V,T)	eff(M,N,V,T)
			[kN]	[kNm]	[kNm]	-	[kŃ]	[kN]	[kNm]	-	-
1	!GZT		-472.0	-436.0	0	0.90					

### Analyseparameter "!GZT", Norm: SIA

ID	σ-ε-σ-	s-Di	agra	mm	e Gre	enzdehnur	igen		Widerstandsbeiwerte				Diverses				
	С	5			ε <sub>c1d</sub> [‰]	5 <sub>c2d</sub> [%]	S <sub>ud</sub> [‰]	σ <sub>s</sub> [N/mm²]		γ <sub>c</sub> [-]	γ <sub>s</sub> [-]			α [-]	φ [-]		
!GZT	4/0	1			-2.0	-3.0	20.0			1.50	1.15			45.00	0		

σ-ε : SIA262 Fig 11 + Fig 15

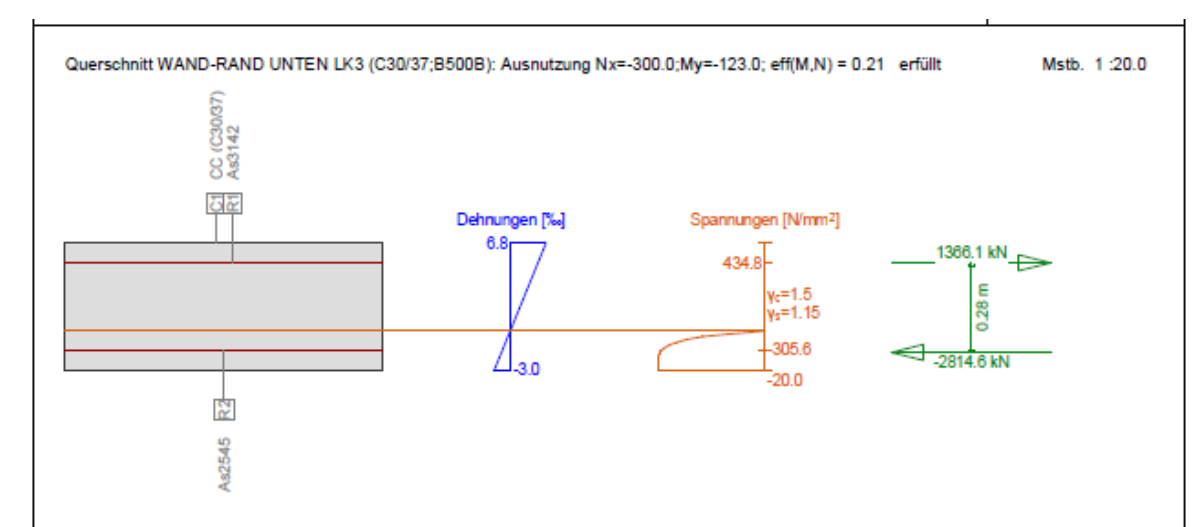
### Maximale Dehnungen und Spannungen

Name	Klasse	y <sub>q</sub> [m]	Z <sub>q</sub> [m]	8 [‰]	σ <sub>d</sub> [N/mm²]	γ [ <del>-</del> ]
	C30/37	0	0	-3.0	-20.0	1.50
	C30/37	1.00	0.40	10.8	0	1.50
R2	B500B	0	0.06	-0.9	-178.4	1.15
R1	B500B		0.34	8.6	434.8	1.15

### Zustand im letzten Iterationsschritt = Grenzzustand

	Innere Kräfte		Dehn	ung und Krümm	ungen	Steifigkeiten				
N [kN]	M <sub>y</sub> [kNm]	M <sub>z</sub> [kNm]	ε <sub>χ</sub> [%]	χ <sub>χ,1</sub> [km <sup>-1</sup> ]	χ <sub>z</sub> [km <sup>-1</sup> ]	N/s <sub>x</sub> [kN]	M <sub>y</sub> /χ <sub>y</sub> [kNm²]	M <sub>z</sub> /χ <sub>z</sub> [kNm²]		
-524.3	-484.2	0.0	3.9	-34.5	0.0	1.346E+5	14043.14	5462.94		

### - LK 3



### Traglastanalyse Querschnitt (Träger): WAND-RAND UNTEN

#### Beanspruchung / Ausnutzung: eff(M,N) = 0.21 erfüllt

				Biegung und	d Normalkra	ft		Gesamt QS			
Nr.	AP	Р	N	My	Mz	eff(M,N)	V <sub>y</sub>	Vz	T	eff(V,T)	eff(M,N,V,T)
			[kN]	[kNm]	[kNm]	[-]	[kŃ]	[kN]	[kNm]	[-]	[-]
1	!GZT		-300.0	-123.0	0	0.21					

#### Analyseparameter "!GZT", Norm: SIA

ID	σ-s-σ-s-Diagramme Grenzdehnungen				Widerstandsbeiwerte			Diverses							
	С	5		ε <sub>c1d</sub> [‰]	δ <sub>c2d</sub> [‰]	S <sub>ud</sub>	σ <sub>s</sub> [N/mm²]		Ус [-]	γ <sub>s</sub> [-]		α [-]	ф [-]		
!GZT	4/0	1		-2.0	-3.0	20.0		1	1.50	1.15		45.00	0		

σ-ε : SIA262 Fig 11 + Fig 15

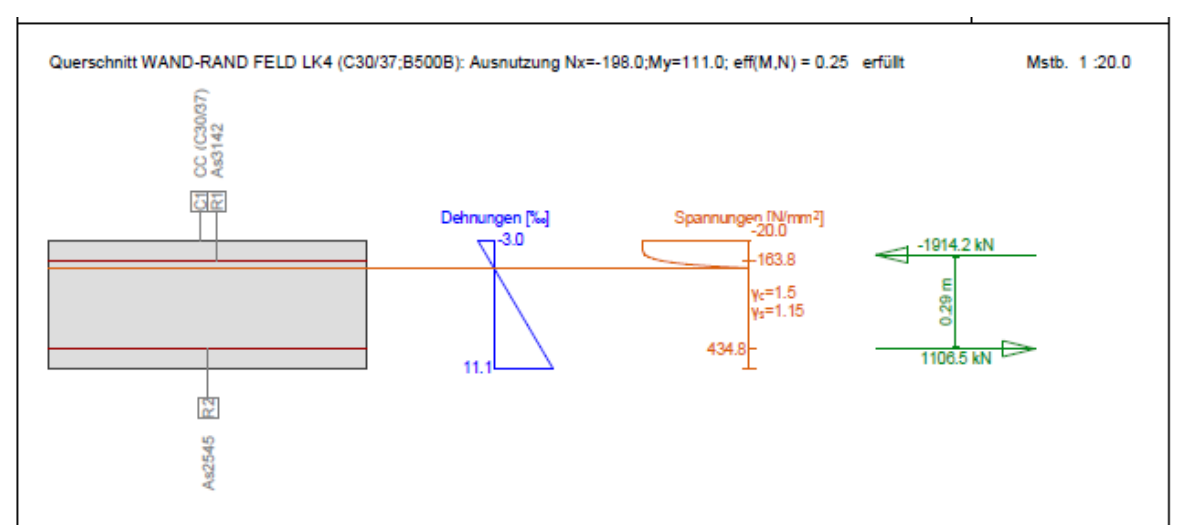
### Maximale Dehnungen und Spannungen

Name	Klasse	<b>y</b> q [m]	Z <sub>q</sub> [m]	8 [%s]	σ <sub>d</sub> [N/mm²]	γ [-]
C1 C1	C30/37 C30/37	0 1.00	0 0.40	-3.0 6.8	-20.0	1.50 1.50
	B500B	0	0.06	-1.5	-305.6	1.15
R1	B500B	0	0.34	5.2	434.8	1.15

### Zustand im letzten Iterationsschritt = Grenzzustand

	Innere Kräfte		Dehn	ung und Krümm	ungen	Steifigkeiten				
N [kN]	M <sub>y</sub> [kNm]	M <sub>z</sub> [kNm]	ε <sub>χ</sub> [%]	χ <sub>χ</sub> Ikm <sup>-1</sup> 1	χ <sub>z</sub> [km <sup>-1</sup> ]	N/ε <sub>x</sub> [kN]	M <sub>y</sub> /χ <sub>y</sub> [kNm²]	M <sub>z</sub> /χ <sub>z</sub> [kNm²]		
-1448.5	-593.9		1.9	-24.4	0.0	7 677745	24303.66	8913.59		

### - LK 4



### Traglastanalyse Querschnitt (Träger): WAND-RAND FELD

#### Beanspruchung / Ausnutzung: eff(M,N) = 0.25 erfüllt

	-	_			_						
				Biegung und	d Normalkra	ft			Gesamt QS		
Nr.	AP	Р	N	M <sub>v</sub>	M <sub>z</sub>	eff(M,N)	V <sub>v</sub>	V <sub>z</sub>	T	eff(V,T)	eff(M,N,V,T)
			[kN]	[kNm]	[kNm]	[-]	[kŃ]	[kN]	[kNm]	[-]	[-]
1	!GZT		-198.0	111.0	0	0.25					

### Analyseparameter "!GZT", Norm: SIA

ID	σ-ε-σ-	σ-s-σ-s-Diagramme Grenzdehnur C S S <sub>C1d</sub> S <sub>C2d</sub> [‰] [‰]				ngen		Wider	standsb	eiwerte		Diver	ses		
	С	5			S <sub>c1d</sub>	S <sub>c2d</sub>	S <sub>ud</sub>	σ,	Ϋ́ς	Ϋ́s		α	φ		
					700	700	700	[N/mm <sup>2</sup> ]		- 1-1		-			
GZT	4/0	1			-2.0	-3.0	20.0		1.50	1.15		45.00	0		

σ-ε : SIA262 Fig 11 + Fig 15

#### Maximale Dehnungen und Spannungen

Name	Klasse	у <sub>а</sub> [m]	Z <sub>q</sub> [m]	8 [‰]	σ <sub>d</sub> [N/mm²]	γ [ <del>-</del> ]
Cl	C30/37	1.00	0.40	-3.0	-20.0	1.50
C1	C30/37	0	0	11.1	0	1.50
R1	B500B	0	0.34	-0.8	-163.8	1.15
R2	B500B	0	0.06	8.9	434.8	1.15

#### Zustand im letzten Iterationsschritt = Grenzzustand

Г		Innere Kräfte		Dehn	ung und Krümm	ungen	Steifigkeiten				
	N M <sub>y</sub> M <sub>z</sub> [kN] [kNm] [kNm]		M <sub>z</sub> [kNm]	ε <sub>χ</sub> [%]	χ <sub>χ,1</sub> [km <sup>-1</sup> ]	χ <sub>z,</sub> [km <sup>-1</sup> ]	χ <sub>z</sub> Ν/ε <sub>x</sub> [kN]		$M_z/\chi_z$ [kNm <sup>2</sup> ]		
Г	-807.7	452.7	-0.0	4.0	35.2	0.0	2.003E+5	12876.86	33629.78		

#### 6.3.4 Querkraftnachweis

## Querkraftnachweis für die Bauteile ohne Querkraftbewehrung

Schnittkräfte pro Laufmeter (Output aus dem Programm AxisVM):

$$m_{Ed} := 436 \frac{kN \cdot m}{m}$$
  $n_{Ed} := -472 \frac{kN}{m}$   $v_{Ed} := 282 \frac{kN}{m}$  LK1 massgebend

Raustoffe

Beton: C30/37 XC4 (CH)

$$f_{cd} := 20 \frac{N}{mm^2}$$
  $\tau_{cd} := 1.1 \frac{N}{mm^2}$   $f_{ctm} := 2.9 \frac{N}{mm^2}$   $c_{nom} := 55 mm$ 

-Grosskorn der Gesteinkörnung in mm D<sub>max</sub> := 32

Bewehrung B500B:

$$f_{sd} := 435 \frac{N}{mm^2}$$
  $E_s := 205 \frac{kN}{mm^2}$  SIA 262 3.2.2.4

-Querbewehrung (Vertikal):

$$d_Q := 20 \text{mm}$$
  $s_Q := 100 \text{mm}$ 

-Längsbewehrung (Horizontal):

$$d_{L} := 14mm$$

· Querschnittsgeometrie:

$$h_c := 0.4 m$$
  $b_c := 1.0 m$ 

Bemessung pro Laufmeter

-Statische Höhe: 
$$d_1 = c_{nom} + d_L + \frac{d_Q}{2} = 55 \cdot mm + 14 \cdot mm + \frac{20 \cdot mm}{2} = 79 \cdot mm$$
 
$$d := h_c - d_1 = 0.4 \cdot m - 0.079 \cdot m = 321 \cdot mm$$

-Innerer Hebelarm: z := 0.9·d = 0.9·0.321·m = 288.9·mm

Vorhandene Biegebewehrung:

$$a_{sQvor} := \frac{\frac{\pi \cdot d_{Q}^{2}}{4} \cdot \frac{1000mm}{s_{Q}}}{b_{c}} = \frac{\frac{\pi \cdot (20 \cdot mm)^{2}}{4} \cdot \frac{1000 \cdot mm}{100 \cdot mm}}{1.0 \cdot m} = 3142 \cdot \frac{mm^{2}}{m}$$

Bemessungswert des Biegewiderstandes:

$$m_{Rd} := z \cdot f_{sd} \cdot a_{sQvor} = 0.2889 \cdot m \cdot 435 \cdot \frac{N}{mm^2} \cdot a_{sQvor} = 394.8 \cdot \frac{kN \cdot m}{m}$$

Querkraftwiderstand:

$$v_{Rd} = k_d \cdot \tau_{cd} \cdot d_v$$

SIA 261 4.3.3.1.3

-wirksame statische Höhe:

$$d_v := d$$

 $d_v = 0.321 \,\mathrm{m}$ 

-normale Dehnung der Zugbewehrung:

$$\varepsilon_{\mathbf{v}} \coloneqq \frac{f_{\mathbf{s}\mathbf{d}}}{E_{\mathbf{s}}} \cdot \frac{m_{\mathbf{E}\mathbf{d}}}{m_{\mathbf{R}\mathbf{d}}}$$

$$\varepsilon_{\rm V} = 0.00234$$

$$k_g := \frac{48}{16 + D_{max}}$$

$$k_g := \frac{48}{16 + D_{max}}$$
  $k_d := \frac{1}{1 + \epsilon_v \cdot d \cdot m^{-1} \cdot 1000 \cdot k_g}$   $k_d = 0.571$ 

$$k_d = 0.571$$

$$v_{Rd} := k_d \cdot \tau_{cd} \cdot d_v$$

$$v_{Rd} = 201.5 \cdot \frac{kN}{m}$$

$$\begin{aligned} \text{Nachweis} := & \text{"erfüllt"} & \text{if } \frac{\text{$^v$Ed}}{\text{$^v$Rd}} \leq 1 \\ & \text{"Querkraftbewehrung erforderlich"} & \text{otherwise} \end{aligned}$$

Nachweis = "Querkraftbewehrung erforderlich"

## erforderliche vertikale Querkraftbewehrung

$$V_{Rd\_s} = \frac{A_{sw}}{s} \cdot z \cdot f_{sd} \cdot \cot(\alpha)$$
  $a_{sw} = \frac{A_{sw}}{s}$ 

SIA 262 4.3.3.4.3

Neigung der Betondruckstrebe:  $\alpha := 45$ Grad

$$a_{sw\_erf} := \frac{v_{Ed}}{z \cdot f_{sd} \cdot \cot(\alpha)} \cdot b_{c} = \frac{282 \cdot \frac{kN}{m}}{0.2889 \cdot m \cdot 435 \cdot \frac{N}{mm^{2}} \cdot \cot(45 \cdot Grad)} \cdot 1.0 \cdot m = 2244 \cdot \frac{mm^{2}}{m}$$

## gewählte Querkraftbewehrung:

Durchmesser

$$d_{B\ddot{u}gel} := 12mm$$

Abstand zwischen den Bügel:

$$s_{B\ddot{u}gel} := 150 mm$$

Anzahl Schnitten in einem Meter

$$a_{sw\_vor} := \frac{\frac{\pi \cdot d_{B\ddot{u}gel}^{2}}{4} \cdot \frac{b_{c}}{{}^{s}_{B\ddot{u}gel}}}{b_{c}} \cdot n = \frac{\frac{\pi \cdot (12 \cdot mm)^{2}}{4} \cdot \frac{1.0 \cdot m}{150 \cdot mm}}{1.0 \cdot m} \cdot 4 = 3016 \cdot \frac{mm^{2}}{m}$$

Widerstand der vorhanden Querkraftbewehrung:

SIA 262 4.3.3.4.3

$$V_{Rd\_s} := a_{sw\_vor} \cdot z \cdot f_{sd} \cdot \cot(\alpha)$$

$$V_{\text{Rd\_s}} = 379 \cdot \text{kN}$$

Widerstand der Druckstrebe (vertikale Querkraftbewehrung):

SIA 262 4.3.3.4.6

$$k_c := 0.55$$

SIA 262 4.2.1.7

$$V_{Rd\_c} := z \cdot k_c \cdot f_{cd} \cdot \sin(\alpha) \cdot \cos(\alpha)$$

$$V_{\text{Rd\_c}} = 1589 \cdot \frac{kN}{m}$$

## 6.3.5 Gewählte Bewehrung für die Widerlagerwände

Längsbewehrung (Horizontal)  $a_{s \text{ vorh aussen}} = 1026 \text{ mm}^2/\text{m} \text{ } \emptyset 14 \text{ s} = 150$ 

 $a_{s \text{ vorh innen}} = 1026 \text{ mm}^2/\text{m } \varnothing 14 \text{ s}=150$ 

Längsbewehrung im Bereich der Einspannung

 $a_{s \text{ vorh aussen}} = 1696 \text{ mm}^2/\text{m } \varnothing 18 \text{ s}=150$ 

 $a_{s \text{ vorh innen}} = 1696 \text{ mm}^2/\text{m } \emptyset 18 \text{ s} = 150$ 

Querbewehrung (Vertikale)  $a_{s \text{ vorh aussen}} = 5309 \text{ mm}^2/\text{m} \varnothing 26 \text{ s} = 100 \text{ (Lokal)}$ 

 $a_{s \text{ vorh aussen}}$ = 3142 mm<sup>2</sup>/m Ø20 s=100

Querbewehrung (Vertikale)  $a_{s \text{ vorh innen}} = 2545 \text{ mm}^2/\text{m} \varnothing 20 \text{ s} = 100$ 

Querkraftbewehrung \_4 schnittige Bügel

 $a_{s \text{ vorh -B\"{u}gel}}$ = 4 \* 754 mm²/m Ø12 s=150

## 6.4 Tragsicherheitsnachweis Fundament

## 6.4.1 Massgebende Schnittkräfte Fundament

Die massgebenden Schnittkräfte sind in den Abbildungen 45 bis 50 und den Tabellen 12 und 13 dargestellt.

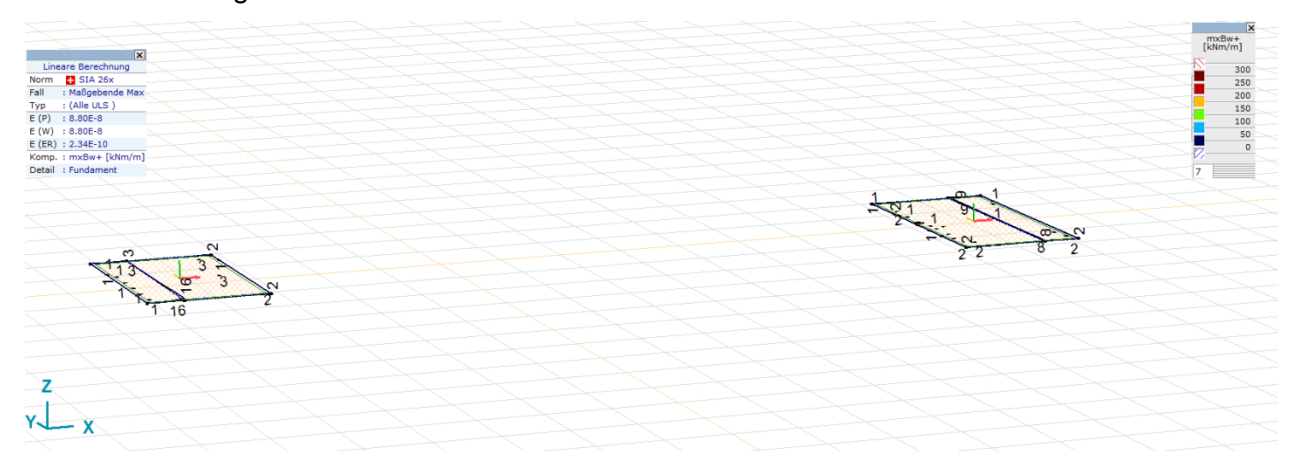


Abbildung 46 Massgebende Min, mxBw, Fundament

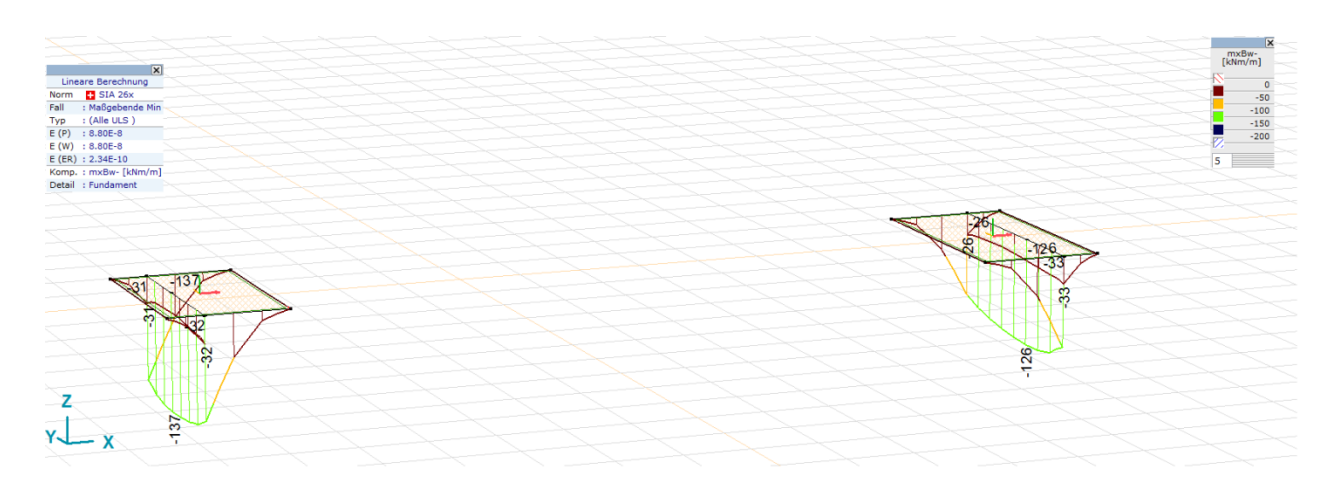


Abbildung 47 Massgebende Max, mxBw, Fundament

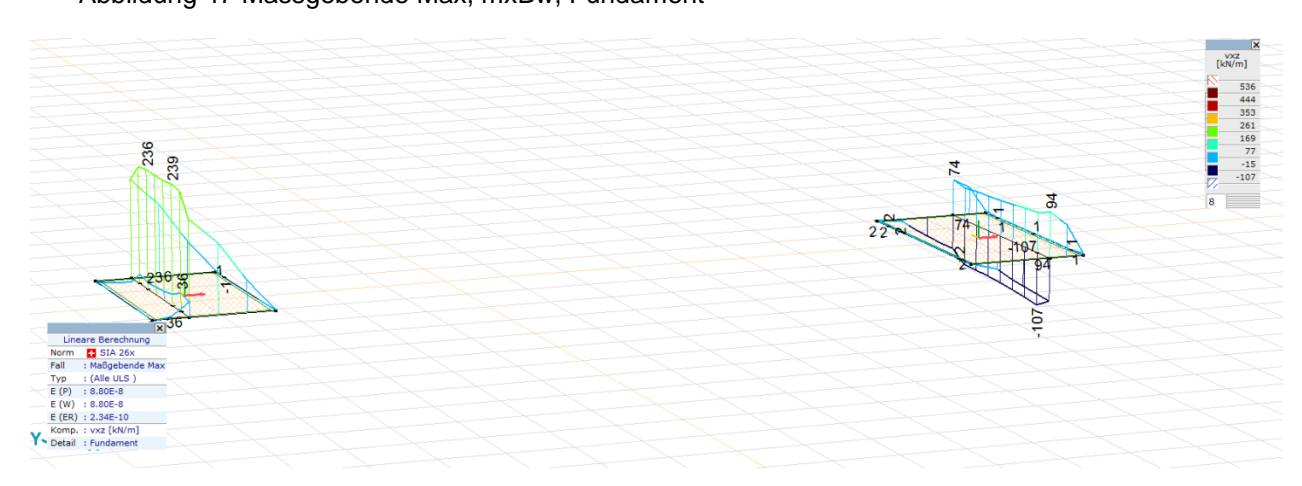


Abbildung 48 Massgebende Max, vxz, Fundament

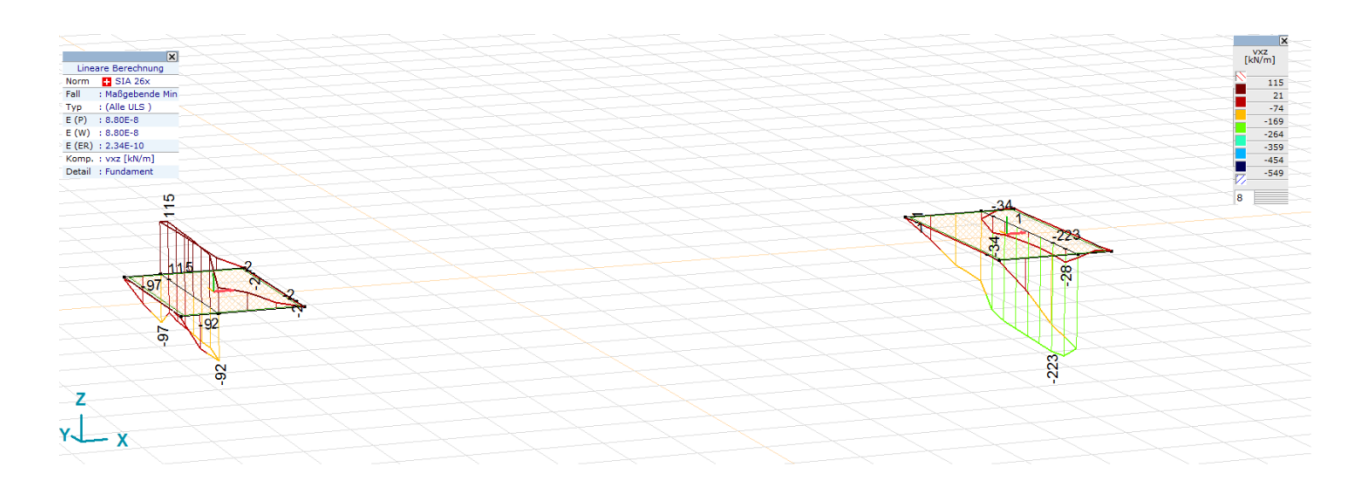


Abbildung 49 Massgebende Min, vxz, Fundament

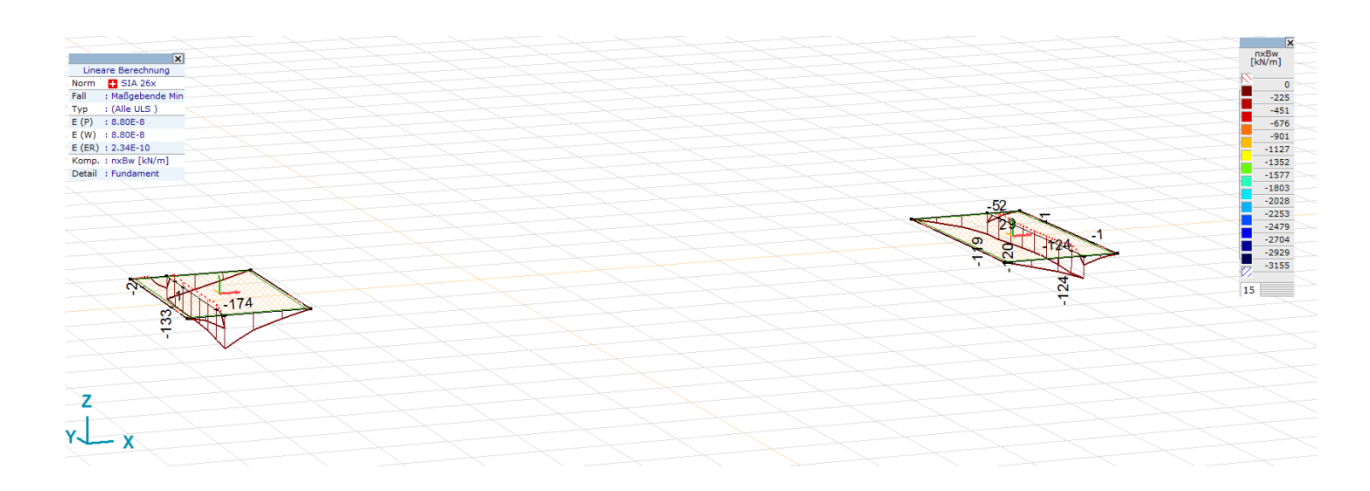


Abbildung 50 Massgebende Min, nxBw, Fundament

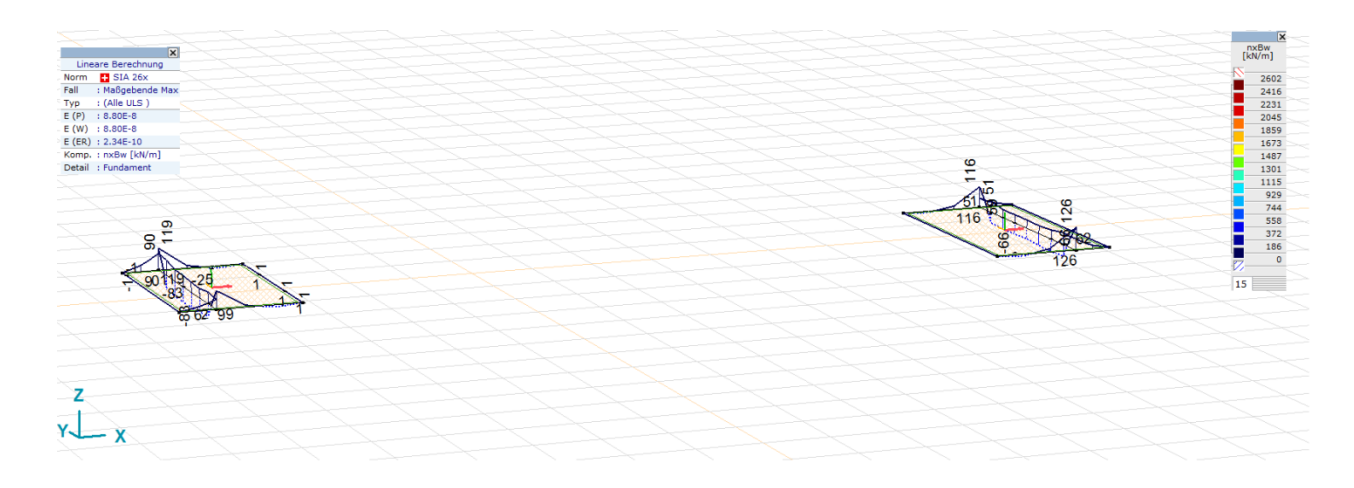


Abbildung 51 Massgebende Max, nxBw, Fundament

	LK		min. max.	VXZ	nxBw	nyBw	mxBw+	mxBw-	myBw+	myBw-	Bemerkungen
				[kN/m]	[kN/m]	[kN/m]	[kNm/m]	[kNm/m]	[kNm/m]	[kNm/m]	
Ī											
Į	1	mxBw+	min	233	-118	-25	0	-137	0	-27	

Tabelle 12 Massgebende Schnittkräfte des Fundamentes

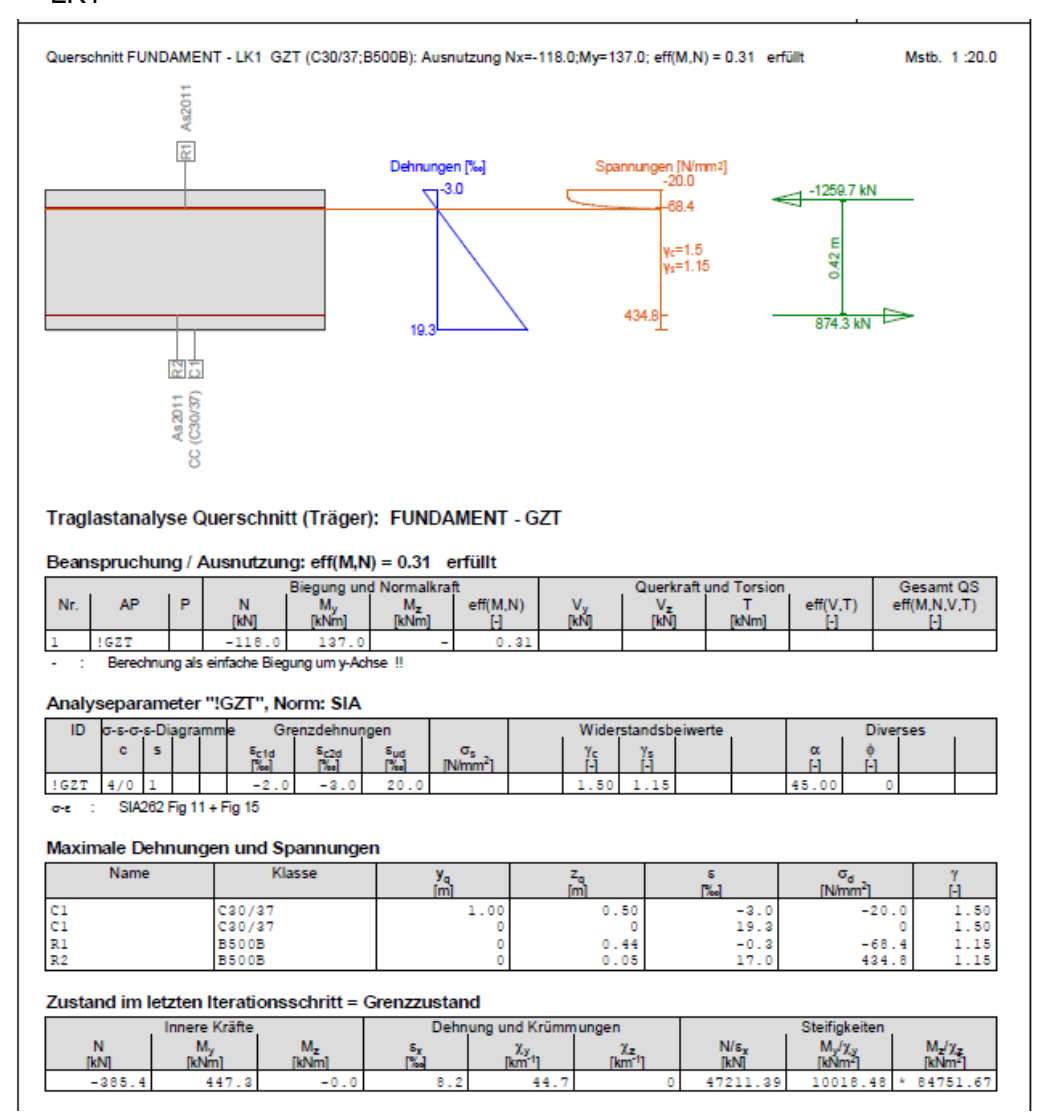
M	aßge	bende	Kombination									
EL	L	AL	Effektiver Erddruck	ED_Bahnlast	Wasserauftrieb	Erdauflast_	Wasserdruck	Wasserauflast	LM1	Wind	Temp_oben_kalt	Temp_oben_warm
			und	ED Schlingerkraft		Fundament						
			Verdichtungsdruck									
1.3	35	1.35	1.35	1.35	0.9	1.35	0.9	0.9	1.5	0.6	0.6	-

Tabelle 13 Lastkombination der massgebenden Schnittkräfte des Fundamentes

## 6.4.2 Bemessung Biegung

Die Bemessung wurde im Programm Fagus-6 durchgeführt. Für die gewählte Bewehrung (siehe Kap. 6.4.4) ergibt sich die folgende Ausnutzung:

- LK1



#### 6.4.3 Querkraftnachweis

## Querkraftnachweis für die Bauteile ohne Querkraftbewehrung

Schnittkräfte pro Laufmeter (Output aus dem Programm AxisVM):

$$m_{Ed} := 137 \frac{kN \cdot m}{m}$$
  $n_{Ed} := -118 \frac{kN}{m}$   $v_{Ed} := 236 \frac{kN}{m}$  LK1 massgebend

Baustoffe:

Beton: C30/37 XC4 (CH)

$$f_{cd} := 20 \frac{N}{mm^2}$$
  $\tau_{cd} := 1.1 \frac{N}{mm^2}$   $f_{ctm} := 2.9 \frac{N}{mm^2}$   $c_{nom} := 55 mm$ 

-Grosskorn der Gesteinkörnung in mm D<sub>max</sub> := 32

Bewehrung B500B:

$$f_{sd} := 435 \frac{N}{mm^2}$$
  $E_s := 205 \frac{kN}{mm^2}$  SIA 262 3.2.2.4

-Querbewehrung :  $d_Q := 16mm$   $s_Q := 100mm$ 

· Querschnittsgeometrie:

-Statische Höhe: 
$$d_1 = c_{nom} + d_L + \frac{d_Q}{2} = 55 \cdot mm + 14 \cdot mm + \frac{16 \cdot mm}{2} = 77 \cdot mm$$
 
$$d := h_c - d_1 = 0.5 \cdot m - 0.077 \cdot m = 423 \cdot mm$$

-Innerer Hebelarm:  $z := 0.9 \cdot d = 0.9 \cdot 0.423 \cdot m = 380.7 \cdot mm$ 

· Vorhandene Biegebewehrung:

$$a_{sQvor} := \frac{\frac{\pi \cdot d_{Q}^{2}}{4} \cdot \frac{1000mm}{s_{Q}}}{\frac{b_{C}}{}} = \frac{\frac{\pi \cdot (16 \cdot mm)^{2}}{4} \cdot \frac{1000 \cdot mm}{100 \cdot mm}}{\frac{4}{1.0 \cdot m}} = 2011 \cdot \frac{mm^{2}}{m}$$

Bemessungswert des Biegewiderstandes:

$$m_{Rd} := z \cdot f_{sd} \cdot a_{sQvor} = 0.3807 \cdot m \cdot 435 \cdot \frac{N}{mm^2} \cdot a_{sQvor} = 333 \cdot \frac{kN \cdot m}{m}$$

Querkraftwiderstand:

$$v_{Rd} = k_d \cdot \tau_{cd} \cdot d_v$$

SIA 261 4.3.3.1.3

-wirksame statische Höhe:

$$d_v := d$$

 $d_v = 0.423 \, \text{m}$ 

-normale Dehnung der Zugbewehrung:

$$\epsilon_v := \frac{f_{sd}}{E_s} \cdot \frac{m_{Ed}}{m_{Rd}}$$

$$\varepsilon_{\rm V} = 0.00087$$

$$k_g := \frac{48}{16 + D_{max}}$$

$$k_g := \frac{48}{16 + D_{max}}$$
  $k_d := \frac{1}{1 + \epsilon_v \cdot d \cdot m^{-1} \cdot 1000 \cdot k_g}$   $k_d = 0.73$ 

$$k_{d} = 0.73$$

$$v_{Rd} := k_d \cdot \tau_{cd} \cdot d_v$$

$$v_{Rd} = 339.8 \cdot \frac{kN}{m}$$

$$\begin{aligned} \text{Nachweis} := & \text{"erfüllt"} & \text{if } \frac{\text{$^v$Ed}}{\text{$^v$Rd}} \leq 1 \\ & \text{"Querkraftbewehrung erforderlich"} & \text{otherwise} \end{aligned}$$

Nachweis = "erfüllt"

## 6.4.4 Gewählte Bewehrung für die Fundamente

Längsbewehrung  $a_{s \text{ vorh innen}} = 1026 \text{ mm}^2/\text{m} \varnothing 14 \text{ s} = 150$ 

 $a_{s \text{ vorh unten}} = 1026 \text{ mm}^2/\text{m } \varnothing 14 \text{ s}=150$ 

Querbewehrung  $a_{s \text{ vorh innen}} = 2011 \text{ mm}^2/\text{m} \ \emptyset 16 \text{ s}=100$ 

 $a_{s \text{ vorh aussen}}$ =2011 mm<sup>2</sup>/m Ø16 s=100

## 6.4.5 Schwingungen

Vertikale Schwingungen

	f [Hz]	T [s]	Fehler	$\epsilon_{x}$	$\epsilon_{\scriptscriptstyle Y}$	$\epsilon_{z}$
1	4.6	0.217	5.09E-10	0	0	0.511
2	9.28	0.108	4.94E-09	0	0	0.001
3	10.42	0.096	1.17E-08	0	0	0.002
4	12.94	0.077	6.08E-08	0	0	0.479
5	14.96	0.067	3.82E-07	0	0	0.002
6	16.39	0.061	3.96E-07	0	0	0

Vertikale Schwingung ist in Ordnung

SIA 260 Tabelle 10

Tabelle 10: Richtwerte für Eigenfrequenzen von Fuss- und Radwegbrücken

Grenzzustand	Eigenfrequenz [Hz]
Komfort  - vertikale Schwingungen  - horizontale Schwingungen (quer)  - horizontale Schwingungen (längs)	f > 4,5 oder f < 1,6 f > 1,3 f > 2,5

Eigenfrequenzen abweichend von den angegebenen Richtwerten sind zugelassen, wenn eine genauere dynamische Berechnung unter Berücksichtigung der Dämpfung durchgeführt wird.

Tabelle 14 Ausschnitt aus der SIA 260-Tabelle 10

# 6.5 Bewehrungsskizzen

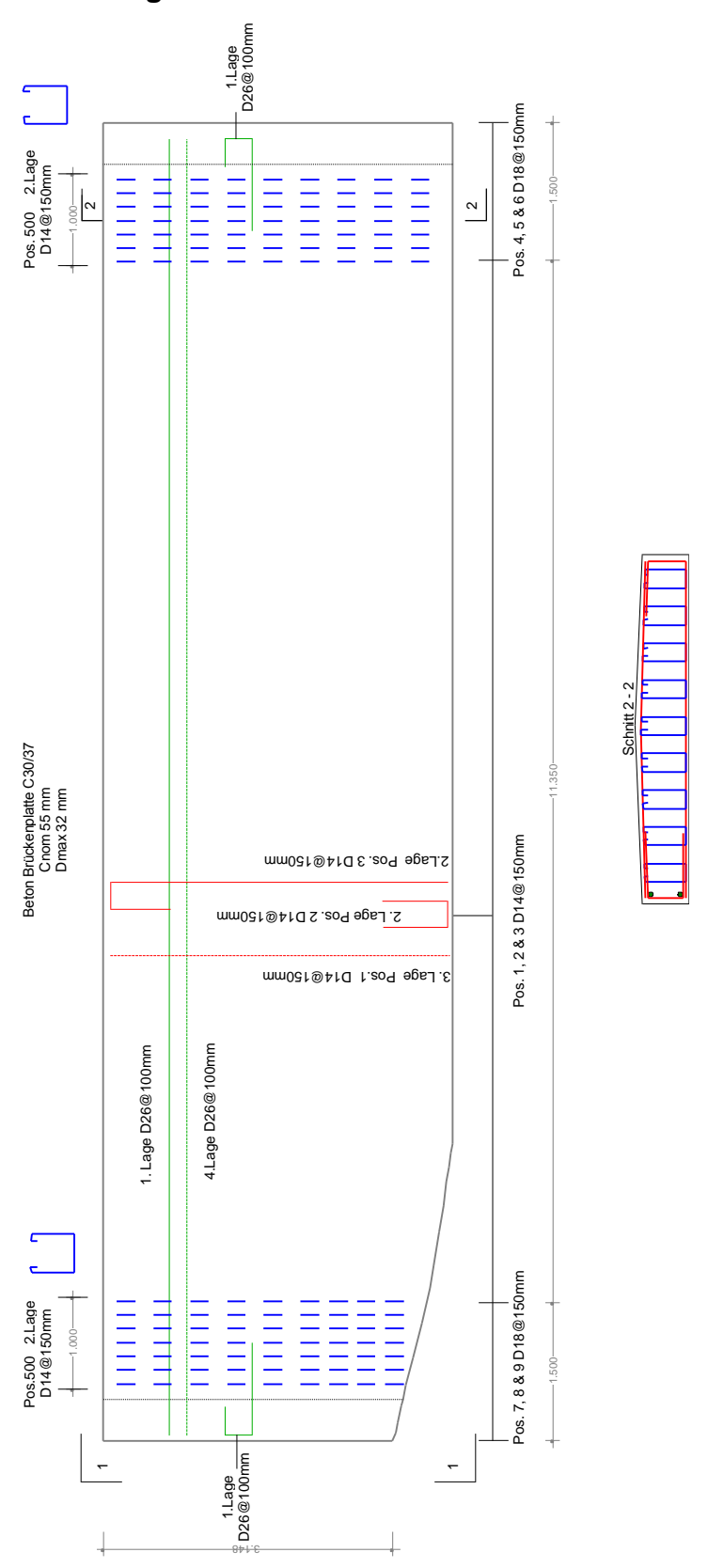


Abbildung 52 Grundriss Brückenplatte Längs- und Querbewehrung

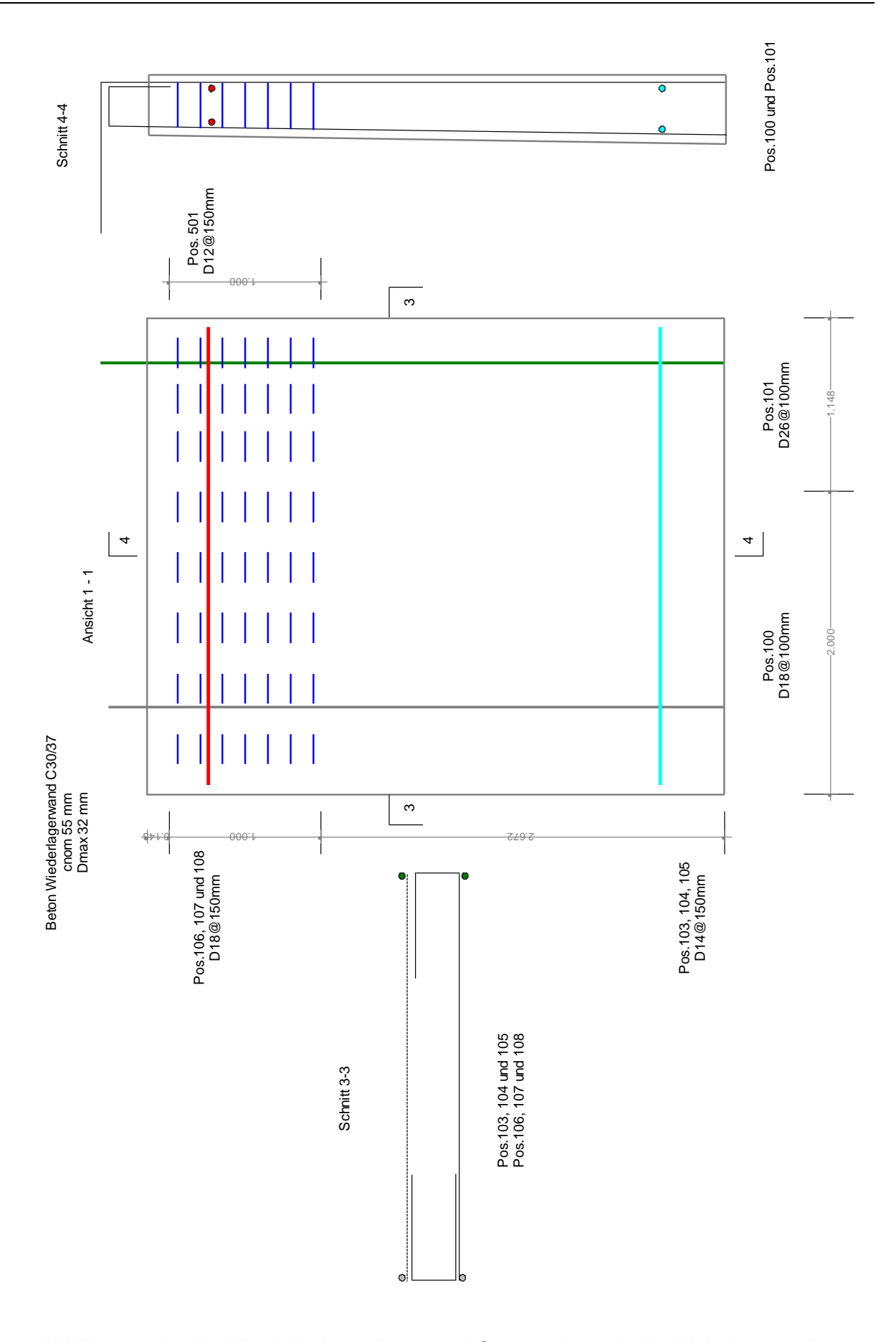


Abbildung 53 Ansicht Wandwiderlager, Längs- und Querbewehrung in den Widerlagerwänden

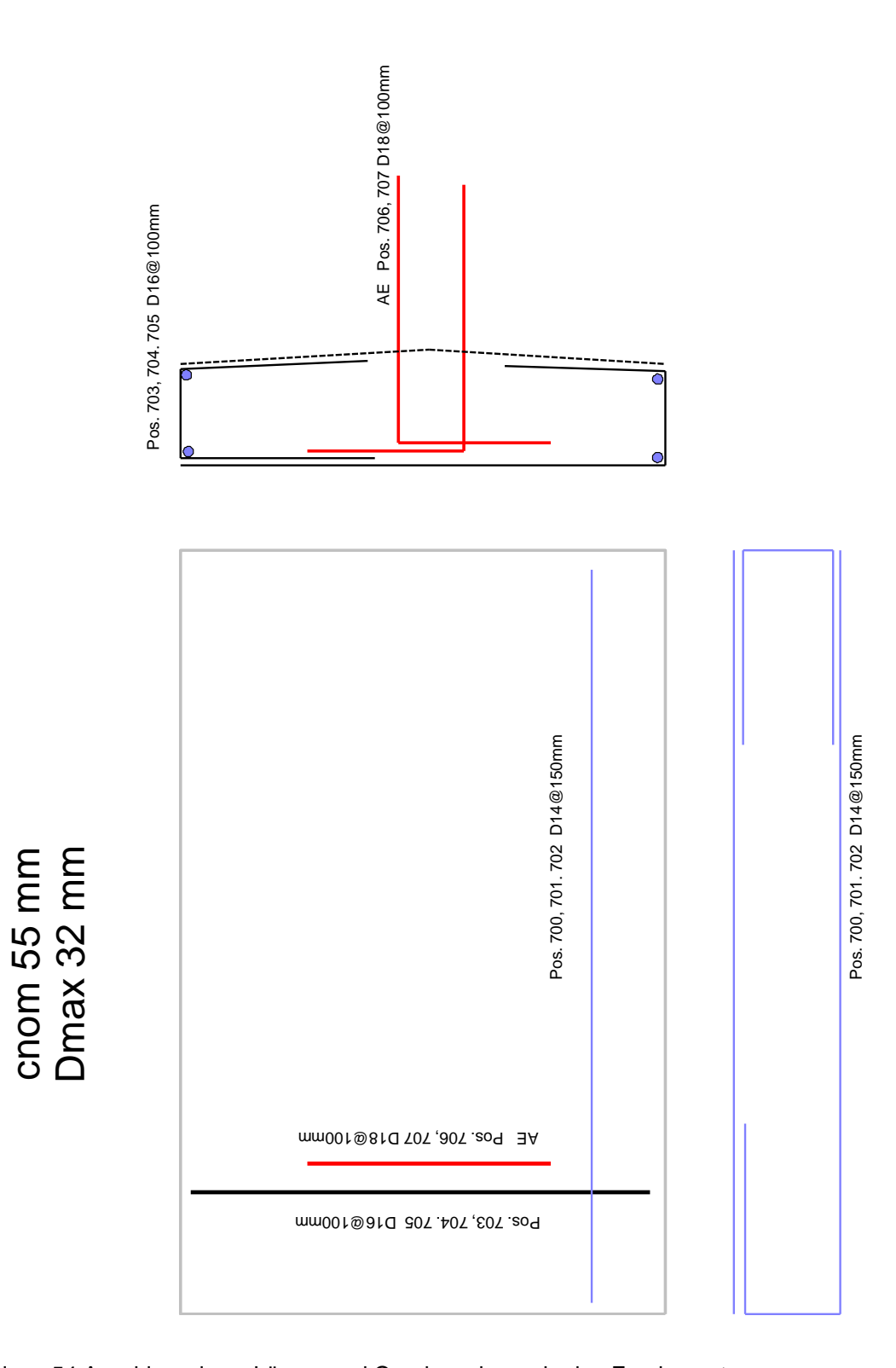


Abbildung 54 Anschlusseisen, Längs- und Querbewehrung in den Fundamenten

Beton Fundament C30/37

## 7 Geotechnische Nachweise

### 7.1 Aufschwimmen

Die Eigenlast der Konstruktion und die Erdauflast auf der Fundation sind gegenüber der Auftriebskraft gross. Aus diesem Grund ist das Aufschwimmen ausgeschlossen (siehe PB, Lastfall im GZT1).

## 7.2 Grundbruch

Der Grundbruchwiderstand für die Flachfundation der Brücke wurde anhand der im Programm AxisVM ermittelten Reaktionen (siehe Abbildung 55) der Flächenlager mit dem Programm DC (siehe Kap. 7.2.1) überprüft.

Es wurde festgestellt, dass der Boden nicht genügend Grundbruchwiderstand für diese Fundamentabmessungen und auf der Brücke wirkende Lasten aufweist, wenn der Wasserspiegel ca. bei OK Bachsohle liegt.

Aus diesem Grund sollen die Brückenfundamente an die angrenzende Stützmauerfundationen angeschlossen werden.

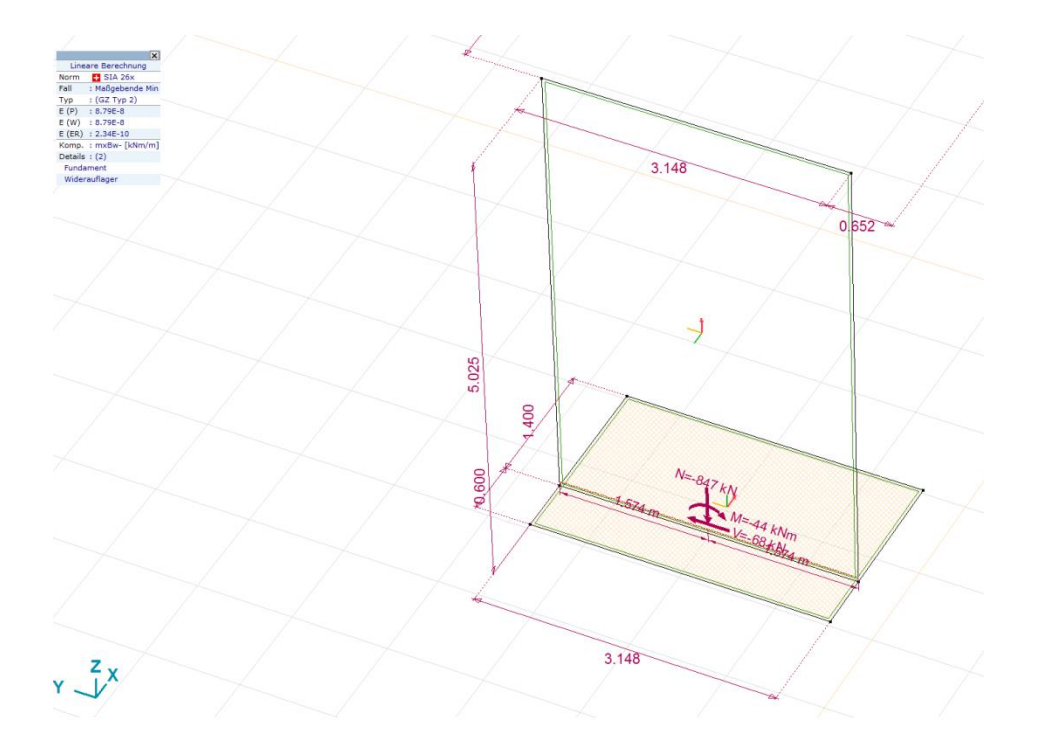
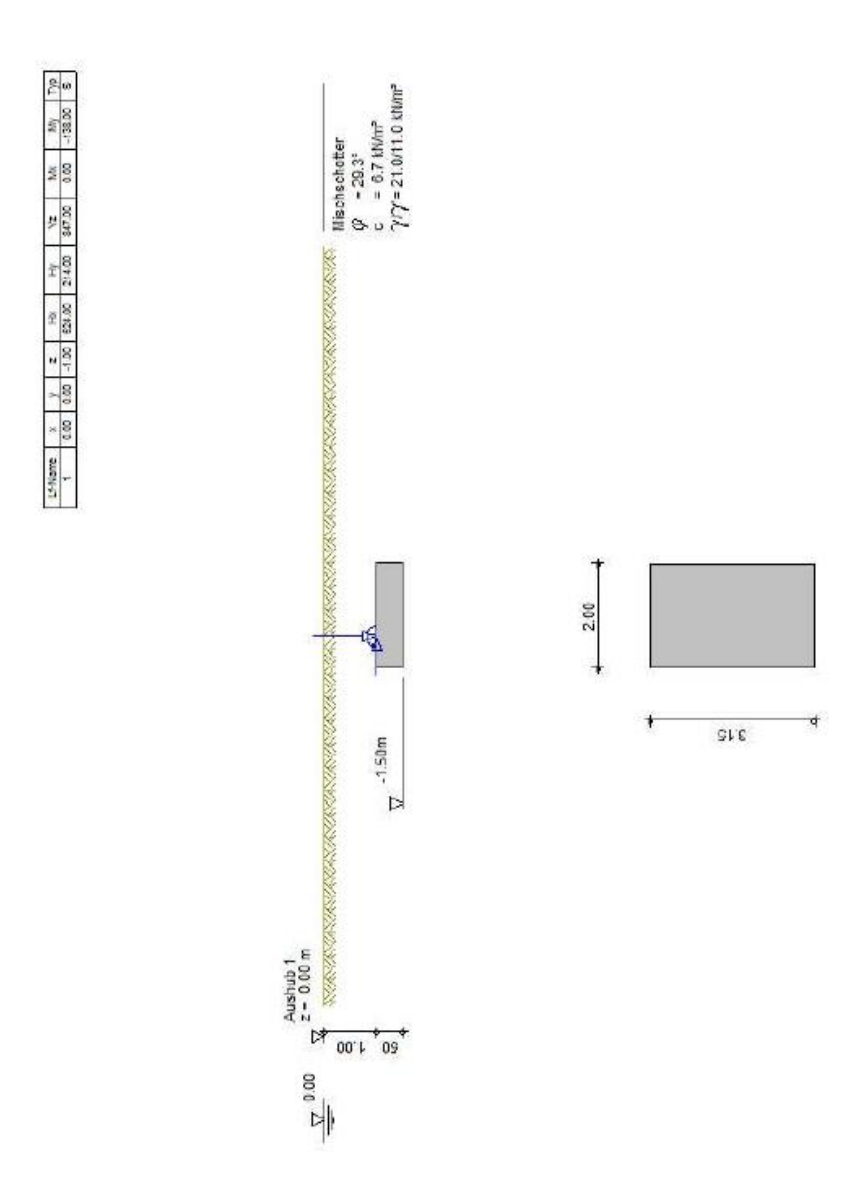


Abbildung 55 Berücksichtigte Schnittkräfte im Programm DC

# 7.2.1 Nachweis im Programm DC Fundament



# Fundament-Berechnung nach SIA 267

Erddruck nach SIA 261

Berechnung nach GZ Typ 2

Fundamenttyp: Einzelfundament

#### Fundamentabmessungen

Breite b : 2.00 m

Breite quer a : 3.15 m

Unterkante : -1.50 m

Höhe h : 0.50 m

Wichte γ : 25.00 kN/m³

#### Schichtdaten

	Mi	schschotte
		r
Schichthöhe Δh	[m]	100.00
Innere Reibung cal \( \phi' \)	[°]	29.30
Kohäsion c	[kN/m <sup>2</sup> ]	6.70
Wichte Boden y	$[kN/m^3]$	21.00
Wichte unter Auftrieb y'	$[kN/m^3]$	11.00
Steifemodul E <sub>s</sub>	$[MN/m^2]$	53.57
zul. Bodenpressung	[kN/m <sup>2</sup> ]	300.00

## Einzellasten

Lastfal1	Kat.	V	$H_x$	Hy	M <sub>x</sub>	My	X	у	Z	γ	γ	$\psi_0$	Ψ1	Ψ2
		[kN]	[kN]	[kN]	[kNm]	[kNm]	[m]	[m]	[m]	Grundbau	Berness.			
Eigengew.	G	78.7	0.0	0.0	0.0	0.0	0.40	0.00	-1.50	1.35	1.35			
1	G	847.0	524.0	214.0	0.0	-138.0	0.00	0.00	-1.00	1.00	1.00			

#### Teilsicherheitsbeiwerte für GZ Typ 1

I	γ-	G,inf	G,sup	Q	Ea
		0.90	1.10	1.50	1.35

Teilsicherheitsbeiwerte für GZ Typ 2

γ-	G	Q	R	R,h	γ	φ	c	cu	Ea	E0g	Ep	G,inf
	1.00	1.00	1.00	1.00	1.00	1.00	1.00	1.00	1.00	1.00	1.00	1.00

Teilsicherheitsbeiwert für ...

γ-G ständige Lasten

Q R veränderliche Lasten

Partialfaktor Grundbruch

R,h Gleitwiderstand

Wichte γ

Reibungsbeiwert tan φ

Kohäsion c

Kohäsion undräniert cu cu

Aktiver Erddruck Ea

E0g Ruhedruck

Passiver Erddruck Ep

G,inf günstige ständige Lasten

ungünstige ständige Lasten G,sup

ungünstige veränderliche Lasten Q

### Lastfall-Kombinationen für Grundbaunachweise:

Komb.Nr.	Eigengew.	1
1	1.00	1.00
2	1.00	1.00
3	1.35	1.00
4	1.35	1.00

#### Lastfall-Kombinationen für Bemessung:

Komb.Nr.	Eigengew.	1
1	1.00	1.00
2	1.00	1.00
3	1.35	1.00
4	1.35	1.00

#### Ergebnisse:

and Benning									
Komb.Nr.	Sohl-	max.Boden	Gleiten	Grundbr.	max.	$A_{s,x}$	$A_{s,y}$	$A_{s,x}$	$A_{s,y}$
	normalsp.	pressung	$T_d/R_d$	$N_d/R_d$	Setzung	unten	unten	oben	oben
	[kN/m <sup>2</sup> ]	[kN/m <sup>2</sup> ]			[mm]	[cm <sup>2</sup> ]	[cm <sup>2</sup> ]	[cm <sup>2</sup> ]	[cm <sup>2</sup> ]
1	211.9	287.8	0.94	1.46	6.6	15.3	18.9	0.0	0.0
2	211.9	287.8	0.94	1.46	6.6	15.3	18.9	0.0	0.0
3	211.9	287.8	0.90	1.37	6.6	15.3	18.9	0.0	0.0
4	211.9	287.8	0.90	1.37	6.6	15.3	18.9	0.0	0.0

Maßgebend:

		Komb.Nr.	Soh1-	max.Bode	Gleiten	Grundbr.	max.	$A_{s,x}$	$A_{s,y}$	$A_{s,x}$
١			normalsp.	n	$T_d/R_d$	$N_d/R_d$	Setzung	unten	unten	oben
١			[kN/m <sup>2</sup> ]	pressung			[mm]	[cm <sup>2</sup> ]	[cm <sup>2</sup> ]	[cm <sup>2</sup> ]
١				[kN/m <sup>2</sup> ]						
Ī	$A_{s,y}$		211.9	287.8	0.94	1.46	6.6	15.3	18.9	0.0
١	oben									
١	[cm <sup>2</sup> ]									
Ì	0.0									

#### Nachweis gegen Kippen unter Gesamtlasten im GZ Typ 1

Schnittgrößen in der Sohlfuge

Maßgebende Lastfall-Kombination: Nr. 4 Belastung aus Eigengewicht:  $V_d = 70.8 \text{ kN}$ 

Belastung aus Auftrieb:  $V_d = 28.3 \text{ kN}$ Belastung aus Erdauflast:  $V_d = 62.3 \text{ kN}$ ,  $M_{y,d} = 0.0 \text{ kNm}$ ,  $M_{x,d} = 0.0 \text{ kNm}$ 

Gesamtlast:

 $N_d = 1036.5 \text{ kN}, Q_{x,d} = 576.4 \text{ kN}, M_{y,d} = -236.3 \text{ kNm}, Q_{y,d} = 235.4 \text{ kN}, M_{x,d} = -117.7 \text{ kNm}$ 

Ausmitte:  $e_{x,d} = 0.23 \text{ m}, e_{y,d} = 0.11 \text{ m}$ 

Sohldruckkraft im Kem:  $(e_x/b)^2 + (e_y/a)^2 = 0.014 \le 0.111$  \*\*\* Nachweis erfüllt \*\*\*

#### Nachweis der max. Bodenpressung

Schnittgrößen in der Sohlfuge

Maßgebende Lastfall-Kombination: Nr. 4 Belastung aus Eigengewicht: V = 78.7 kN

Belastung aus Auftrieb: V = 31.5 kN

Belastung aus Erdauflast:  $V = 69.3 \text{ kN}, M_v = 0.0 \text{ kNm}, M_x = 0.0 \text{ kNm}$ 

Gesamtlast:

 $N = 963.5 \text{ kN}, Q_x = 524.0 \text{ kN}, M_y = -214.8 \text{ kNm}, Q_y = 214.0 \text{ kN}, M_x = -107.0 \text{ kNm}$ 

 $\sigma_1 = 223.0 \text{ kN/m}^2$ ,  $\sigma_2 = 18.3 \text{ kN/m}^2$ ,  $\sigma_3 = 287.8 \text{ kN/m}^2$ ,  $\sigma_4 = 83.1 \text{ kN/m}^2$ 

Ersatzbreiten: b' = 1.55 m, a' = 2.93 m

Maßgebende Lastfall-Kombination: Nr. 1

Sohlnormalspannung σ<sub>0r,k</sub> = 211.9 kN/m<sup>2</sup> < zulässige Bodenpressung = 300.0 kN/m<sup>2</sup> \*\*\* Nachweis erfüllt \*\*\*

#### Nachweis der Gleitsicherheit im GZ Typ 2

Maßgebende Lastfall-Kombination: Nr. 1, maßgebende Richtung: +x/+yCharakteristisch Bemessungswerte

Belastung T = 566.0 kN 566.0 kNErdwiderstand  $E_{ph}$  = 64.6 kN 64.6 kN

Erdwiderstand  $E_{ph}$  = 64.6 kN 64.6 kN Belastung V = 963.5 kN 963.5 kN Reibungswinkel Sohle δ = 29.30 ° 29.30 ° Gleitwiderstand  $R_t$  = 540.7 kN 540.7 kN

Nachweis:  $T_d/(R_{t,d} + E_{p,d})$  = 0.94 < 1.0 \*\*\* Nachweis erfüllt \*\*\*

#### Nachweis der Grundbruchsicherheit im GZ Typ 2

Maßgebende Lastfall-Kombination: Nr. 2, maßgebende Richtung: +x Grundwasserstand  $z_{GW}$ = 0.00 m

Belastung		Charakteristisch	Bemessungswerte
Auflast P	=	916.26 kN	916.26 kN
Eigengewicht G	=	78.70 kN	78.70 kN
Auftrieb A	=	-31.48 kN	-31.48 kN
Gesamtlast V	=	963.48 kN	963.48 kN
Horizontallast H <sub>x</sub>	=	524.00 kN	524.00 kN
Moment M <sub>v</sub>	=	-214.80 kNm	-214.80 kNm
Moment M <sub>x</sub>	=	-107.00 kNm	-107.00 kNm
Neigung der Resultierenden $tan(\delta_S) = H/V$	=	0.54	

#### Abmessungen

Einbindetiefe t = 1.50 m Ersatzbreite b' = 1.55 m Ersatzbreite quer a' = 2.93 m

Ergebnisse Breite der Grundbruchfigur Tiefe der Grundbruchfigur Maßgebende Bodenkennwerte:	y oberhalb Gri	indungssohle	= =	2.06 m 0.19 m 11.00 kN/m <sup>3</sup>	11.00 kN/m³
	y unterhalb Gr	ündungssohle	=	11.00 kN/m <sup>3</sup>	11.00 kN/m <sup>3</sup>
	Reibungswink	el φ	=	29.30 °	29.30 °
	Kohäsion c		=	6.70 kN/m <sup>2</sup>	6.70 kN/m <sup>2</sup>
Tragfähigkeitsbeiwerte N <sub>c</sub> , N <sub>q</sub> , N <sub>y</sub>	=	28.52	17.00	16.17	
Lastneigungsbeiwerte i <sub>c</sub> ,i <sub>q</sub> ,i <sub>γ</sub>	=	0.15	0.20	0.08	
Formbeiwerte s <sub>c</sub> ,s <sub>q</sub> ,s <sub>y</sub>	=	1.32	1.30	0.79	
Tiefenbeiwerted <sub>e</sub> ,d <sub>q</sub> ,d <sub>y</sub>	=	1.31	1.23	1.00	
Grundbruchspannung pd			=	144.76 kN/m <sup>2</sup>	
Bemessungswert Grundbruchwider	stand R <sub>d</sub>		=	658.23 kN	
Bemessungswert Beanspruchung N	d		=	963.48 kN	
Nachweis: $N_a/R_a = 1.46 > 1.0$			**	**Nachweis nicht er	füllt ***

## Setzungsberechnung im GZ Gebrauchstauglichkeit

bezogen auf die Bodenpressungen an den kennzeichnenden Punkten:

Maßgebende Lastfall-Kombination: Nr. 1

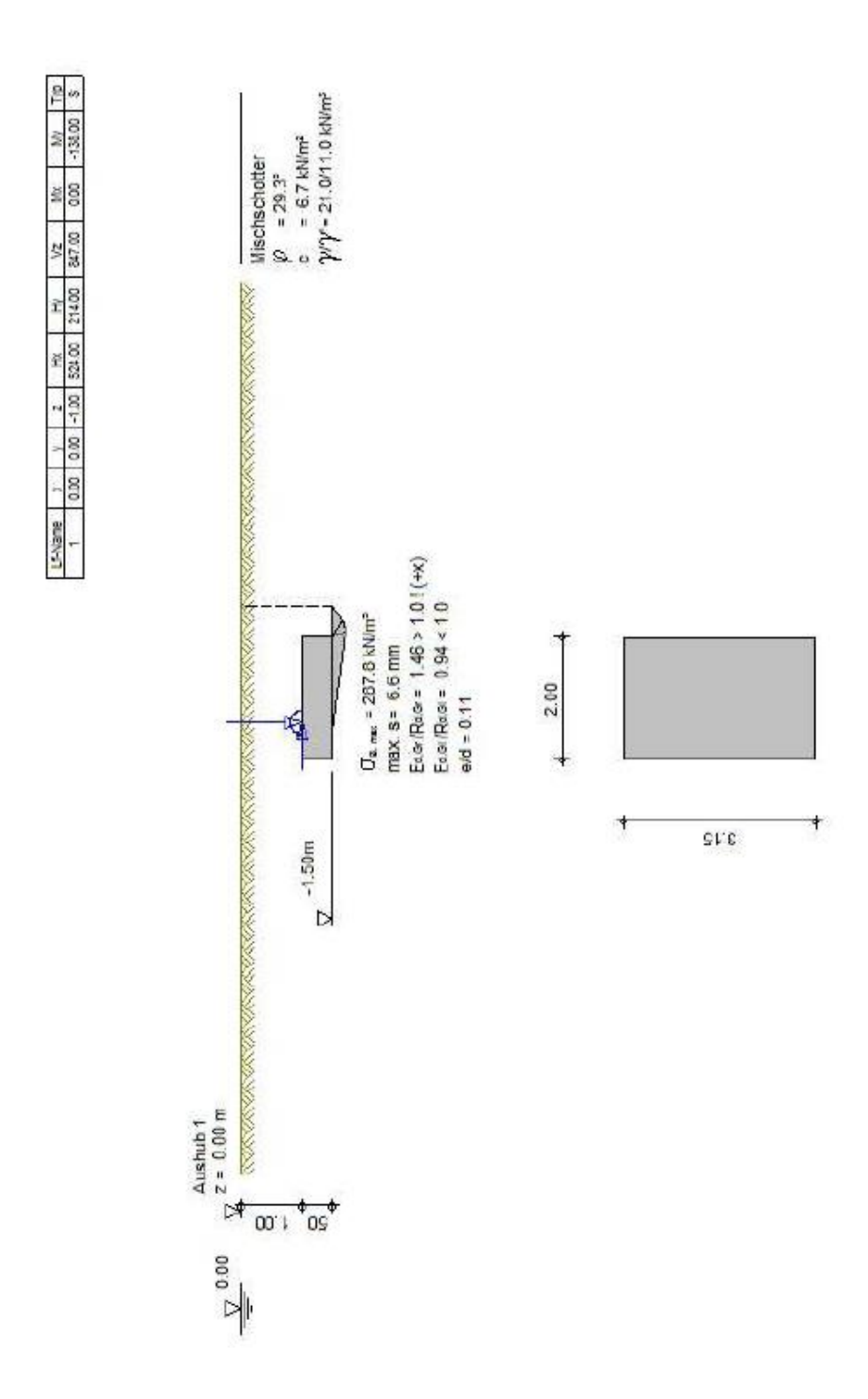
 Setzung am Eckpunkt (-b/2;-a/2):
 5.3 mm

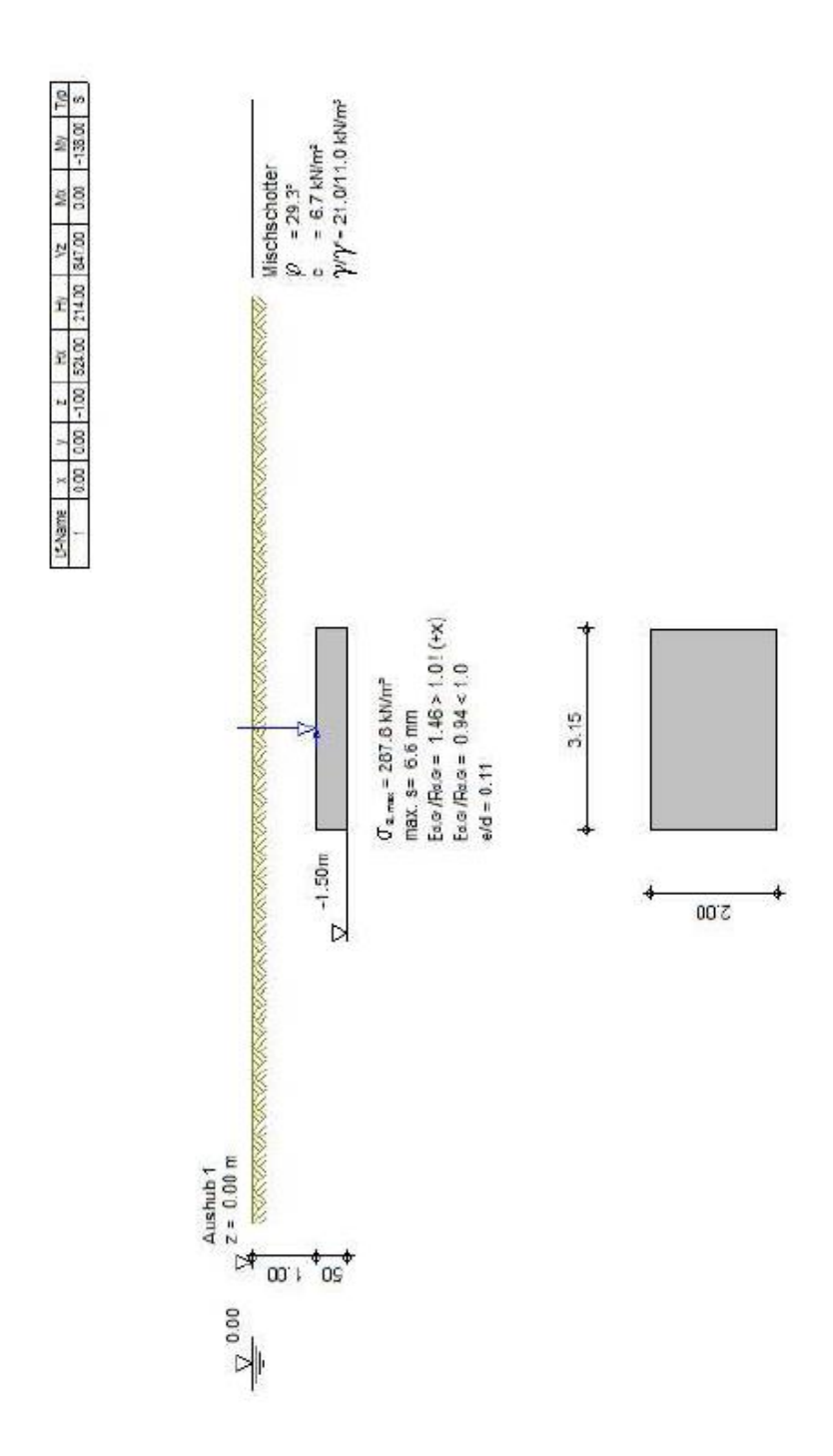
 Setzung am Eckpunkt (+b/2;-a/2):
 6.6 mm

 Setzung am Eckpunkt (-b/2;+a/2):
 2.2 mm

 Setzung am Eckpunkt (+b/2;+a/2):
 3.4 mm

Maximale Setzung: 6.6 mm Angesetzte Grenztiefe: 8.50 m





### Zusammenfassung

Folgende Nachweise sind nicht erfüllt: Die Grundbruchsicherheit ist nicht eingehalten.

# 8 Anhang

# 8.1 Anhang A – Ergänzung statische Berechnung – zusätzliche Auflast

ftragsnummer / Projekt: 9670	AEGERTER & BOSSHAR
195	Ingenieure und l
ekt: Fussgängerbrücke Hirschlang	Datum / Visum: Seite: 27.02.2019/ SAr
<u>Ausgangslage</u>	
- Kontrolle Statik Zusatzlast 7 cm GA bei gleichbleibender Brück	kenstärke 50 cm.
- Die Stärke der Widerlagerwände werden aus konstruktiven Gri	ünden von 40cm auf 50cm erhöht.
Geometrie	
Stärke Widerlagerwände neu = 50 cm	
Einwirkung	
Auflast	
Die 7 cm GA wird als Ergänzung zu vorhandenen Auflast (0.5 kl	N/m²) im Axis Modell berücksichtigt.
Auflast infolge 7 cm GA = 25 kN/m <sup>3</sup> x 0.07 m = 1.75 kN/m <sup>2</sup>	
AL= 0.5 kN/m <sup>2</sup> + 1.75 kN/m <sup>2</sup> = 2.25 kN/m <sup>2</sup>	
Tragsicherheit 52	4 kNm
Brückenplatte Brückenplatte	338 kNm
M <sub>Ed Feld</sub> = 329 kNm (Vorher 338 kNm) Die Wand (neu 50 cm) steifer als	
M <sub>Ed Rand</sub> = 524 kNm (Vorher 440 kNm)	S VOIIG
As <sub>eff</sub> = $(M_{Ed}/(0.9 \cdot f_{sd} \cdot d) = (524*10^8 \text{ N.m}/(0.9*435 \text{N/mm}^2*400 \text{mm})$	N = 2250 2/-
	i) - 5350mm /m
As <sub>vorh.</sub> = 5309 mm <sup>2</sup> i.O	
V <sub>Ed Rand</sub> = 294 kN/m (Vorher 258 kN/m →Ausnutzung = 0.86)	
Ausnutzung <sub>neu</sub> = ((294/258)*0.86) = 0.99 i.O	
Wand	
M <sub>Ed Feld</sub> = 111 kNm (Vorher 111 kNm)	
M <sub>Ed Rand-oben</sub> = 524 kNm /Lokal 622kNm (Vorher 436 kNm / Lokal	474 kNm)
As <sub>erf</sub> = 3350mm <sup>2</sup> /m	
Die vorhandene Bewehrungen in der Wand wird angepasst.	111 kNm
Neu D26@100 innen und aussen	
V <sub>Ed Rand</sub> = 305 kN/m (Vorher 282 kN/m)	
$V_{Rd_s} = a_{swr\_vorh} \cdot 0.9.d \cdot f_{sd} \cdot cot(\alpha) = ((113mm^2 * 4 schnittig)/150) \cdot O$	0.9 . 418mm . 435N/mm² . 1=493kN i.
ptsitz: Hauptsitz Hochstrasse 78 CH-4002 Basel Telefon 061 365 22 22 igniederlassung: Niederlassung: Bahnhofstrasse 35 CH-4313 Möhlin Telefon 061 851 37 75	Telefax 061 361 07 94 basel@aebo.ch www.aebo.ch Telefax 061 851 38 71 moehlin@aebo.ch www.aebo.ch

Auftragsnummer / Projekt. AEGERTER & BOSSHARDT 9670 Ingenieure und Planer Datum / Visum: Seite: Objekt 27.02.2019/ SAr Fussgängerbrücke Hirschlang **Fundament** M<sub>Ed Feld</sub> = 160 kNm → Ausnutzung<sub>neu</sub> = 0.35 (Fagus) (Vorher 137 kNm, Ausnutzung=0.31)  $V_{Ed} = 265 \text{ kN/m} \le V_{Rd} = 339 \text{ kN/m}$ i. 0 Geotechnische Nachweis Das Fundament im DC Programm als Streifenfundament berücksichtig wurde und die Widerlagerwände sind teilw. Eingespannt berücksichtigt wurde. Nachweis ist i.O Gebrauchtauglichkeit Begrenzung der Durchbiegung der Brückenplatte Die neue effektive elastische Durchbiegung beträgt Infolge häufige Lastfall ca. 7mm - Infolge Quasi ständige Lastfall ca. 5mm Die Durchbiegung infolge zusätzlicher Belastung (1.75 kN/m² mehr Auflast) ist nicht grösser als vorher. Grund: Die Stärke der Widerlagerwände ist von 40 cm auf 50 cm erhöht, dadurch ist die Stahlbetonrahmen steifer geworden. Somit ist der Gebruachtauglichkeitsnachweis erbracht.

Begrenzung der Rissbreite W<sub>nom=</sub> 0.5 mm Brückenplatte

- Quasi ständige Lastfall

 $M_{Ed\_quasi\_ständig\_Feld} = 173 \text{ kNm} \rightarrow \sigma_s = 73 \text{ N/mm}^2$   $\sigma_{adm} = 320 \text{ N/mm}^2$  i.O

 $M_{Ed\_quasi\_standig\_Rand} = 360 \text{ kNm} \rightarrow \sigma_s = 152 \text{ N/mm}^2$   $\sigma_{adm} = 320 \text{ N/mm}^2$  i.O

- Häufige Lastfall

 $M_{Ed\_häufig\_Feld} = 152 \text{ kNm} \rightarrow \sigma_s = 63 \text{ N/mm}^2$   $\sigma_{zul} = 435 - 80 = 355 \text{ N/mm}^2$  i.O

 $M_{Ed\_häufig\_Rand} = 340 \text{ kNm} \rightarrow \sigma_s = 142 \text{ N/mm}^2$   $\sigma_{zul} = 435 - 80 = 355 \text{ N/mm}^2$  i.O

Hauptsitz: Hauptsitz: Hochstrasse 78 CH-4002 Basel Telefon 061 365 22 22 Telefax 061 361 07 94 base@aebo.ch www.aebo.ch Zweigniederlassung: Bahnhofstrasse 36 CH-4313 Möhlin Telefon 061 851 37 75 Telefax 061 851 38 71 mochlin@aebo.ch www.aebo.ch